

**Dr. Ussal Z. ÇAPAN'IN**

**Anısına.**



*168629*

B E Y S E H İ R    G Ö L Ü ' N Ü N    K O M S U    H A V İ Z A  
A K İ M L A R I N A    O L A N    E T K İ L E R İ N İ N  
A R A S T İ R İ L M A S I

M e h m e t    E k m e k c i

Hacettepe Üniversitesi  
Fen Bilimleri Enstitüsü Yönetmeliğinin  
Hidrojeoloji Mühendisliği Anabilim Dalı için öngördüğü  
Y Ü K S E K    M Ö H E N D İ S L İ K    T E Z İ  
Olarak Hazırlanmıştır.

S u b a t - 1 9 8 7

Fen Bilimleri Enstitüsü Müdürlüğü'ne

İşbu çalışma, jürimiz tarafından, HİDROGEOLOJİ MÖHENDİSLİĞİ  
Anabilim Dalında YÜKSEK MÖHENDİSLİK TEZİ olarak kabul edilmistir.

Başkan : Doyuran

PROF.DR. VEDAT DOYURAN

Üye : Arikان

YARD. DOG. DR. ALPASLAN ARIKAN

Üye : Güney

DOG. DR. GÜLTEKİN GÜNEY

ONAY

Yukarıdaki imzaların, adı geçen öğretim üyelerine ait olduğunu  
onaylarım.

1 / 1987

Acar Işın

PROF. DR. ACAR IŞIN

Fen Bilimleri Enstitüsü Müdürü

## ÖZET

Son otuz yıldan bu yana, Beyşehir gölü, komşu havzalarda, özellikle Manavgat ve Köprüçay havzalarında meydana gelen akım fazlaşısı için bir kaynak olarak düşünülmüştür.

İnceleme alanı, Ülke ekonomisi açısından büyük bir öneme sahip büyük hidroteknik yapı ve projelerin bulunduğu Orta-Batı Toros bölgesinde yer almaktadır.

Beyşehir gölü ile komşu havza akımları arasındaki etkileşimin araştırılması amacı ile sayısal hidrometeorolojik verilerin istatistiksel analizleri yapılmıştır.

Beyşehir gölünden karstik kanal ve düdenler yolu ile kaçan su miktarının saptanması amacı ile su bütçesi hesaplamaları sağlıklı bir şekilde, 23 yıllık bir dönem için aylık bazda yapılmıştır.

Gölden ortalama olarak  $5 \text{ m/s}$  lik bir kaçak olduğu saptanmıştır. Ancak bu rakkam yağışlı ve kurak dönemin birlikte alındığı 23 yıllık bir dönemin ortalamasıdır. Öte yandan, yağışlı dönemlerde seviyenin yükselmesi ile kaçak miktarının  $28.7 \text{ m/s}$  ye varabildiği görülmüştür.

Seviye-kaçak miktarı ilişkisinden kaçakların ancak seviyenin 1123 m kotuna ulaştığı andan itibaren önemli boyutlara ulaştığı ortaya çıkarılmıştır.

## S U M M A R Y

Since the last three decades, the Beysehir lake has been thought to be the source of the excess flow occurring in the adjacent basins, particularly in Manavgat and Köprüçay basin.

Beysehir lake basin and the above mentioned adjacent basins take place in the Central-Western Taurus region where most of the hydrotechnical constructions and projects exist which are of great importance from the standpoint of the economic development of the country.

A statistical approach was employed to analize the numerical hydrometeorological data in investigating the interactions between the Beysehir lake and the flow in the adjacent basins.

Water budget computations with accurately determined and/or recorded components were made to have an idea on the amount of the leakage from the lake through the karstic channels and sinkholes. This was made on monthly basis for a period of 23 years.

The lake is leaking water of  $5 \text{ m}^3/\text{s}$ . This figure is the average of a period of 23 years including dry and wet periods together which gives a global idea about the leakage. However, it is found that leakage may reach up to  $28.7 \text{ m}^3/\text{s}$  as the level rises during the wet period.

The relation between the level and the leakage showed that leakage increases with the increasing level and it stops when the level drops down to 1123 m. altitude.

## TEŞEKKÜR

Bu çalışmanın yürütülmesi sırasında aşağıda anılan kişilere, çalışmalarla doğrudan ve dolaylı katkılarından dolayı içten teşekkürlerimi sunarım.

Tez danışmanı Yard. Doç. Dr. Alpaslan Arıkan, çalışmaları başından sonuna deðin yakından izlemiş, karşılaşılan pek çok sorunun aşılmasında titizlikle ve sabırla yol göstermiş, gerekli bilgisayar programlarının oluşturulması ve özellikle BEMER modelinin uyarlanmasında büyük katkılarda bulunmuştur.

Doç. Dr. Gültekin Günay çalışmam sırasında olduğu gibi her adımda bana her türlü desteği sağlamış, arazi çalışmalarımın gerçekleðmesi için bütün olanaklarını açmıştır. Özellikle uzun ve zorlu çabaları sonucu oluşturduğu yayın arşivi, laboratuar ve bilgisayar olanakları yanında çalışmalarımın hidrojeoloji paralelinde yorumlanması deneyimlerinden yararlanmamı sağlamıştır.

Arazi çalışmalarım sırasında bana yol gösteren Araþ. Gör. Serdar Bayarı (HÜ), su kimyası konusunda yardımlarını esirgemeyen Kimya Yük. Müh., Uzman Zühal Varol (HÜ), çalışmalarım sırasında her konuda destek olan Jeofizik Müh., Uzman Efdal Barlas (HÜ), Araþ. Gör. Can Denizman (HÜ), Araþ. Gör. Mustafa Deðirmenci (HÜ), Araþ. Gör. Cahit Yeþertener (HÜ), Araþ. Gör. Levent Tezcan (HÜ),

Jeoloji Müh. Kadri Nazlioğlu (MTA), Araş. Gör. Fikret Kacaroğlu (HÜ), Hidrojeoloji Mühendisi Oktay Konak ve Korkut Aşıkoğlu, Teknik Ressam Nazire Derit (HÜ), Dr. William Back, Prof. Dr. Vujica Yevjevich, A. Ivan Johnson (HÜ/UNDP (TUR/81/004) Projesi), Dr. John Gunn (Manchester Polytech.)

Ayrıca, çalışmalarım sırasında maddi ve manevi desteklerinden dolayı Ekmekçi ailesine ve tezin bu duruma gelmesinde önemli katkıları bulunan Sayın Neriman Muslu'ya teşekkürlerimi sunmayı bir borç biliyim.

Şubat 1987

Mehmet Ekmekçi

## İÇİNDEKİLER DİZİNİ

	Sayfa
OZET -----	i
SUMMARY -----	ii
TEŞEKKÜR -----	iii
ŞEKİLLER DİZİNİ -----	viii
ÇİZELGELER DİZİNİ-----	ix
EKLER DİZİNİ -----	xii
 1. GİRİŞ -----	 1
1.1. Amaç ve Kapsam -----	1
1.2. Çalışma ve Değerlendirme Yöntemleri -----	2
1.3. İnceleme Alanının Tanıtılması -----	3
1.4. Önceki Çalışmalar -----	5
2. BÖLGESEL JEOLOJİ -----	12
2.1. Ottokton Birimler -----	16
2.1.1. Paleozoyik -----	16
2.1.2. Mesozoyik -----	17
2.1.3. Senezoyik -----	18
2.1.4. Kuvaterner -----	19
2.2. Allokton Birimler -----	19
2.2.1. Antalya Napları -----	20
2.2.2. Beyşehir-Hoyran ve Hadım Napları -----	20
2.3. Yapısal Jeoloji -----	21

İÇİNDEKİLER DİZİNİ (devam ediyor)

	Sayfa
3. HIDROLOJİ -----	24
3.1. Yağış Verilerinin Analizi -----	26
3.1.1. Kayıtların Düzeltilmesi -----	26
3.1.1.a. Kayıtların Standart Baz Periyodu -----	28
3.1.1.b. Eksik Kayıtların Tamamlanması -----	30
3.1.1.c. Hatalı Verilerin Düzeltilmesi -----	31
3.1.2. Alansal Ortalama Yağış Yüksekliğinin Bulunması	32
3.1.3. Yağış Verilerinin İstatistiksel Analizi -----	34
3.1.3.a. Verilerin Olasılık Dağılımları -----	35
3.2. Akım Verilerinin Analizi -----	47
3.2.1. Akım Verilerinin İstatistiksel Analizi -----	48
3.3. Yağış-Akış ve Səviye Arasındaki İlişki -----	58
3.3.1. Basit Korelasyon-Zaman Farklı Korelasyon Analizleri -----	58
3.3.2. Çoklu Korelasyon Analizleri -----	60
3.3.3. Korelasyon Analizlerinin Yorumu -----	69
3.4. Beyşehir Gölü Su Bütçesinin Hesaplanması -----	70
3.4.1. Genel Su Bütçesi Eşitliği -----	70
3.4.1.a. Göl Alanına Düşen Yağış Miktarının Hesaplanması	
3.4.1.b. Yüzeyaltı Akışı ile Göle Giren Su Miktarı -----	71
3.4.1.c. Göl Alanından Oluşan Buharlaşmanın Hesaplanması	74
3.4.1.d. Regülatörden Bırakılan Su Miktarı -----	78
3.4.1.e. Gölün Depolama Hacmindeki Değişimin Hesaplanması	78
3.4.2. Bütçe Hesaplama Sonuçlarının Yorumu -----	79

## İÇİNDEKİLER DİZİNİ (devam ediyor)

	Sayfa
4. BÖLGESEL HİDROJEOLLOJİ -----	81
4.1. Hidrojeoloji Birimleri -----	82
4.1.1. Geçirimli Birimler -----	82
4.1.2. Geçirimsiz Birimler -----	83
4.2. Karst Yeraltısuyu İzleme Çalışmaları -----	84
4.3. Su Kimyası Çalışmaları -----	85
4.3.1. Diyagramsal Yorumlamalar -----	86
4.3.2. Doygunluk Yorumlamaları -----	88
5. SONUCLAR, TARTIŞMALAR VE ÖNERİLER -----	91
5.1. Sonuçlar -----	91
5.2. Tartışma -----	94
5.3. Öneriler -----	96
6. KAYNAKÇA -----	98

## SEKİLLER DİZİNİ

Şekil	Sayfa
-----	-----
1.1. İnceleme alanının bulduru haritası -----	4
2.1. Beyşehir gölü havzası ve yakın dolayının genel jeolojik haritası -----	13
2.2. Batı Toroslar alanında yapılmış litostratigrafik çalışmaların korelasyonu -----	14
2.3. Kırkkavak fayı ve ilişkili jeolojik yapı -----	23
3.1. İnceleme alanında bulunan yağış istasyonları ve kayıt uzunlukları -----	29
3.2. Ortalama yağış-kot grafiği -----	29
3.3. Beyşehir gölü üzerine düşen ortalama alansal yağışın bulunması için çizilen poligon haritası -----	72
3.4. Beyşehir gölü için hazırlanan Seviye-Alan-Hacim eğrisi -----	75
3.5. Beyşehir gölünden ortalama buharlaşmanın bulunması için hazırlanan poligon haritası -----	77

## ÇİZELGELER DİZİNİ

Çizelge -----	Sayfa -----
3.1. Hidrolojik analizleri yapılan yağış istasyonlarına ait genel bilgiler -----	27
3.2. Kayıtları uzatılan istasyonlara ait r katsayıları -----	31
3.3. Ana havzalar için hesaplanan ortalama yağış yüksekliği -34	
3.4. Sarkikaraağaç Yağış Gözlem istasyonunda gözlenen sıralı ortalama yıllık yağışların frekansları ve u değerleri -----	36
3.5. Belirli frekanslara karşılık gelen sınıf limitleri ----	38
3.6. Beklenen ve gözlenen değerlere bağlı olarak 2 hesaplanan X olasılıkları -----	39
3.7. İnceleme alanında yer alan yağış istasyonlarının olasılık dağılımları ve uygunluk testi -----	41
3.8. Hidrolojik analizleri yapılan Akım İstasyonlarına ait bilgiler -----	48
3.9. Soğuksu - Yeşildağ AGİ'na ait sıralanmış veriler ve frekansları -----	49
3.10. Belirli frekanslara karşılık gelen Q değerleri ---	51
3.11. Gözlenen ve beklenen değerlere bağlı olarak hesaplanan sınıf limitleri -----	52
3.12. Sıralanmış değerlerin doğru oluşturulan halleri -----	53
3.13. İnceleme alanındaki AGİ'na ait verilerin olasılık dağılım fonksiyonları ve uygunluk testi -----	54
3.14. Beyşehir gölü su seviyesi ile Köprüçay ve Manavgat Akımları arasındaki Korelasyon Katsayıları -----	59

CİZELGELER DİZİNİ (devam ediyor)

Cizelge

Sayfa

3.15. Beyşehir gölü su seviyesi ile Köprüçay ve Manavgat Yağış ve Akımları arasındaki çoklu korelasyon katsayıları -----	61
3.16. Normal yağış dikkate alındığında elde edilen r katsayıları -----	65
3.17. Birikimli yağışlar dikkate alındığında bulunan r katsayıları -----	65
3.18. Birikimli yağışların logaritmaları dikkate alındığında bulunan r katsayıları -----	66
3.19. Birikimli yağışların sabit bir sayı ile bölünerek analizlere sokulması durumunda r katsayıları -----	67
3.20. Regülatörün çalıştığı ve çalışmadığı dönemler için yapılan korelasyon analizi sonuçları -----	68
3.21. Göl seviyelerinin 1123 m kotundan düşük olduğu için seviye-yağış arasındaki ilişki -----	69
3.22. Beyşehir gölü havzasında yer alan yağış istasyonlarına ait ortalama yağış ve etki değerleri ----	73
3.23. Beyşehir gölü havzasında yer alan buharlaşma ölçüm istasyonlarının ortalama buharlaşma ve etki değerleri -----	76

## ÇİZELGELER DİZİNİ (devam ediyor)

<u>Çizelge</u>	<u>Sayfa</u>
-----	-----
4.1. Bölgedeki su numunelerindeki başlıca iyon iceriklerinin ortalamaları ve standart sapmaları -----	
4.2. Wateqb bilgisayar programı ile elde edilen mineral doğrulukları -----	89

## EKLER DİZİNİ

Ek	Sayfa
---	---
3.1. Yağış istasyonlarına ait çift eklenik eğriler -----	107
3.2. Yağış istasyonlarının olasılık dağılım fonksiyonu eğrileri -----	113
3.3. Akım Gözlem İstasyonlarına ait çift eklenik eğriler ---	120
3.4. Akım verilerinin olasılık dağılım fonksiyonu eğrileri -	122
3.5. Gözlenen hacim değerleri -----	124
3.6. Hesaplanan göle giren net su miktarı -----	
3.7. Hesaplanan hacim değerleri -----	125
3.8. Hesaplanan hacim - Gözlenen hacim farkı -----	126
3.9. Bölden meydana gelen kaçak suya beslenimin m /sn cinsinden dökümü -----	126
3.10. Beyşehir gölü aylık bütçe hesaplama sonuçlarının grafiksel gösterimi -----	127
4.1. Beyşehir Gölü ve yakın dolayının hidrogeoloji haritası -	137
4.2. İnceleme alanından alınan su örneklerinin analiz sonuçlarının Piper diyagramlarında gösterimi -----	137
4.3. Schoeller (yarı logaritmik) diyagramları -----	139
4.4. Beyşehir Gölü ve yakın dolayının su kimyası haritası -----	

## 1. GİRİŞ

### 1.1. Amaç ve Kapsam

Büyük hidrojeoteknik projelerin yer aldığı Batı Toroslar bölgesinde gözlenen karbonatlı kayaçların yüksek derecede karstlaşmış olması nedeniyle bölgesel karst yeraltısu sisteminin açıklanmasında ortaya çıkan belirsizlikler 1960'lı yillardan bu yana inceleme konusu olmuştur.

Söz konusu bölgesel karst yeraltısu sistemi Manavgat nehri havzası, Akseki havzası, Köprüçay havzası ve Beyşehir-Suyla gölü havzasını kapsamaktadır.

Beşinci Beş Yıllık Kalkınma Planında (1985-1989), Konya-Çumra ovasının Beyşehir gölünden alınacak daha fazla su ile sulanması öngörmüş ve bu doğrultuda fizibilite ve master plan çalışmaları başlatılmıştır.

Bu çalışmanın amacı Türkiye'nin üçüncü büyük gölü olan Beyşehir gölü ile komşu havza akımları arasındaki hidrojeolojik ilişkinin gözlemsel/sayısal hidrometrik verilerin, bölgenin jeolojisi ve hidrojeolojisine paralel olarak analiz edilerek araştırılmasını kapsamaktadır. Bu hidrojeolojik ilişkinin varlığı, Beyşehir Gölüne Konya-Çumra ovasının sulanması için bir rezervuar olarak ele alınması konusunda temel veri olacaktır.

Bölgesel karst sisteminin girdi ve çıktılarını temsil eden sayısal verilerin matematiksel diziler olarak ele alınmışlardır. Bu dizilerin matematiksel-istatistiksel niteliklerinden yola çıkılarak sistemin, girdileri (yağış) çıktılarına (akım) nasıl dönüştürdüğünü aydınlatmak amacıyla klasik hidroloji yöntemleri yanında özellikle karst hidrojeolojisinin öngördüğü çalışma yöntemleri (Bkz. Günay, 1981) göz önüne alınarak sonuca gidilmeye çalışılmıştır.

## 1.2. Çalışma ve Değerlendirme Yöntemleri

İnceleme alanında varolan karst yeraltısu sisteminin yapısının aydınlatılması amacı ile yapılan çalışmalar saha, laboratuvar ve büro çalışmaları şeklinde yürütülmüştür.

Çalışma alanında bulunan 47 su noktasından toplanan örneklerin laboratuvarlarda kimyasal analizleri yapılmıştır. Analiz sonuçları, hidrojeokimyasal köken değerlendirmelerinde kullanılmıştır.

Hidroloji amaçlı analizlere konu olan verilerden yağış, akış ve buharlaşma değerleri Devlet Su İşleri Genel Müdürlüğü (DSİ), Devlet Meteoroloji Genel Müdürlüğü (DMİ) ve Elektrik İşleri Etüd İdaresi Genel Müdürlüğü (EİEİ) kayıtlarından elde edilmiştir.

### 1.3. İnceleme Alanının Tanıtılması

Çalışma alanı, Türkiye'nin Akdeniz bölgesinde yer almaktadır. Beyşehir gölü, Suyla gölü havzaları, Manavgat nehri havzası ve Aksesi kapalı havzasını kapsayan çalışma alanı 31 - 32 boylamları ile 36 - 38 enlemleri arasında yaklaşık toplam 12000 km<sup>2</sup> lik bir alan kapsar. Kuzeyinde Akşehir gölü havzası, güneyinde Akdeniz, doğusunda Konya kapalı havzası ve batısında Aksu havzası ile sınırlanmıştır (Şekil 1.1.).

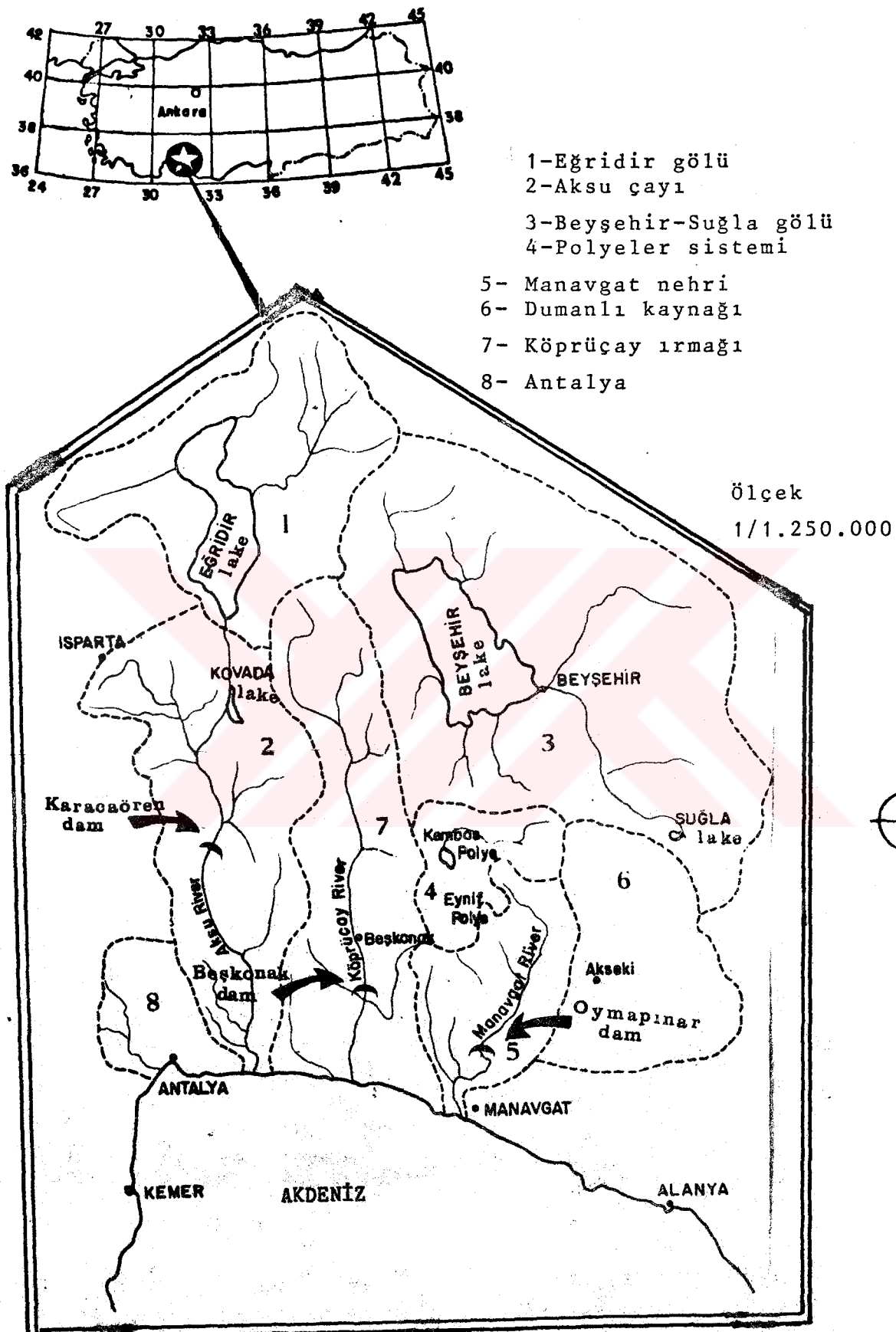
İnceleme alanının yerüstü ve yeraltı sularını drenaj eden Manavgat ve Köprüçay ırımkaları ile Beyşehir ve Suyla gölleri yöresinin önemli su kaynaklarıdır.

Türkiye'nin olduğu kadar dünyada sayılı karst alanlarından biri olan bölge, Oymapınar barajı göl alanı içinde kalan ve tek gözeden boşalan dünyanın en büyük karst yeraltınehri Dumanlı (Manavgat nehri) ile Olukköprü kaynaklarına da (Köprüçay ırmağı), sahip bulunmaktadır.

İnceleme alanında nüfus Manavgat ve Beyşehir ilçeleri dışında yoğun değildir.

Batı Toros kuşağında yer alan inceleme alanı çok sarp ve engebelidir. bir yapıya sahip olduğundan yerlesme ve tarım çalışmalarına pek elverişli değildir.

İnceleme alanı, ekonomik açıdan gelişmiş bir bölge değildir. Tarım alanlarının çok sınırlı oluşu hayvancılığın önem



Şekil 1.1. İnceleme alanının bulduru haritası

kazanmasına neden olmuştur.

Sulama ve enerji sorunlarının çözümü ve poliyelerin drenajı ile sulamanın gerçekleşmesinden sonra, iklimsel özellikleri açısından tarıma çok elverişli olan bu alandaki ekonomik gelişme hızlanacak ve nüfus yoğunluğu da buna paralel olarak artacaktır. Bölgede, tipik Akdeniz iklini hüküm sürmektedir.

#### 1.4. Önceki Çalışmalar

Çalışma alanını kapsayan Orta-Batı Toroslar bölgesinde gerek ekonomik kalkınma açısından büyük önem taşıyan enerji sorununun çözümüne yönelik mevcut su kaynakları potansiyelinin değerlendirilmesi, gerekse Ülkemizde ve dünyada doğası son otuz yılda tanınmaya başlayan "karst" algusunun bu bölgede oldukça yoğun ve büyük ölçeklerde bulunması, bölgenin değişik kişi ve kuruluşlar tarafından değişik açılardan incelenmesine neden olmuştur.

Güncelliğini halen sürdürmekte olan çalışmalar tarih sırasına göre aşağıda özetlenmiştir.

Lahn (1945) Sultandağlarının güneyinde bulunan Toros göllerinin jeomorfolojisini incelemiş, yöredeki tektonik hareketler ve kısmen de karstik boşalıma sahip göllerin bu özelliklerini üzerinde durmuştur.

Aksøy (1966) Beyşehir gölünün içindeki fayların su kaçagi açısından bir sorun oluşturmadıklarını, uzun zaman içinde göle sürüklenen aluviyal malzemelerle örtülümiş olacakları ve aktif olmadıklarını savunmuştur. Buna karşın, araştıracı, su kaçakları-

nin daha çok gölün batı kısmındaki kuzey-güney doğrultusundaki faylar ile karstik kireçtaşı birimleri ve göl içindeki adalardan olasılıkla ofiyolitik taban üzerinden güneye doğru olduğunu ileri sürmüştür.

Aygen (1967) Dymapınar barajı rezervuar alanına gelecek su miktarının hesaplanması, yönelik sorunlardan yola çıkarak yaptığı çalışmalar sonucunda Beyşehir ve Suyla gölleri ile Akdeniz arasında kalan karst alanında karst hidrojeolojisi konusunda önemli bulgular edinmiştir. Daha çok izleme teknikleri ile mağarabilimi rehber olarak kullanan araştırcı, bulgularını bölgedeki karst yollarını da içeren bir haritaya haslamıştır.

Eroskay (1968) Köprüçay-Beskonak dolayında yaptığı jeolojik-stratigrafik inceleme, bölgesel jeolojinin daha iyi anlaşılmasını sağlamıştır. Çalışma alanının bu kesimi için ayrıntılı bir stratigrafik istif çeken araştırcı, bölgenin karst sisteminde önemli bir yer tutan karstik konglomeranın karst hidrojeolojisini çalışmıştır.

Altuğ (1969) Manavgat-Dymapınar baraj yerindeki tektonik yapı ile karstlaşma arasındaki ilişkileri incelemiş ve karstlaşmanın kırık zonlarına paralel gelişliğini ortaya koymuştur.

Martin (1969) bölgede yaptığı yapısal jeoloji çalışmaları sonucunda Beyşehir gölünün güneyinde Torosların güneybatı yönünde hafif bir dışbükeylikle güney-güneydoğuya doğru yükselmesini ve doğrultunun ekaylar halinde meydana gelen uzunlamasına bir parçalanmadan dolayı bu şekilde olduğunu ileri sürmüştür.

Özsayeller (1969) Beyşehir gölü ile Manavgat ve Köprüçay ırmakları arasındaki olası hidrojeolojik ilişkiye boyalı deneyleri ve hidroloji verilerinin değerlendirilmesi çalışmalarıyla saptamaya çalışmıştır.

Köymen (1970) Beyşehir gölü hidrolojisini incelemiştir ve Beyşehir gölü ile Manavgat havzası arasındaki ilişkiye empirik denklemler türeterek açıklamaya çalışmıştır.

Cultu ve Altinbilek (1971) Manavgat ırmağı beslenme karakteristikleri ile ilgili olarak yaptıkları istatistiksel analizler sonucunda Manavgat havzasının Akseki, Gembos, Eynif, Cobankara ve Suğla gibi komşu havzalardan beslendiğini ortaya koymuslardır.

Poisson ve Poignont (1974) bölgedeki Miyosen transgresyonunu incelemiştir ve litolojik üyelerine yas vermişlerdir.

Atalay (1975) Sultandağları jeomorfolojisindeki tektonik yapılarından giderek bölgesel yapıyı oluşturan epiorogenik ve tektonik olayları doğuran kuvvetleri tanımlamaya çalışmıştır.

Dumont ve Kerey (1975 a, b) Batı Toroslar ile Köprüçay havzası arasındaki sınırı kuzey-güney doğrultulu Kırkkavak fayı ile beraberleşmeler ve fayın niteliği yanında bölgedeki Miyosen oluşumlarını da incelemiştir.

Dumont (1976 a, b) Karacahisar antiklinalinin niteliğine, oluşumuna ve çevredeki litoloji ile ilişkisine ilişkin çalışmalar yapmıştır.

Dumont ve Monod (1976) Eğridir-Beyşehir gölleri arasında bulunan

Dipoyraz dağı masifinin güneyinde Torosların otokton karbonatlı serisi ile daha kuzeyde bulunan Anamas dağı kireçtaşı masifi arasında bir köprü görevi gördüğünü savunmuşlardır.

Güldalı (1976) Akseki havzasını bir karst polyesi olarak ele alıp havzanın gelişimi ile tektoniği ve karstlaşma arasındaki ilişkiyi tanımlamaya çalışmıştır.

Günay vd., (1976) Aşağı Eynif polyesindeki Beyçayırlı düdenlerine boyalı enjeksiyonu yaparak geniş bir alanda yeraltı suyu izleme çalışmalarıyla bölgede iki ayrı karst sisteminin varlığını kesinleştirmiştir.

Özgül (1976) Torosların Kambriyen-Tersiyer aralığında çökelmiş kaya birimlerini kapsadığını bulgulamıştır. Toros kuşağında birbirinden farklı havza koşullarını yansitan 'birlikler'in yer aldığı ileri süren araştırcı, ayrıntılı çalışmasında birliklerin stratigrafi ve metamorfizma özelliklerinin, içerdikleri kaya birimleri ve günümüzdeki konumları ile birbirinden ayrılabilirliklerini savunmuştur.

Karanjac ve Günay (1977) göller bölgesi ile Akdeniz arasında yer alan karst alanının hidrolojisini ve hidrojeolojisini çalışmış ve Manavgat Irmağı üzerinde boyalı seyretme yöntemi ile debi ölçümleri yapmışlardır.

Monod (1977) Miyosen havzasının stratigrafisini ve hangi birimlerden oluştuğunu incelemiştir.

Güldalı (1978) bölgedeki karst yüzey şekillerinin boksit o-

luşumları açısından önemini araştırmış ve çalışma alanındaki boksit yataklarının jeokimyasal incelemesini yapmıştır.

Özış ve Keloğlu (1979) Manavgat akımlarının stokastik analizleri ile ilgili çalışmalar yapmış ve bu çalışmaları sonucunda Beyşehir gölü seviyeleri ile Homa akımları arasında bir benzeşim modeli oluşturmayı amaçlamışlardır.

Günay ve Sipahi (1979) Eğridir-Beyşehir gölleri ile Akdeniz arasındaki alanda karst hidrojeolojisi çalışmaları yapmışlar ve bölgesel karst yeraltısu sisteminin çözülmesine katkıda bulunmuşlardır.

Ünal (1980) Beyşehir gölü ile Manavgat ırmağı akımları arasındaki ilişki üzerine yapılmış çalışmaları irdeledikten sonra Beyşehir ve Manavgat havzaları arasında bulunan karmaşık karst yapısını açıklamaya çalışmıştır.

Gürer vd., (1980) bölgenin hidrometeorolojik girdilerinin分析ini yaparak karst hidrolojisi çalışmalarına önemli katkıda bulunmuşlardır.

Arikan ve Gürer (1980) Dymapınar barajına gelmesi beklenen akımlar ile komşu alt havzaların hidrojeolojik karakteristikleri arasındaki ilişkiyi ortaya koymuslardır.

Koçyiğit (1981) Toros karbonat platformunun evriminde karstlaşmanın yayılımı ve özellikle Isparta büklümündeki evrimini şematik olarak göstermiştir.

Güldalı (1981) Suğla ovasındaki sorunlar üzerinde durmuş, ovanın

kimi yıllarda tamamen göl haline gelmesinin nedenlerini, karst ile olan ilişkilerini, gelişimini ve çevresindeki kaynaklar ile düdenleri araştırmıştır.

Günay (1981) Manavgat havzası ve dolasının karst hidrojeolojisini konu alan bu kapsamlı çalışmasında bölgenin karstik yapısını ayrıntılı bir şekilde incelemiş ve yeraltısuyu sisteminin çalışma mekanizmasını açıklamıştır.

Yurtsever (1981) bölgede bulunan belirli su noktalarındaki tritium içeriğinden Dumanlı ve Manavgat ırmağı boyunca boşalan kaynak sularının bağıl yaşlarını hesaplamış ve buradan yola çıkarak su noktaları arasındaki ilişkileri ve karst yeraltı rezervuarının büyüklüğü konusunda önemli bilgiler elde etmiştir.

Poisson vd., (1983) Antalya naplarının yapısı ve yerleşim yaşı konusunda çalışmalar yapmışlardır.

Arikan ve Ekmekçi (1985) Manavgat ırmağı havzası yağış-akış ilişkilerini çoklu korelasyon-regresyon teknikleriyle analiz etmişler ve buradan elde ettikleri bulgularla üç aşamalı deterministik bir model oluşturmuşlardır.

Benzeden vd. (1985) zaman farklı korelasyon teknigini kullanarak Beyşehir gölünden meydana gelen kaçakların önemsiz olduğunu saptamışlardır.

Günay (1985) Manavgat havzasının karst yeraltısuyu sisteminin yapısı üzerinde ek bilgiler vermiştir.

Yurtsever ve Payne (1985) suların doğal trityum içeriklerini değerlendirerek Manavgat havzası için yeraltı suyu geçiş (seyahat) zamanını sayısal olarak değerlendiren "multi-kompartmantal bir model oluşturmuşlardır.

## 2. BÖLGESEL JEOLOJİ

Toros orogenik kuşağının Orta Toros olarak anılan bölgesinde yer alan inceleme alanının büyük bir kısmını Jura-Kretase ve Tersiyer yaşlı birimler kaplamaktadır. Bunun yanında Paleozoyik ve Triyas yaşlı birimler de nisbeten dar bir alanda görülmektedir (Şekil 2.1).

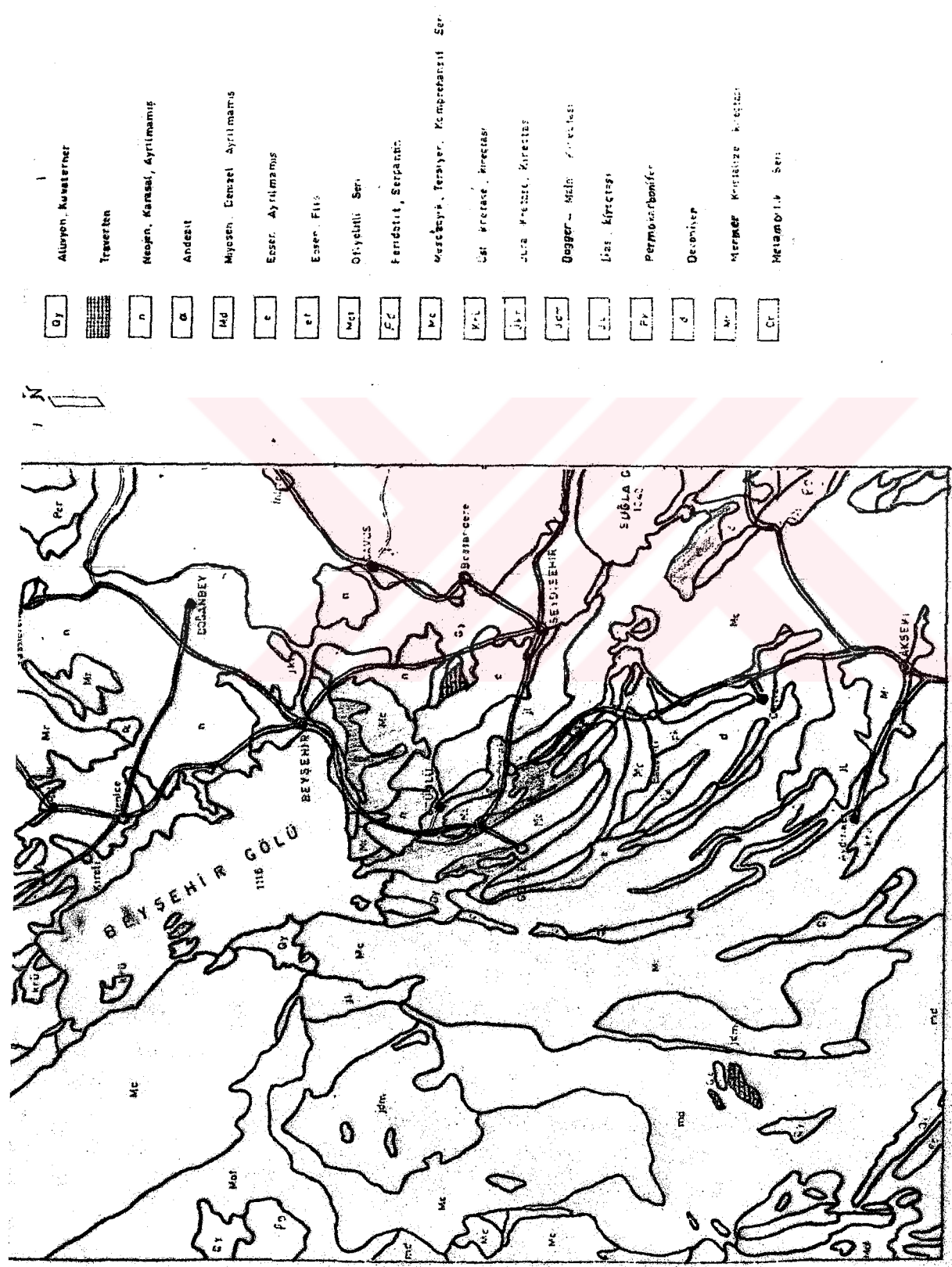
Bölgemizin jeolojik açıdan olduğu kadar Ülke ekonomisi açısından da önem taşıması, birçok araştırmacının çalışmalarını alanda yoğunlaştırmışına neden olmuştur. Batı Toroslar alanının stratigrafi korelasyonu çizelgesinde (Şekil 2.2), bu alanda çalışmalar yapan araştırmacıların bulguları birbirleriyle denetirilerek özetlenmiştir.

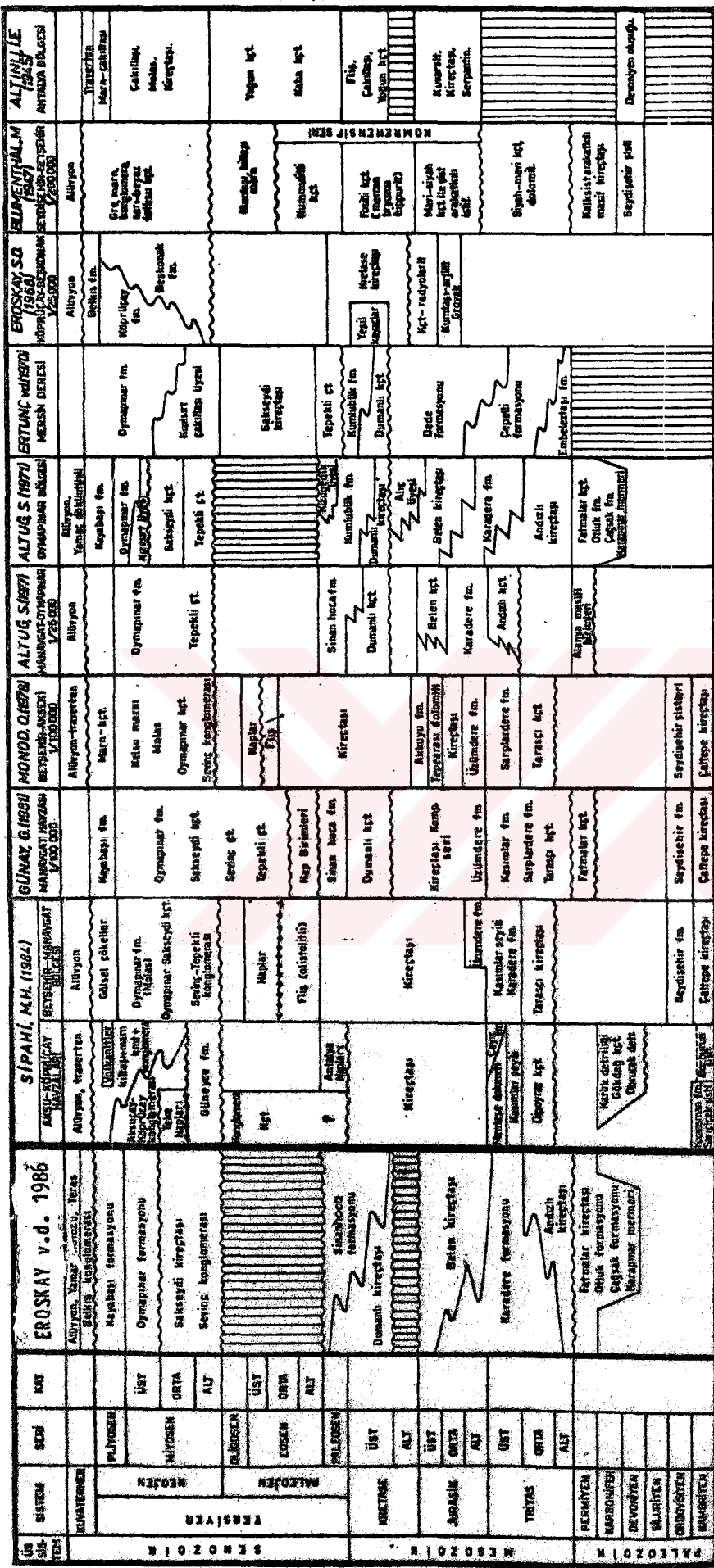
DSİ-UNDP (TUR/77/015) projesi kapsamında inceleme alanını da kapsayan yaklaşık 16000 km<sup>2</sup> lik bir alanı içine alanın karst hidrojeolojisi çalışmasını Proje Koordinatörü Dr. Gültekin Günay başkanlığında bir grup yapmış ve bu çalışmalar sonunda bir sonuc raporu ile 1/100.000 Ölçekli 6 paftadan oluşan hidrojeoloji haritası hazırlanmıştır. Bu harita ile Günay (1981) de verilen genelleştirilmiş stratigrafik kesit bu çalışmada esas alınmıştır.

İnceleme alanında yer alan stratigrafi birimleri litolojik ve yapısal özelliklerine göre "otokton" ve "allokton" olmak üzere iki kısımda incelenmiştir.

Çalışma alanı Toros kuşağı içerisinde yer almaktadır. Torosları başlıca iç ve dış kuşak diye iki kuşağa ayıran, dış kuşağın

Şekil 2.1. Beyşehir gölü havzası ve yakın dolayının genel jeoloji haritası. (O.S.I. 1984'den)





Şekil 2.2. Batı Toroslar alanında yapılmış litostratigrafik çalışmaların korelasyonu (EROSKAY v.d., 1986)

güneyden kuzeye itilmiş olduğunu ve iç kuşağa göre allokton olabileceğini savunan Demirtaşlı vd., (1976) Toros kuşağını stratigrafik ve tektonik evrim açısından denestirilebilen alt bölgelere ayırmışlardır. Bu ayırma, birimlerin Prekambriyen'den Senozoyik'e kadar ayırtlanmasını sağlamıştır.

Beyşehir ve Suyla gölleri ile Akdeniz arasında kalan ve Batı Toroslar kesiminde yer alan birimlerle Orta Toroslarda yer alan birimler stratigrafik açıdan oldukça benzer oldukları halde batıda yer alan ve Teke Toroslari olarak bilinen kesimin büyük ölçüde post-tektonik birimlerle örtülü olması karakteristikdir (Günay, 1981).

İnceleme alanı ve dolayını kapsayan bölgede Kambriyen-Tersiyer aralığında çökelmanın ve birbirlerinden farklı havza koşullarını yansıtın tektonik birlikler stratigrafik ve petrografik özellikleri ile içerdikleri kaya birimleri ve yapısal konumlarıyla birbirlerinden ayrılırlar. Bu tektonik birlikler uzun mesafelerde yanal devamlılık göstererek birbirleri üzerinde allokton örtüler oluşturmaktadırlar (Özgül vd., 1976).

Özgül (1983) tarafından ayrıtlanan birliklerden, inceleme alanı ve dolayında yer alan Geyikdağı bittiği şeftürü karbonat ve kırıntılı kayalardan, Antalya bittiği daha çok derin deniz çökelleri, ofiyolit ve bazik denizaltı volkanitlerinden oluşmaktadır. Olistostrom ile karbonat ve kırıntılı kayalardan oluşan Aladağ bittiği, Geyikdağı bittiği üzerine allokton olarak gelmiştir. Yine allokton konumlu Bozkır bittiği ise denizaltı volkanit-

leri, pelajik kireçtaşı, radyolarit ve ofiyolitlerden oluşmaktadır.

Genellikle aynı yaşı veren karbonat kayaçları tektonizma nedeniyle kimi yerde otokton olarak görülürken kimi yerde de allokton olabilmektedir (Günay, 1981). Bu durum Batı-Orta Toroslar için geçerli "göreli otokton" ve "göreli allokton" terimlerinin türmesine neden olmuştur.

İnceleme alanında bulunan otokton ve allokton birimler yaş sırasına göre aşağıda kısaca tanıtılmıştır.

## 2.1. Otokton Birimler

### 2.1.1. Paleozoyik

İnceleme alanında Paleozoyik'a ait birimler Beyşehir gölü güneyinde Çaltepe'de Kambriyen yaşılı Çaltepe formasyonu olarak bulunur. Seydişehir'in kuzeyinde Hadım dolayında ve çalışma alanının kuzeyinde yer alan Sultandağın'da en iyi örneklerini veren birim yaklaşık 200 m lik bir kalınlığa sahiptir. Çaltepe formasyonu üzerine yaklaşık 1000 m kalınlıkta Üst Kambriyen-Ordovisiyen yaşılı Seydişehir sistleri gelir. Birim en iyi örneklerini Seydişehir-Beyşehir arasında verir.

Köprüçay'ın kuzeyinde, Karacahisar antiklinalinde bulunan Paleozoyik, stratigrafik açıdan farklılık gösteren iki tür sist biriminin oluşmustur. Bu birimlerden Sarıcıçek sisti Karacahisar antik-

linalinin merkezinde ve doğusunda yüzeylenir ve kalınlığı 2000 m ye ulaşan epimetamorfik sistemlerden oluşur. Bunun üzerine 300-400 m kalınlığında Kambriyen oluşukları yer alır. İkinci birim olan Bozburun sistemi ise yaklaşık 2000 m kalınlığında dayak ve sillerden oluşur. Bunun da üzerine Devoniyen-Karbonifer yaşı birimler transgresif olarak gelir.

Paleozoyik yaşı birimler bölgede karstlaşmanın geçirimsiz en alt tabanını oluştururlar.

#### 2.1.2. Mesozoyik

İnceleme alanında otokton Mesozoyik oluşuklar, alt seviyeleri ile Seydişehir-Kasımlar yöresinde, orta kısımları ile Anamas dağında ve orta-üst seviyeleri ile Beyşehir'in güneyinde Dikmen Tepe'de yer alırlar.

Beyşehir ve Akseki arasındaki bölgede Jura-Kretase oluşukları sürekli bir karbonat serisi durumundadır ve yer yer farklılıklar olmasına karşın genellikle neritik fasiyeste gelişmiştir.

Martin'ın (1969) tanımladığı Akseki birimi Özümdere, Sarıcıçek kireçtaşı, Hendek kireçtaşı-dolomit ve Akkuyu formasyonlarından oluşur. Yine bu bölgede yer alan Kretase oluşuklarının kalınlığı 1000 m yi bulan sürekli bir karbonat istifi olarak gelişmiştir.

Neritik fasiyesteki bu karbonat serisinin ilk 750-800 m lik kısmı Alt Kretase'yı temsil eder. Genel görünümleri ile homojen olan karbonat serisi yer yer oolitik, dolomitik veya resifal olmakta, tuzlu yataklar kapsamaktadır. Sürekli karbonat serisinin en üst

seviyesinde Paleosen-Eosen yaşlı nummulitli kireçtaşı yer alır (Martin, 1969).

Karacahisar antiklinalinde Paleozoyik temel Orta Triyas transgresyonu ile örtülmüştür. Yer yer dolomitik fasiyes sunan Orta Triyas kireçtaşları Dipoyraz kireçtaşı olarak bilinirler. 1000 m den fazla kalınlığa sahip Dipoyraz karbonat serisi Orta-Üst Triyas yaşıldır (Dumont ve Monod, 1976).

İnceleme alanında Jura-Kretase yaşlı sürekli karbonat serisi son derece karstik bir yapıya sahiptir. En çok rastlanan karst şekilleri, erime oluğu (karren), mağara, düden, erime ve çökme dolinleri, polye, karstik kaynak ve alici-verici düdenlerdir (Günay, 1981).

### 2.1.3. Senozoyik

İnceleme alanında sürekli karbonat serisi üzerine gelen Senozoyik oluşuklar farklı dağılımlar gösterirler. Aksu havzasında Antalya napları yer alır. Beyşehir gölü güneyi ve Manavgat havzalarında sürekli karbonat serisi ile allokton Beyşehir-Hoyran-Hadım naplarını örten Lütesiyen bir flis gelir. Olistolit, bazalt yastık lavlar içeren bu flis, nap sınırı boyunca yüzeylenir ve alttaki sürekli karbonat serisi ile napa ait geçirimsiz karbonat istifi arasında geçirimsiz doğal bir bariyer oluşturur (Günay, 1981).

Büyük çaptaki yapısal hareketlerden (napların yerlesiği Paleosen-Oligosen'den) sonra Toroslarda görülen Miyosen transgresyonu sonucu 1500 m yi geçen çökeller en üst örtüyü oluşturmıştır.

Bu birim, Köprüçay havzasında rastlanan Köprüçay konglomeraları ile benzerlik gösterir. Köprüçay konglomeraları yuvarlaklaşmış,

kireçtaşı bilesenli, karbonat cimentolu çok kalın tabakalı bir yapı gösterirler. Yine bu havzada tanımlanan Beşkonak formasyonunu oluşturan Miyosen çökelleri, seyl ve kumtaşı ardalanması şeklinde bulunur ve yaklaşık kalınlığı 1000 m yi bulur. Köprüçay konglomeraları karstik ve geçirimsizdir, Beşkonak formasyonu geçirimsizdir.

Manavgat havzasındaki Miyosen transgresyonu ise karstik bir konglomera ile başlar. 'Sevinç konglomerası' ya da 'Tepeklı konglomerası' olarak adlandırılan bu istif 800 m ye varan kalınlıklarda görülür. Kalın tabakalı birimin, elemanları daha çok kireçtaşı çakılları olup karbonat cimentoludur.

#### 2.1.4. Kuvaternler

Büyük ırmakların bulunduğu bölgelerde görülen taraça çökelleri, birikinti konileri, travertenler ve aluvyon, inceleme alanında Kuvaternler'i temsil etmektedir.

#### 2.2. Allokton Birimler

İnceleme alanında, Antalya napları ile Beyşehir-Höyran-Hadım napları allokton birimleri oluştururlar.

### 2.2.1. Antalya Napları

Antalya napları Antalya'nın batısında bulunan Beydağları okyanusunun doğu kanadını örter.

Dumont vd., (1975) ise Daniyen sonrası Akitaniyen öncesi bir zamanda yerleşmiş olan Antalya naplarını Ofiyolitli birlik ve Dulup birliği olmak üzere iki birliğe ayırmışlardır.

Ofiyolitli birlik sürekli karbonat serisi üzerinde görülür.

Aksu havzası ile Köprüçay havzası sını�ında kuzey-güney doğrultusunda geniş bir yayılım gösterir. Hidrojeolojik açıdan geçirimsiz olan bu birimin kalınlığı 500 m ye varmaktadır.

Genelde Ofiyolitli birlik üzerine uyumsuz olarak gelen Dulup birliği esas yayılımını inceleme alanının dışında gösterir. Kambriyen-Kretase aralığında çökelmiş şelf türü karbonatlar ile kırıntılı kayaları kapsaması nedeni ile otekton kireçtaşlarına benzeyen bu birimin kalınlığı 1500 m dir (Dumont ve Kerey, 1975).

### 2.2.2. Beyşehir-Hoyran ve Hadım Napları

Beyşehir-Suyla gölleri ile Manavgat havzalarında geniş yayılım gösteren Beyşehir-Hoyran napları, tektonik olarak Eosen flişi üzerinde yer alırlar. Hadım napları ise yine tektonik olarak Jura-Tersiyer oluşukları üzerinde görülür. Eosen flişi üzerinde yer alan Beyşehir-Hoyran napları değişik yaş, tür ve boyutlarda blok ve allokton birimleri içerirler. Bu fliş, üzerinde bulunduğu

sürekli karbonat serisi ile altında bulunduğu Beyşehir-Hoyran napları arasında hidrojeolojik açıdan geçirimsiz bir bariyer olarak ortaya çıkar. Naplar içinde yer alan allokton Mesozoyik kireçtaşları karstiktirler.

### 2.3. Yapısal Jeoloji

TÜRKİYE  
BİLİMSEL ve TEKNİK  
ARASTIRMA KURUMU  
KÜTÜPHANESİ

İnceleme alanı yapısal açıdan oldukça karmaşıktır. Alp orojenez hareketlerinin neden olduğu bu karmaşıklığa ek olarak bölgede meydana gelen çeşitli epirojenik hareketler de litolojiler arasında birçok uyumsuzluğun yer almamasına neden olmuştur.

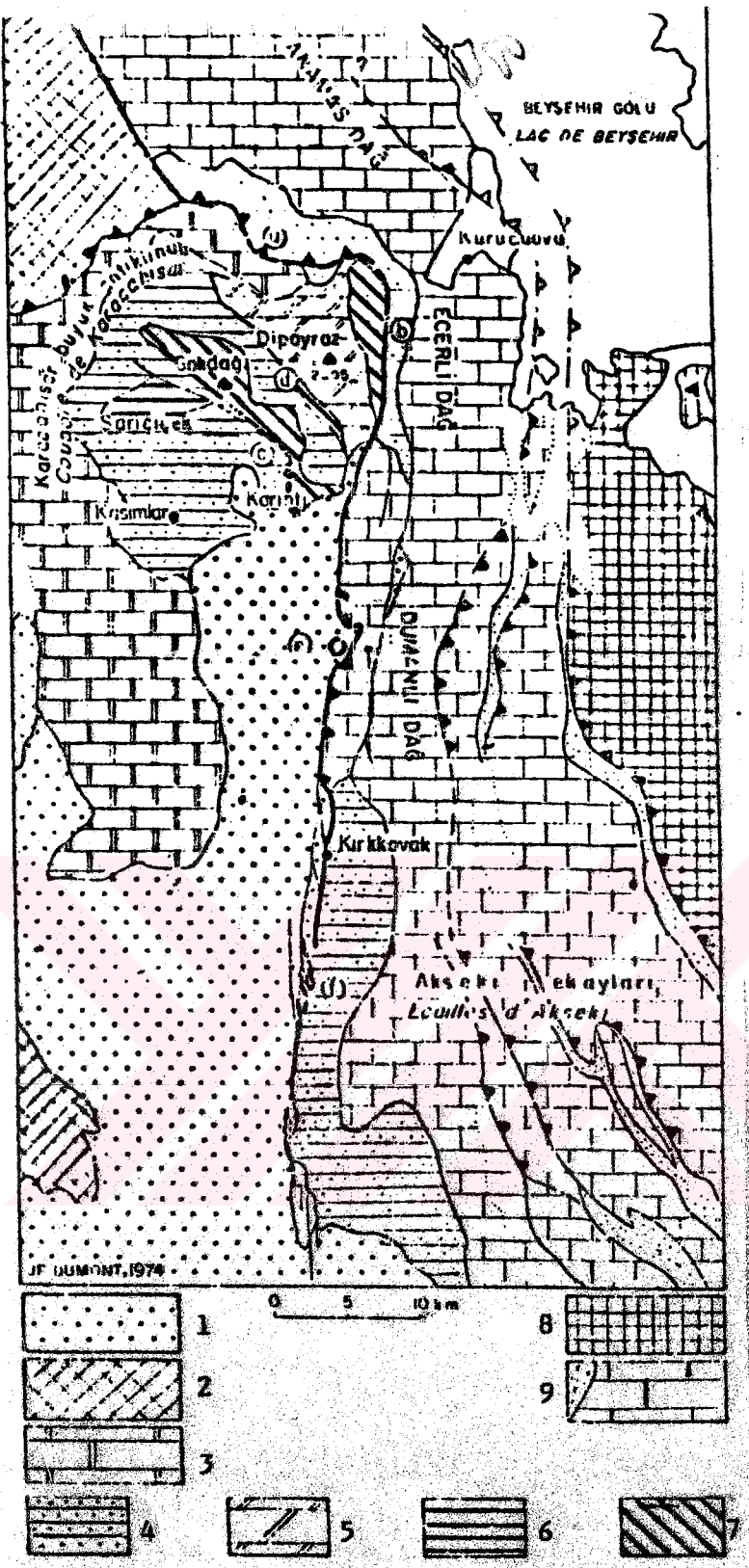
Bölgede çalışmış olan hemen hemen her araştıracının dikkatini çekmiş yapısal unsurlar, Karacahisar antiklinali, Kırkkavak fayı ve uzantısı ve banlara paralel olarak gelisen faylardır. Fayların genel doğrultusu kuzey-güneydir.

Karacahisar antiklinali, inceleme alanının olduğu gibi Torosların da en yüksek noktalarından biridir. Bu yapı Anamas dağları, Dipoyraz dağları, Gökdağ, Kartoz dağları ile birlikte bir kubbe şeklinde eğridir ve Beyşehir gölleri arasında yer alır. Simetrik olmayan yapı, doğuda aniden kesilmekte, tektonik ekaylarla bölünmektedir. Batı kesimindeki yayılımı daha geniş alanlar kaplar. Karacahisar antiklinali içinde yer alan Dipoyraz dağının kuzey-güneyden kuzeybatıya doğru kavis yapan Toros silsilesi doğ-

rultusunda belirgin bir kırılma olayı ile otakton birimler içinde yükseldiği görülür. Atımı 1500 m nin üzerinde ve kısmen Miyosen'den sonra gelişen bir düşey fayla sınırlı olan bu masifin Paleozoyik tabanı doğuya doğru yükselseerek yüzeylenir. Güneye doğru ise Büyük Incebel yaylasında Miyosen konglomeralarından oluşmuş dar bir geçit ile sınırlı olan masif, batıya doğru Triyas şeyllerinde karbonatlı örtü ve bazen, tabanını ekaylandıran bir bindirme hattı ile sınırlıdır. Kasımlar şeyllerinin alt kısmında, kuzeydoğuda, bu masif kaybolmakta ve güneybatı doğrultusunda tektonik Anamas dağı bindirmesi ile örtülmektedir (Dumont ve Monod, 1976).

İnceleme alanında en önemli ve en büyük faylardan biri olan Kırk-kavak fayı, Köprüçay havzasında kuzey-güney doğrultusunda uzanır (Şekil 2.3.). Hidrojeolojik açıdan pasıl davranışının açık olmayan fayın olasılıkla geçirimi bir sınır olduğu litlojik birimlerin yapısal ilişkilerinden yola çıkılarak kabul edilebilir.

Beyşehir gölünün batısında göle paralel olarak uzanan fay da gölün güneybatı ucundan güneye doğru Gembos polyesi boyunca Kırk-kavak fayına paralel olarak uzanır ve Embelez fayı ile birleşir. Burada tektonik yapılar ile karstik oluşuklar arasında sıkı bir ilişki söz konusudur. İnceleme alanındaki dolin, düden ve poleler genellikle fay hatları boyunca uzanmaktadır.



1. Miyosen (Burdigaliyen-Tortoniyen); 2. Antalya napları, 3. Komprehensif seri (Ü.Triyas-Ü.Kretase); 4.Orta Triyas (Seyil'ler); 5.Orta Triyas (Karbonatlar); 6. Sarıçek'te Alt Paleozoyik; 7. Gökdağ'da Paleozoyik; 8. Beyşehir-Hoyran napları; 9. Komprehansif Mesozoyik seri ve Batı Toros fliği. (Dumont, 1974'den)

Şekil 2.3. Kırkkavak fayı ve ilişkili jeolojik yapı

### 3. HİDROLOJİ

İnceleme alanının hidrojeolojisi yanında hidrolojisi de uzun yıllar çalışılmıştır. Ancak karst yeraltısuyu sistemindeki karmaşıklık tam olarak açıklanamamıştır.

Karst hidrolojisi konusunda yapılacak kapsamlı bir çalışma bölgede daha önce yapılmış ve karst yeraltısuyu sistemini açıklamaya yönelik çalışmalarla paralel bir şekilde değerlendirilerek bu amaca büyük katkılar sağlayabilir. Çalışmanın ayrıntılı ve sağlıklı ölçülmüş verileri kullanarak yapılması gerekmektedir.

Hidrolojik analizler hidrodinamik ve termodinamik ilkelerine dayanır. Bu ilkelerin düzensiz ve sadece kısmen bilinen (tanımlanabilen veya gözlenebilen) doğal bir ortama uygulanamemesi ana sorunu oluşturur. Örneklemesi yapılan olaylar, önceden planlanamayan ve kontrol edilemeyen türden olaylardır. Analizlerin birincil amacı, belirli değerlerin elde edilmesi, bölgesel bir değerin bulunması, frekans dağılımları ve değişkenler arasındaki ilişkilerin tanımlanmasıdır. Hidrolojik analizlere konu olan olaylar, genellikle doğrudan ölçülemeyen olaylardır. Örneğin, gölden olan buharlaşma doğrudan ölçülemez. Bu durum, verilerde, analiz sonuçlarına dayanan tahmin çalışmalarını etkileyebilecek belirsizliklere neden olacaktır (WMO, 1970).

Alansal örneklem sonucu bir drenaj alanı üzerine düşen yağış, yağışın küçük bir kısmının ölçüldüğü noktalı istasyonlar arası-

da enterpolasyon ile kestirilerek bir derece çözülmüş olmaktadır.

Yağış ile akış arasındaki ilişkilerin araştırılması çalışmalarının temeli, akım hidrograflarının bileşenlerine ayrılması ve hidrografin yağışa verdiği cevabin analizidir. Hidrografin bileşenlerine ayrılması islemler fiziksel ölçümden çok analitik modellere dayalı hesaplamalarla yapılır (WMO, 1970).

Analizler ayrıca, veri yığınlarına, istatistiksel tekniklerle yaklaşımı da içerirler. İstatistiksel analizler, verilerin frekans dağılımlarına uygunluk testlerini, kuramsal modellere uygunluklarının regresyon veya zaman serileri analizi yöntemleri ile saptanması konularını amaçlar. Türetilen veya bulunan ilişkilerin geçerli olup olmadıkları genellikle bağımsız veriler üzerinde uygulanması yolu ile denetlenebilir, en sık kullanılan yöntem ise hidrograf üretme çalışmasıdır.

Yapılan analizlerin geçerliliği, uygunluğu ve duyarlılığı örneklemede gereken niteliklerin ve yeterliliğin sağlanmasına bağlıdır. Analizlerde, ayrıca, maliyet, harcanan zaman ve beklenen yarar ile analiz için gereken zaman arasındaki ilişkiler de göz önüne alınmalıdır.

Birçok durumda, grafiksel ve nisbeten basit hesaplamalara dayalı yöntemler, karmaşık yöntemlerden daha ekonomik olmakta ve istenilen amaca uygun duyarlılık sağlanabilmektedir (A. Arıkan, 1984).

### 3.1. Yağış Verilerinin Analizi

Diğer hidrometeorolojik veriler gibi, yağış verileri analizlerinin iki ana amacı vardır. Birincisi, bir yağıştı temsil eden bir gözlemin veya bir gözlem dizisinin değerlendirilmesidir. Bu değerlendirme, gözlemlerde hatalara neden olacak (istasyonun kapatılması veya yerinin değiştirilmesi gibi) dış etkenlerin değerlendirilmesi ve fizyografi gibi fiziksel çevrenin etkilerinin yorumlanması kapsar. İkinci amaç ise, hidrolojik olayın gösterim, sunum, ardisık analizler ve buna benzer amaçlar için uygun bir duruma getirilmesidir. İncelenen alandaki yağış verileri DMI ve DSİ tarafından işletilen istasyonlara ait olup aylık ve günlük veriler sözügeçen kuruluşlardan sağlanmıştır. İnceleme alanında çok sayıda yağış istasyonu bulunmaktadır. Bu çalışmada, yağış istasyonlarının coğrafik konumları, işletme süreleri ve havzaya düşen global yağış rejimini temsil edebilme dereceleri dikkate alınarak Çizelge 3.1 de verilen 12 adet istasyon incelenmiştir.

#### 3.1.1. Kayıtların Düzeltilmesi

Bütün ölçümler, yer ve zaman içinde değişen olaylara ilişkindir. Örneğin akım ölçümleri bir akarsuyun belli bir kesiminde ve belli bir anda yapılırlar. Ölçümlerin, uygulamalı hidrolojiye yararlı olabilmeleri, önemli büyüklükte alanları ve uzun süreleri temsil edebilmeleriyle ölçülür (WMO, 1970).

Çizelge 3.1. Hidrolojik analizleri yapılan yağış gözlem istasyonlarına ait genel bilgiler

İstasyon Adı	İşleten Kuruluş	Çalışma Periyodu
Beyşehir	DMİ	1933-
Hüyük	DMİ	1959-
Üzümlü	DMİ	1963-
Doğanbey	DMİ	1963-
Kızılıren	DMİ	1963-
Sarkıkaraağaç	DMİ	1940-
Yenişarbademli	DMİ	1966-
Tolca	DSİ	1975-
Huğlu	DSİ	1966-
Gedikli	DSİ	1975-
Celtek	DSİ	1967-
Dumanlı	DSİ	1975-

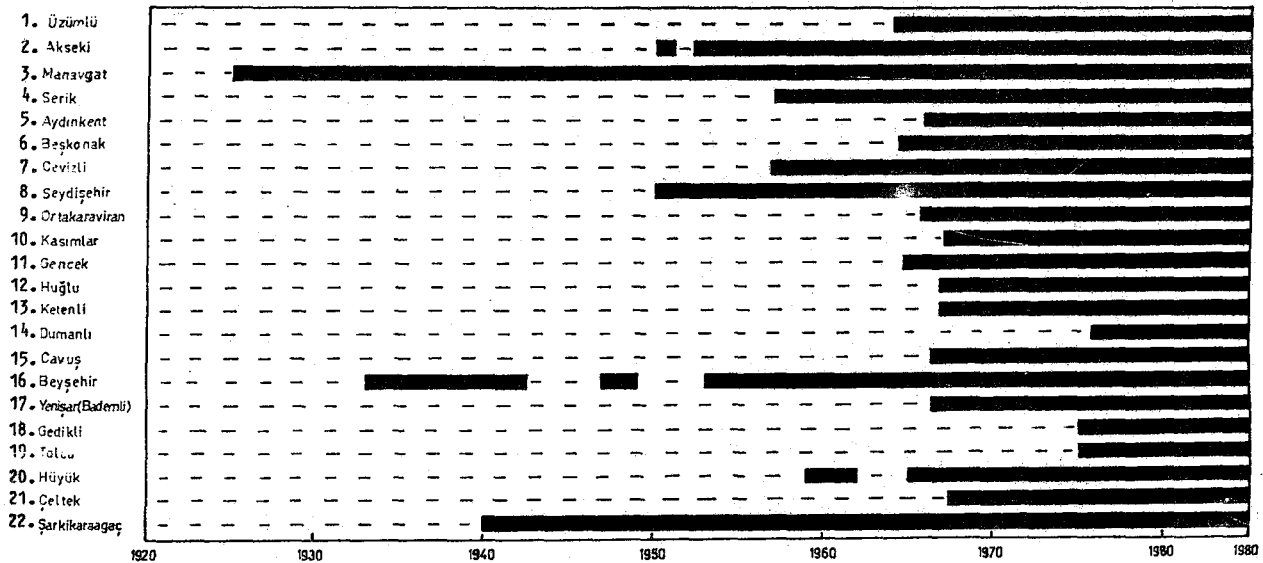
Değişik türde ölçümler arasında homojenliği sağlamak için düzeltme yapılması gereklidir. Düzeltmeler ölçümün bütünlüğünü zedelemeden yapılmalıdır.

### 3.1.1.a. Kayıtların Standart Baz Periyodu

Hidrolojik verilerin bölgesel yorumlama çalışmalarında sık karşılaşılan sorunlardan biri, istasyonların değişik periyodlarda çalışmış olabilmelerinden ileri gelmektedir. İncelenen istasyonlardan biri yağışın bol olduğu bir rejime karşılık gelen bir periyodta çalışmış olabilirken diğer bir istasyon ise bu dönemde kapalı veya henüz işletilmeye başlamamış olup kayıt periyodu kurak bir döneme karşılık gelmiş olabilir. Nitekim bu çalışmada incelenen istasyonlar için de bu durum geçerlidir.

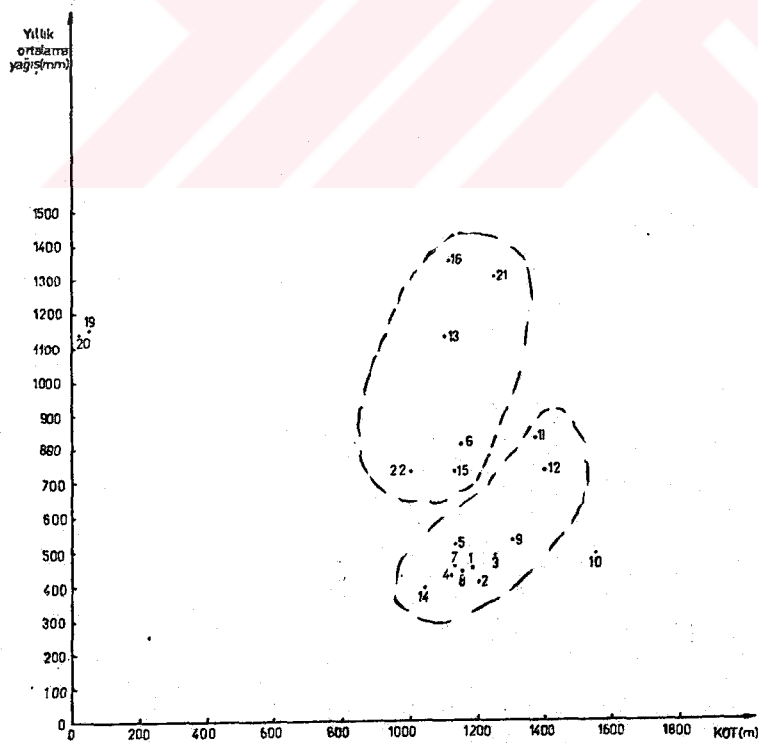
Bu sorunun çözülebilmesi için, aynı zaman skalası üzerinde bütün istasyonların kayıt periyodlarının gösterildiği cubuklar hazırlanmıştır (Şekil 3.1). Buradan, analizler için en uygun kayıt periyodu seçilebilir. Uygun kayıt periyodunun, uzun dönemli yağış rejiminin temsil edilebilmesi amacıyla zaman içinde uzun seçilmesine özen gösterilmelidir. Ancak, periyodun gereğinden fazla uzun seçilmesi ek bilgi sağlaması bir yana, gereksiz fazladan analizlerin yapılmasını sağlar. Buna karşın, periyod çok kısa seçilirse doğal hidrolojik rejim, seçilen kayıt periyodu ile temsil edilmeyecektir (WMO, 1970).

Yukarıdaki hususlar dikkate alınarak inceleme alanında yer alan



Sekil 3.1. İnceleme alanında bulunan yağış istasyonları ve kayıt

ucunlukları



Sekil 3.2. Ortalama yağış-kot grafiği

İstasyonlar için uygun kayıt periyodu. Şekil 3.1 de de görüldüğü gibi 1967-1984 yılları arasındaki periyod olarak seçilmiştir.

### 3.1.1.b. Eksik Kayıtların Tamamlanması

Verilerin analiz için hazırlanmaları sırasında bazı kayıtların eksik olması sık karşılaşılan bir durumdur. Zaman serilerindeki bu boşluk, eksik kayıtlı istasyonun yakınındaki istasyonların kayıtları kullanılarak enterpolasyon gibi yöntemlerle kestirim yolu ile doldurulabilir. Eldeki verilerin %5 veya en çok %10'nu bu yol ile tamamlanabilir. Aksi halde yorumlamada bazı yanlışlıklar düşülebilir (WMO, 1970).

Bu çalışmada kullanılan zaman serilerindeki eksiklikleri tamamlamak için, zaman serileri arasında ayrı ayrı korelasyonlar yapılmış, daha sonra kurulan regresyon denklemi yardımı ile eksik kayıtlar tamamlanmıştır. Korelasyon katsayıları  $R^2 > 3(1-r)^{2/N}$  ifadesi sağlanacak şekilde hesaplanmıştır. İnceleme alanında yer alan Tolca, Gedikli ve Dumanlı yağış istasyonlarının 1975 yılından önceki kayıtları bulunmamaktadır. Bu istasyonların kayıt periyodları standart baz periyodunun başlangıcı olan 1967 yılına dek uzatılmıştır. Çizelge 3.2 de bu kayıtların tamamlanması için bulunan korelasyon katsayıları verilmiştir.

Cizelge 3.2. Kayıtları uzatılan istasyonlara ait r katsayıları

Tolca-Hüyük	$r=0.936916$
Gedikli-Çeltek	$r=0.976530$
Dumanlı-Üzümlü	$r=0.949760$

### 3.1.1.c. Hatalı Verilerin Düzeltılması

Hatalı kayıtların düzeltilmesi 'çift eklek eğri' -Double Mass Curve- yöntemi ile yapılmıştır. Çift eklek eğri analizleri, bir istasyon kayıtında görülen sapmaların tanımlanması veya düzeltmesine yarayan grafiksel bir yöntem dayanır. Yöntem, analiz edilecek istasyonun zaman içinde gösterdiği gidişin çevrede bulunan diğer istasyonların zaman içinde gösterdikleri gidişlerle karşılaştırılması temeline dayanır. Sapma gösteren istasyona ait değerler birikimli olarak bir graf kağıdına, çevrede bulunan ve güvenilir kayda sahip bir veya birkaç istasyonun değerine karşılık çizilir. Buna göre gidişlerde meydana gelecek sapmadan düzeltme katsayısı bulunur.

İncelene alanındaki yağış istasyonlarına ait hatalı verilerin düzeltilmesi işleminin sağlıklı olabilmesi için ortak periyod içindeki her istasyonun yıllık ortalaması, o istasyonun kat

değerine karşılık çizilmiştir. Grafik üzerinde yağış rejimleri ve yükseltileri birbirine yakın olan istasyonlar arasında bir kümelenme oluşmuştur (Şekil 3.2). Bu kümelerin kendi aralarında homojenizasyona tabi tutulması uygun görülmüştür. Buna göre, Sarıkaraağaç (22), Çeltek (21), Hüyüklük (20), Beyşehir (16), Çavuş (15), Ketenli (13) ve Ortakaraviran (9) yağış gözlem istasyonları kendi aralarında bir grup, Özümlü (1), Seydişehir (8), Yenişarbademli (17), Huğlu (12) ve Gencek (11) yağış gözlem istasyonları da kendi aralarında ayrı bir grup oluşturmuşlardır. Yapılan çift eklezik eğri analizlerine ait eğriler Ek 3.1'de verilmiştir. Eğimlerdeki sapmalar istasyon kapanması, yerinin değiştirilmesi, çevresinde yüksek bitki örtüsünün olması veya başka bir engelle kuşatılması, verilerin kayıt yöntemindeki değişiklik ve benzeri gibi nedenen dolayı meydana gelebilir.

### 3.1.2. Alansal Ortalama Yağış Yüksekliğinin Bulunması

İnceleme alanında yer alan havzalara düşen ortalama yağış yüksekliği, bölgenin çok geniş olması ve alt havzaların farklı karakterler göstermesi nedeni ile her havza için ayrı ayrı hesaplanmıştır. Çalışmada, Beyşehir gölü, Suyla gölü, Köprüçay havzası ve Manavgat nehri havzası bölgesel karst yeraltı suyu sistemini oluşturan ana havzalar olarak düşünüldüğünden hesaplama bu havzalar için yapılmıştır.

Hesaplama Poligon yöntemi uygulanmıştır. Bu yöntem havza üzerinde üniform dağılım görülmeyen durumlarda uygulanmaktadır.

İstasyonlar arasındaki uzaklıklara bağlı olarak her istasyona bir 'etki ağırlığı' veya 'etki yüzdesi' verme işlemine dayanır. Havza ve istasyonların gösterildiği harita üzerinde, komşu istasyonların bir doğru ile birleştirilip üçgen oluşturulur. Oluşan üçgenlerin orta dikmeleri, bir istasyonu içine alan bir poligon meydana getirecek şekilde çizilir. Poligonun kapattığı alan ( $ai$ ), poligonun içinde yer alan istasyon tarafından temsil edilir. Bu alan, istasyonun etki ağırlığını hesaplamada kullanılan bir faktördür. Ortalama yağışı elde etmek için her istasyonun temsil ettiği alan ( $ai$ ) ile gösterdiği yağış ( $pi$ ) çarpılır ve tümü birkimli olarak toplanır. Bu toplam, havzanın toplam alanına bölünderek ortalama yağış yüksekliği bulunur.

$$Port = \frac{(pixai)}{A} \quad \text{Burada,}$$

$pi$  = Yıllık yağış değerleri, mm

$ai$  = Poligon içinde kalan alan,  $\text{km}^2$

$Port$  = Ortalama yağış, mm

$A$  = Toplam alan,  $\text{km}^2$

Buna göre, 1964-1984 yılları arasındaki 20 yıllık dönemde hesaplanan ortalama yağış değerleri Çizelge 3.3'te verilmiştir.

Çizelge 3.3. Ana havzalar için hesaplanan ortalama yağış yüksekliği

İstasyon Adı	Ortalama Yağış, mm
Beyşehir	724.93
Suçla	588.80
Köprüçay	1587.80
Manavgat	1915.39

### 3.1.3. Yağış Verilerinin İstatistiksel Analizi

Hidrolojik olaylar çok çeşitli, sayısız etkenlere bağlıdır. Bütün bu etkenlerin saptanması ve zaman içindeki durumlarının belirlenmesi olanaksızdır. Bundan dolayı bu olayları ifade eden kesin bağıntılar elde edilemez. Karakteri konusunda önceden bilgi edinilemeyen bu olaylar rasgele olaylar olup bu yüzden olasılık teorisine dayalı yöntemler yardımcı ile analiz edilmelidirler. Böylece önceden kestirim tam bir değer değil ancak bir aralık dahilinde yapılabilir (WMO, 1970).

Havzalara düşen yağış rejiminin benzer olduğu analizler sonucunda anlaşılmıştır.

### 3.1.3.a. Verilerin Olasılık Dağılımları

İstasyonda kaydedilen değerler büyükten küçüğe doğru sıralanarak  $F = r/(N-1)$  veya  $F = (r-0.5)/N$  eşitliğine göre deneysel frekanslar belirlenir. Verilerin ortalama değeri,  $X$ , ve gözlenen değerlerin ortalamadan sapmasının bir ölçüsü olan standart sapma  $S$ , değeri

$$X = \bar{x}_i/N$$

$$S = \sqrt{\frac{[(x_i - X)^2 / N-1]}{1/2}}$$

ile hesaplanır. Burada,

$X$  : ortalama

$S$  : standart sapma

$x_i$  : gözlenen  $i$  ninci değer

$N$  : toplam gözlenen değer sayısı

Yukarıda açıklanan adımlar DMT Şarkikaraağaç istasyonunda gözlenen yıllık yağışlar üzerinde aşağıda gösterilmiştir.

Buna göre bu istasyonda ortalama  $X=450.92$  ve standart sapma  $S=113.04$  tür.

Bu aşamadan sonra dağılım fonksiyonunun seçimi için verilerin bir dağılım fonksiyonu kağıdına, örneğin, Gauss grafik kağıdına geçirilmesi gerekmektedir. Gauss kağıdının (Ek 3.2) yatay ekseni frekansları, dikey ekseni ise yağışları göstermektedir.

Noktalanan değerleri temsil edecek en uygun doğru geçirildikten sonra bu doğrunun uygunluğu,  $U = (X-\bar{X})/S$  eşitliği  $X = \bar{X} + S \cdot U$  şekli ile kullanılarak belirli noktalar için, örneğin 0.10, 0.50 ve 0.90 frekanslarına karşılık gelen değerler hesaplanır.  $U$  değeri teorik dağılım tablosundan belirli bir frekans değerine karşılık bulunur. Sonuçlar Çizelge 3.4 de verilmiştir.

**Cizelge 3.4. Şarkikaraağaç Yağış Gözlem İstasyonunda Gözlenen Sıralı Ortalama Yıllık Yağışların Frekansları ve  $U$  Değerleri**

$F(X)$	$U$	$X$
0.10	1.282	592.84
0.50	0.000	450.92
0.90	-1.282	306.00

Bu 3 nokta daha önce noktalanan grafte saptanır ve üçünden geçeceğ şekilde yeni bir doğru geçirilir. İkinci doğrunun, ilk doğru ile çakışması veya paralel olması seçilen dağılım fonksiyonunun ilk aşamada uygun olduğunu gösterir. Şarkikaraağaç ve diğer istasyonlarda kaydedilen veriler normal dağılım göstermişlerdir (Ek 3.2).

Dağılım fonksiyonunun parametrelerinin tahmini ve uygunluk testi aşağıda kısaca açıklanmıştır.

Uygun dağılım fonksiyonunun iyi seçilmemiş olması, örnekleme hatasına daha büyük bir hatanın eklenmesine neden olacaktır. Seçilen fonksiyonun uygunluğunu test etmek için çeşitli yöntemler kullanılabilir. Normal dağılım fonksiyonunun uygunluk testi genellikle Kİ KARE ( $\chi^2$ ) ile yapılmaktadır (Arıkan, 1984). Gözlem sayısının 30 dan küçük olduğu durumlarda uygulanan testte, her sınıf'a en az 5 değişkenin bulunduğu bir sınıflara yapılır. Sınıflar eşit olasılık yüzdelere sahip olmalıdır.

$$\chi^2 = \sum_{i=1}^K \frac{(n_i - np_i)^2}{np_i}$$

$\chi^2$  eşitliğinden  $\chi^2$  olasılığı hesaplanarak örneğin dağılım fonksiyonuna uygunluğu, serbestlik derecesi ( $v$ ), risk yüzdesi ( $\alpha$ ) ne bağlı olarak test edilir. Yukarıdaki eşitlikte

$n_i$  :  $i$ inci sınıfta bulunan gözlemlenmiş değerlerin sayısı  
 $np_i$ : teorik olarak  $i$ inci sınıfta gözlemlenmesi beklenen değerlerin  
 sayısıdır.

$v$  serbestlik derecesi ise  $v = K - P - 1$  eşitliği ile hesaplanır.

Burada,

$K$  sınıf sayısı

$P$  dağılım fonksiyonunda kullanılan parametre sayısı (ki normal dağılımda bu değer 2 dir).

Seçilen dağılım fonksiyonunun uygunluğunun kabulü için koşul

$P(X_2) \geq a$  dır.  $a$  risk yüzdesi genellikle 0.05 olarak seçilmektedir. Eğer  $P(X_2) \leq 0.05$  ise bu durumda seçilen dağılım fonksiyonu uygun değildir.

$K=5$  olarak seçildiğinde serbestlik derecesi  $v = 5-2-1=2$  bulunur. Böylece her sınıfa ait olasılık yüzdesi  $\%F=1/5=0.20$  dir. Bu olasılığa bağlı  $npi = \%FxN = 0.20 \times 18 = 3.6$  olarak bulunur. Sınıf limitleri,  $X = X + UxS$  denklemine göre bulunur. 0.20, 0.40, 0.60, 0.80 ve 1.00 frekanslarına karşılık gelen  $U$  değerleri tablodan bulunmuştur (Çizelge 3.5).

Çizelge 3.5. Belirli Frekanslara Karşılık Gelen Sınıf Limitleri

$F(X)$	$U$	Sınıf limiti $X$
0.20	0.842	546.10
0.40	0.253	479.51
0.60	0.253	422.33
0.80	0.842	
0.90		355.74
1.00	sonsuz	

Buna göre beklenen ve gözlenen değerlere bağlı olarak hesaplanan  $X^2$  olasılığı Çizelge 3.6 da verilmiştir.

Cizelge 3.6. Beklenen ve Gözlenen Değerlere Bağlı Olarak  
 $\chi^2$   
 Hesaplanan X Olasılıkları

Sıra No	Sınıf limiti	beklenen (npi)	gözlenen (ni)	$(ni-npi)^2/(ni+npi)$	$\chi^2/npi$
1	546.1-	3.6	2	2.56	0.710
2	497.51-546.1	3.6	6	5.76	1.600
3	422.33-497.51	3.6	3	0.36	0.100
4	355.74-422.33	3.6	3	0.36	0.100
5	-355.74	3.6	4	0.16	0.044

Cizelge 3.6' a göre  $\chi^2 = 2.554$  tür. Uygunluk koşulu  $P(\chi^2 \geq 2) = 0.05$  olduğuna göre ve  $P(\chi^2 \leq 2.554) = 0.05$  olduğundan normal dağılım fonksiyonu %95 lik bir güven derecesi ile uygundur.

Güven aralığının hesaplanması, örnekleme hatasının önem derecesini göstermektedir. N<30 olduğu durumlarda  $v=N-1$  serbestlik derecesine sahip olup 'student' dağılımına uygunluk gösterir. Verilen örnekte N=18<30 dir. Buna göre serbestlik derecesi  $v=18-1=17$  dir. Ortalama  $(X) + t_{1-\alpha/2} * (S/N)^{1/2}$ , varyansın güven aralığı ise  $(N*S^2/X12) < S^2 < (N*S^2/X22)$  dir.  $\alpha$  güven derecesi

0.80 olarak alınırsa,

$t_1=0.080/2=t_{0.1}$  student tablosundan  $t_{0.1}=1.33$  tür.

Buna göre ortalama değer,

$\bar{x}+t_{0.1} \cdot S/N = 450.92 + 1.33 \cdot 113.04 / 18$  olarak bulunur.

$415.48 \leq X \leq 486.36$  arasında bir değeri 0.20 risk derecesi ile alır.

$N-1=17$  serbestlik derecesine göre ve  $N < 50$  olduğundan varyansın  $S^2$  güven aralığının hesabı "X dağılımına uygundur" varsayımlı ile yapılmaktadır.

$$P(X_1^2) = 0.10 \quad X_1^2 = 24.8$$

$$P(X_2^2) = 0.90 \quad X_2^2 = 10.1 \quad \text{ve}$$

$$(18 \cdot 12778.04 / 24.8) < S^2 < (18 \cdot 12778.04 / 10.1)$$

$$9274.38 < S^2 < 22772.74 \quad \text{tür. } S = S_2 \text{ dan}$$

$$36.30 < S < 150.91 \quad \text{bulunur.}$$

Analizlerin son aşamasında belirli yinelenme süreleri hesaplanmıştır. 10 yıllık yinelenme süresine karşılık gelen kurak ve yağışlı dönemlerde gelebilecek yağışlar, 995 güven derecesi ile hesaplanmıştır.

$F(X) = 1/N = 1/10 = 0.1$ ,  $F(X) = 0.1$  için  $U = 1.282$  dir.  
 $a=0.95$  güven derecesine ve  $v=17$  serbestlik derecesine göre  
 $X_{0.10} = \bar{X} + S \cdot U$  bağıntısından her 10 yılda bir gelebilecek yağış  
 $X=595.84$  mm olarak bulunmuştur.

$$X_{0.10} + t_{1-a/2} \cdot (S / \sqrt{2n}) \cdot (\chi_{p-2} - 2), t=0.025 \quad \text{student tablosundan}$$

$t_0.025=2.11$ , böylece yağış aralığı  $519.91 < X_{0.1} < 671.77$  olarak bulunur.

Kurak dönem için  $F(X)=0.90$  olarak alınıp aynı işlemler tekrarlanırsa  $X_{0.90}=306$  mm ve  $230.07 < X_{0.90} < 381.93$  olarak bulunur.

Çalışma alanındaki diğer istasyonlara ait analizlerin sonuçları Çizelge 3.7' de verilmiştir

Çizelge 3.7. İnceleme alanında yer alan yağış istasyonlarının olasılık dağılımları ve uygunluk testi

İstasyon adı	Beyşehir Gölü Havzası			
	Tolca	Y. bademli	Beyşehir	Özümlü
X ortalama	: 478.35	851.92	472.69	755.88
S standart sapma	: 125.82	250.91	99.60	180.18
X 0.10	: 639.69	1173.58	600.38	986.87
X 0.50	: 478.35	851.92	472.69	755.88
X 0.90	: 317.01	530.26	345.00	524.89
k sınıf aralığı	: 5	5	5	5
npi beklenen değer	: 3.6	3.6	5.9	4.2
X <sub>2</sub>	: 1.43	1.99	0.48	5.42
Sonuç	uygun	uygun	uygun	uygun
a	: %90	%90	%90	%90
Maksimum yağış	: 529.95	954.82	504.15	823.74
Minimum yağış	: 426.75	749.02	441.23	688.02

## Cizelge 3.7 (devam ediyor)

Yinelenme (10 yıl)

Yağışlı dönem	Maks.	: 724.2	1342.11	651.15	1097.63
Yağışlı dönem	Min.	: 555.18	1005.05	549.22	876.11
Kurak dönem	Maks.	: 401.52	698.79	396.16	635.67
Kurak dönem	Min.	: 232.5	361.73	293.84	414.11

İstasyon adı	:	Köprüçay Kasımlar	Havzası Serik
X ortalama	:	1133.07	1086.23
S standart sapma	:	271.10	274.38
X 0.10	:	1480.62	1437.85
X 0.50	:	1133.07	1036.23
X 0.90	:	785.52	734.60
k sınıf aralığı	:	5	5
npi beklenen değer	:	3.6	5.6
X2	:	0.942	8.073
Sonuç	:	uygun	uygun
a	:	%90	%90
Maksimum yağış	:	1244.32	1174.52
Minimum yağış	:	1021.82	997.94

Yinelenme (10 yıl)

Yağışlı dönem	Maks.	:	1315.16	1581.56
Yağışlı dönem	Min.	:	950.98	1294.14
Kurak dönem	Maks.	:	967.61	878.31
Kurak dönem	Min.	:	603.43	590.89

Cizelge 3.7 devam ediyor

Istasyon adı	:	Sağla Bölük Havzası Cavuş Seydişehir
X ortalama	:	466.58 756.58
S standart sapma	:	122.17 199.87
X 0.10	:	623.3 1012.81
X 0.50	:	466.58 756.58
X 0.90	:	309.96 500.35
k sınıf aralığı	:	5 5
npi beklenen değer	:	3.6 5.8
X2	:	3.109 1.172
Sonuç	:	uygun uygun
a	:	%90 %90
Maksimum yağış	:	516.72 819.54
Minimum yağış	:	416.44 693.62
Yinelenme (10 yıl)		
Yağışlı dönem Maks.	:	705.36 1115.55
Yağışlı dönem Min.	:	541.24 910.07
Kurak dönem Maks.	:	392.02 603.09
Kurak dönem Min.	:	227.49 397.61

## Cizelge 3.7 devam ediyor

İstasyon adı	:	Manavgat nehri Havzası Manavgat	Aydinkent
X ortalama	:	1115.32	1821.85
S standart sapma	:	277.15	435.90
X 0.10	:	1470.63	2380.67
X 0.50	:	1115.32	1821.85
X 0.90	:	760.01	591.17
k sınıf aralığı	:	5	5
npi beklenen değer	:	4.8	3.6
X2	:	4.749	5.324
Sonuç	:	uygun	uygun
a	:	290	290
Maksimum yağış	:	1212.30	2000.73
Minimum yağış	:	1018.34	1642.97
Yinelenme (10 yıl)			
Yağışlı dönem Maks.	:	1628.67	2673.46
Yağışlı dönem Min.	:	1312.59	2087.88
Kurak dönem Maks.	:	918.05	1555.82
Kurak dönem Min.	:	601.97	970.24

## Cizelge 3.7 devam ediyor

İstasyon adı : Gembos Havzası  
 Eşenek

---

X ortalama	:	787.76
S standart sapma	:	153.35
X 0.10	:	984.35
X 0.50	:	787.76
X 0.90	:	591.17
K sınıf aralığı	:	5
npi beklenen değer	:	4
X <sub>2</sub>	:	9.5
Sonuç	:	uygun
a	:	%90
Maksimum yağış	:	947.8
Minimum yağış	:	727.44

## Yinelenme (10 yıl)

Yağışlı dönem Maks.	:	1081.36
Yağışlı dönem Min.	:	887.36
Kurak dönem Maks.	:	688.16
Kurak dönem Min.	:	494.18

Çizelge 3.7 devam ediyor

İstasyon adı	:	Akseki Havzası Akseki
X ortalama	:	1298.14
S standart sapma	:	280.48
X 0.10	:	1657.71
X 0.50	:	1298.14
X 0.90	:	938.57
k sınıf aralığı	:	5
npi beklenen değer	:	5.8
X2	:	7.376
Sonuç	:	uygun
a	:	%90
Maksimum yağış	:	1334.55
Minimum yağış	:	1261.73
Yinelenme (10 yıl)		
Yağışlı dönem Maks.	:	1801.88
Yağışlı dönem Min.	:	1513.54
Kurak dönem Maks.	:	1082.74
Kurak dönem Min.	:	794.40

### 3.2. Akım Verilerinin Analizi

İnceleme alanında kaydedilen akım verileri DSİ ve EİE tarafından çalıştırılan yıllık verilerdir. Bu çalışmada Çizelge 3.8'de belirtilen akım gözlem istasyonlarına ait veriler analiz edilmiştir.

Akım gözlem istasyonları için seçilen standart baz periyodu 1960-1980 yılları arasındaki süre olmuştur. Eksik kayıtlar Bölüm 3.1 de anlatılan yöntemlere uygun bir şekilde yapılmıştır. Sonuç olarak;

- Soğuklu-Yeşildağ Akım Gözlem İstasyonunun 1967 yılından 1980 yılına kadar olan kayıtlarının tamamlanması için Üstünler Akım Gözlem İstasyonu ile korele edilmiş ve  $r=0.9566$  bulunmuştur.
- Köprüçay-Beskonaç ile Manavgat-Homa ve Manavgat-Sinanhoca ile Manavgat-Homa AGİ arasında korelasyon analizleri yapılmış ve sırası ile  $r=0.89676$  ve  $r=0.990$  bulunmuştur.

Akım kayıtlarının çift eklezik eğri yöntemi ile analizleri sonucunda eğimde görülen saptamlar, akım rejimindeki ve akış karakteristiklerindeki anı değişimlerden ileri gelmektedir. İnceleme alanındaki akım gözlem istasyonlarına ait çift eklezik eğri analizleri Ek 3.3' te verilmiştir.

**Çizelge 3.8. Hidrolojik Analizleri yapılan ABİ'na  
ait bilgiler**

İstasyon No	İstasyon Adı	İşleten Kurulus	Çalışma Periyodu
1613	Çeltek	DST	1960-1984
1615	Üstünler	DST	1960-1984
1614	Yeşildağ	DST	1959-1984
16105	Sarısu	DST	1960-1984
901	Homa	EIE	1940-1984
902	Beşkonak	EIE	1940-1984
1604/A	Beyşehir Gölü Çıkışı	EIE	1964-1984
1621	Sağla Gölü Çıkışı	EIE	1969-1984
912	Sinanhoca	EIE	1964-1984

**3.2.1. Akım Verilerinin İstatistiksel Analizi**

Akım verilerinin uygunluk gösterdiği olasılık dağılım fonksiyonları Bölüm 3.1. de verilen yöntemler izlenerek yapılmıştır. Akdeniz ikliminin hüküm sürdüğü yarıkurak ve kurak bölgelerde akım verileri genellikle çarpık dağılım göstermektedir (Arikan, 1979).

İncelenen akım verileri EIE akım yıllıklarından elde edilebilir. Örnek olarak çözümü adım adım verilen Soğuksu-Yeşildağ AGı de kaydedilen yıllık akım verilerinin sıralanmış değerleri ve frekansları Çizelge 3.9'da verilmiştir. Bölüm 3.1'de verilen kuramsal bilgi ışığında normal olasılık dağılım kağıdına geçirilen değerler bir doğru yerine bir eğri oluşturacak şekilde dizilmişlerdir. Çarpık karakterli bir dağılıma uygunluk gösterdikleri anlaşılan verilerin logaritmaları alınarak yeniden grafa geçirilmiş ve sonucta bir doğru oluşturacak şekilde dizildikleri görülmüştür. Böylece verilere Log-Normal dağılım fonksiyonu uygulanmıştır.

**Cizelge 3.9. Soğuksu-Yeşildağ AGı'na ait sıralanmış veriler ve frekansları**

Yıllar	ort.akım(Qi)	sıralı sira	ort.akım	frakans	Log(Qi)
1960	5.52	1	9.2	0.0227	0.964
1961	4.93	2	8.82	0.068	0.945
1962	4.25	3	7.98	0.1136	0.902
1963	6.50	4	7.39	0.159	0.869
1964	2.41	5	7.16	0.204	0.855
1965	6.29	6	6.96	0.250	0.843
1966	7.39	7	6.67	0.295	0.824
1967	7.16	8	6.50	0.341	0.813

Cizelge 3.9 devam ediyor

1968	8.82	9	6.48	0.386	0.811
1969	7.99	10	6.31	0.432	0.800
1970	5.44	11	6.29	0.477	0.799
1971	4.49	12	6.08	0.523	0.784
1972	3.36	13	5.81	0.568	0.764
1973	3.04	14	5.52	0.600	0.742
1974	2.74	15	5.44	0.659	0.735
1975	5.81	16	4.93	0.704	0.693
1976	6.67	17	4.49	0.750	0.652
1977	6.08	18	4.25	0.795	0.638
1978	6.31	19	3.36	0.841	0.526
1979	6.96	20	3.04	0.886	0.483
1980	6.48	21	2.74	0.932	0.438
1981	9.20	22	2.41	0.977	0.38

Cizelge 3.9 ' a göre ortalama akım  $Q=5.81 \text{ m}^3/\text{s}$ ,  $\text{Log} Q=0.74 \text{ m}^3/\text{s}$  standart sapma  $S = 1.864$  ve  $\text{Log } S = 0.159$  dur. EK 3.4 ' te verilen Log-Normal graf kağıdında yatay eksen frekansları, düşey eksen ise akım değerlerini göstermektedir. Elde edilen eğrinin doğru haline getirilebilmesi için değerlere  $X_0=0$  kadar bir değerinin eklenmesi gerekmektedir.  $Q_0=+200$  dır.

$Q=a \cdot \log(Q_i+Q_0)+b$  denklemindeki  $a$  ve  $b$  parametrelerinin saptanması, momentler yöntemi ile bulunmuştur.

$a = (1.517 / (\log(1+82/(Q+Q_0)))^2)$  eşitliğinden

$a = 27.804$  ve

$b = (1.1513/a) - a \cdot \log(Q+Q_0)$  dan

$b = -67.548$  olarak bulunmuştur. Böylece uygun doğruya ait eşitlik

$U = 27.80 \cdot \log(Q_i + Q_0) - 67.548$  şeklindedir.

Yine dağılım fonksiyonuna uygunluk testi olarak  $\chi^2$  testi uygulanmıştır.

$N=22 < 30$  olduğundan  $k=5$  alınırsa serbestlik derecesi  $v=5-3-1=3$  olarak bulunur (Log-Normal dağılım fonksiyonu 3 parametrelili bir fonksiyondur).

$\%F=1/k=1/5=0.20$  ve  $npi=\%F \cdot N=0.20 \cdot 22=4.4$  tür.

$\log(Q_i + Q_0) = (U = 67.548) / 27.804$  denkleminde  $U$  ya çeşitli değerler verilerek hesaplanan  $Q_i$ 'lar Çizelge 3.10'da verilmiştir.

Çizelge 3.10. Belirli frekanslara karşılık gelen  $Q_i$  değerleri

F	U	Qi
0.20	0.842	7.35
0.40	0.253	6.21
0.60	-0.253	5.27
0.80	-0.842	4.22

Buna uygun olarak sınıf limitleri saptanmıştır (Çizelge 3.11).

Çizelge 3.11. Gizlenen ve beklenen değerlere bağlı olarak hesaplanan sınıf limitleri

Sıra no	sınıf limiti	n <sub>pi</sub>	n <sub>i</sub>	(n <sub>i</sub> -n <sub>pi</sub> ) <sup>2</sup>	(n <sub>i</sub> -n <sub>pi</sub> ) <sup>2</sup> /n <sub>pi</sub>
1	7.35-	4.4	4	0.16	0.036
2	6.21-7.35	4.4	7	5.76	1.536
3	5.27-6.21	4.4	4	0.16	0.036
4	4.22-5.27	4.4	2	5.76	1.309
5	4.22	4.4	5	0.36	0.082

Buna göre  $X^2 = 2.999$  bulunmaktadır. Uygunluk için gereken koşul olan  $P(X^2) \geq 0.05$  böylece sağlanmıştır ( $2.999 \geq 0.05$ ). Görüldüğü gibi dağılım %95 lik bir güven derecesi ile uygundur.

Güven aralığı hesaplaması için Çizelge 3.12'de verilen Log(Qi+Q0) değerleri kullanılmıştır.

Cizelge 3.12. Sıralanmış değerlerin doğru oluşturan halleri

Sıra (r)	$\log(Q_i+Q_0)$	Sıra (r)	$\log(Q_i+Q_0)$
1	2.492	12	2.436
2.	2.485	13	2.431
3.	2.471	14	2.425
4	2.460	15	2.424
5	2.456	16	2.413
6	2.453	17	2.400
7	2.447	18	2.398
8	2.444	19	2.380
9	2.443	20	2.374
10	2.440	21	2.367
11	2.440	22	2.359

$Y_i = \log(Q+Q_0)$  eşitliğinden  $Y_i = \log(69.74+200) = 2.431$  ve

$\bar{Y} = 2.429$ ,  $S_y = 0.0368$  olarak bulunmuştur.

$U = (Y_i - \bar{Y}) / S_y$  eşitliğinden  $U = 0.054$  olarak bulunmuştur.

a güven derecesi %90 olarak alınırsa,

serbestlik derecesi  $v = N - 1 = 12$  ise

$t((1-a)/2) = t(0.05) = 1.721$  (student tablosundan)

$Y_i + t(0.05) * (S_y / \sqrt{2N}) * \sqrt{v} + 2$  denkleminden  $2.431 + 0.0135$  bulunur.

$2.4175 < \log(Q+Q_0) < 2.4445$

$21.79 < Q+20 < 23.19$

$5.127 < Q < 6.524$  olarak bulunmuştur.

Yukarıdaki örnek çözüme paralel olarak yapılan analiz sonuçları

her havza için ayrı ayrı Çizelge 3.13' de verilmiştir.

**Cizelge 3.13. İnceleme alanındaki AGİ na ait verilerin olasılık dağılım fonksiyonları ve uygunluk testi**

İstasyon adı	Beyşehir Gölü Havzası Beyşehir gölü çıkışı
Ortalama akım Q :	10.435
standart sapma S :	8.602
Log Q :	1.008
Log S :	0.332
X0 :	0
Q0.1 :	28.124
Q0.5 :	10.435
Q0.9 :	3.52
Dogr. Denklemi :	$U=3.197 \cdot \log Q_i - 6.28$
k :	5
npi :	3.4
X2 :	2.116
Sonuc :	uygun
Yi :	2.077
Y :	1.972
Sy :	0.352
U :	0.298
a :	%90
Maks.akım :	11.087
Min.akım :	5.5

## Cizelge 3.13. devam ediyor

İstasyon adı	Suyla Gölü Havzası Suyla gölü çıkışı
Ortalama akım Q	: 10.439
standart sapma S	: 6.447
Log Q	: 1.970
Log S	: 0.421
X0	: 0
Q0.1	: 29.432
Q0.5	: 7.776
Q0.9	: 2.055
Dogru Denklemi	: $U=4.054 \cdot \log Q_i - 8.216$
k	: 5
npi	: 2.4
X2	: 0.499
Sonuç	: uygun
Yi	: 2.058
Y	: 1.970
Sy	: 0.451
U	: 0.284
a	: %90
Maks.akım	: 18.085
Min.akım	: 6.03

## Cizelge 3.13. devam ediyor

Istasyon adı	Manavgat Havzası Homa
Ortalama akım Q	*:131.889
standart sapma S	: 33.622
Log Q	: 2.020
Log S	: 0.1357
X0	: 300
Q0.1	:
Q0.5	:
Q0.9	:
Dogrı Denklemi	: $U=26.196 \cdot \log(Q_i+Q_0) - 95.86$
k	: 5
npi	: 5.2
X2	: 7.074
Sonuc	: uygun
Yi	: 3.661
Y	: 2.663
Sy	: 0.0371
U	: -0.0539
a	: %90
Maks.akım	: 144.655
Min.akım	: 119.75

Cizelge 3.13. devam ediyor

İstasyon adı	Köprüçay Beşkonak	Havzası
Ortalama akım Q	: 80.141	
standart sapma S	: 18.476	
Log Q	: 1.803	
Log S	: 0.100	
X0	: 0	
Q0.1	: 105.424	
Q0.5	: 78.130	
Q0.9	: 57.90	
Dogru Denklemi	$: U=10.115 \cdot \log Q_i - 30.059$	
k	: 5	
npi	: 5.2	
X2	: 6.691	
Sonuç	: uygun	
Yi	: 2.983	
Y	: 2.972	
Sy	: 0.1015	
U	: 0.1083	
a	: %90	
Maks.akım	: 86.66	
Min.akım	: 74.10	

### 3.3. Yağış-Akış ve Seviye Arasındaki İlişkiler

Yağış-akış ve seviye arasındaki ilişkiler tahmin ve değerlendirme işlemleri gibi iki ana amaç için yapılmıştır. Akım verilerinin olmadığı veya çok kısa olduğu durumlarda yağış-akış ilişkisini ifade eden modeller yardımını ile akım verileri uzatılabilir veya eksik veriler tamamlanabilir.

Akışın yağış ile birlikte ele alınıp havza için yorumlanması akım analizlerinin vereceği sonuçlardan daha anlamlı olmaktadır. Akımın önceden kestirilmesi konusunda yağış-akış ilişkisinin kullanılabilmesi aslında, düşen yağış ile akım hidrografının bu yağışa cevabı arasındaki geçiş zamanının analizleri ile mümkün olmaktadır. Basit korelasyon, zaman farklı korelasyon ve çoklu korelasyon analizleri bu konuda iyi sonuç veren yöntemlerdir.

Bu çalışmada korelasyon analizleri, Arıkan (1985) tarafından IBM PC-XT bilgisayarı için geliştirilmiş ve BASICA programlama dilinde yazılmış olan Step-Wise Çoklu Regresyon Programı yardımı ile yapılmıştır.

#### 3.3.1. Basit Korelasyon-Zaman Farklı Korelasyon Analizleri

Beyşehir gölü su seviyesi değerleri ile Manavgat (Homa ABİ) ve Köprüçay (Beşkonak ABİ) akımları arasındaki basit korelasyon ve sırası ile 1, 2, 3 ve 4 ay kaydirmalı korelasyon katsayıları Çizelge 3.14'de verilmiştir.

Alınan sonuçlara göre Beyşehir gölü su seviyesi ile Köprüçay

akımları arasında en yüksek ilişki sıfır zaman kaydirmalı ( $r=0.59$ ) değerler arasında bulunmaktadır. Ancak korelasyon katsayılarından da görüleceği gibi ilişki çok zayıftır. Aynı zayıf ilişki Beyşehir seviyeleri ile Manavgat akımları arasında da görülmektedir.

**Cizelge 3.14. Beyşehir Gölü Su Seviyesi ile Köprüçay ve Manavgat Akımları Arasındaki Korelasyon Katsayıları**

Yıllar	Beyşehir-Köprüçay					Beyşehir-Manavgat				
	Kaydırma 0	1	2	3	4	0	1	2	3	4
1964	0.594	0.516	0.40	-0.01	-0.46	0.69	0.62	0.54	0.19	-0.43
1965	0.26	-0.13	-.65	-0.8	-0.48	0.45	0.0	-0.3	-0.8	-0.6
1966	-0.18	-0.58	-0.8	-0.7	-0.8	0.02	-.49	-0.8	-0.8	-0.59
1967	0.14	-0.45	-0.7	0.03	-0.12	-0.4	-0.7	-0.3	-0.7	-0.5
1968	0.09	-0.40	-0.7	-0.9	-0.71	0.2	-0.3	-0.7	-0.8	-0.8
1969	0.32	-0.17	-0.5	-0.7	-0.79	0.3	-.12	-0.4	-0.7	-0.8
1970	0.03	-0.1	-0.8	-0.8	-0.84	0.2	-0.2	-0.7	-0.8	-0.9
1971	0.68	0.31	-0.1	-0.6	-0.72	0.6	0.2	-.12	-0.6	-0.6
1972	0.39	0.07	-0.2	-0.4	-0.51	0.4	0.2	0.03	0.07	-0.3
1973	0.51	0.42	0.40	0.18	0.20	0.3	0.5	0.4	0.2	0.2
1974	0.18	-0.55	0.60	-0.4	-0.28	0.3	-0.1	-0.5	-0.4	-0.16
1975	0.03	-0.49	-0.8	-0.8	-0.7	0.2	-0.2	-0.7	-0.8	-0.7
1976	-0.02	-0.6	-0.9	-0.6	-0.4	0.3	-0.1	-0.6	-0.6	-0.8
1977	-0.23	-0.55	-0.8	-0.8	-0.3	-.13	-0.5	-0.3	-0.8	-0.6
1978	0.08	-0.40	-0.7	-0.8	-0.5	0.2	-0.2	-0.6	-0.9	0.7
1979	-0.01	-0.14	-0.7	-0.8	-0.6	0.03	-0.3	-0.7	-0.7	-0.7
1980	0.07	-0.37	-0.6	-0.8	-0.8	0.4	0.00	-0.3	-0.7	-0.9

### 3.3.2. Çoklu Korelasyon Analizleri

Bağımlı değişken olarak akım değerleri ve seviye değerleri, bağımsız değişken olarak ise Akseki, Aydinkent, Beyşehir, Beşkonak ve Seydişehir yağışları 7-10 ay zaman farklı olarak alınmıştır. Çizelge 3.15'de değişkenler arasındaki korelasyon katsayı matrisi verilmiştir. Bağımlı değişken olarak Homa akımları ve bağımsız değişken olarak Aydinkent, Beyşehir, Akseki ve Seydişehir yağışlarının 0-10 ay zaman faklı değerleri alındığında;

Homa ABİ'ye ait i. ninci aylık akım değeri,  $Homa(i)$  ile birinci adımda Aydinkent( $i+2$ ) 0.645 lik, ikinci adımda Beyşehir( $i+4$ ) 0.730 luk, üçüncü adımda Aydikent( $i+1$ ) değerleri 0.808 lik, dördüncü adımda Akseki( $i+6$ ) 0.856 lik ve beşinci adımda Beşkonak- $(i+3)$  değerleri 0.877 lik çoklu korelasyon katsayısı yaratarak analizlere katılmışlardır. Buna göre, Homa akımlarına en büyük etki Aydinkent yağışları tarafından yağıştan iki ay sonra, Beyşehir yağışları yağıştan dört ay sonra Akseki yağışları yağıştan altı ay sonra ve Beşkonak yağışları yağıştan üç ay sonra olmaktadır. Bölgenin jeolojik ve hidrojeolojik durumu gözönüne alındığında Beşkonak yağışlarının yüksek korelasyon vermesinin havza karakteristiklerinin benzerliğinden dolayı olduğu düşünülebilir.

Bağımlı değişken olarak Homa akımları, bağımsız değişken olarak ta Beyşehir seviye değerleri alındığında Homa akımlarına en büyük etkinin analize ilk adımda giren Beyşehir( $i+1$ ), ( $r=0.327$ ) ikinci

**Çizelge 3.15. Beyşehir gölü su seviyesi ile Köprüçay ve Manavgat havzaları yağış ve akımları arasındaki çoklu korelasyon katsayıları**

Adım	Değişken	Gecikme zamanı	Çoklu Kor.Kats.
1	Aydinkent Yağ.	2 ay	0,645
2	Beyşehir "	4 "	0,730
3	Aydinkent "	1 "	0,808
4	Akseki "	6 "	0,856
5	Beşkonak "	3 "	0,877
6	" "	1 "	0,891
7	Akseki "	8 "	0,904
8	Beşkonak "	5 "	0,913
9	Akseki "	7 "	0,917
10	Beşkonak "	2 "	0,920

**Bağımlı Değişken : Hama akımları**

Çizelge 3.15. (devam ediyor)

Adım	Değişken	Gecikme zamanı	Coklu Kor.Kats.
1	Beskonak Yağ.	1 ay	0.693
2	" "	3 "	0.800
3	" "	5 "	0.839
4	Aydinkent "	2 "	0.865
5	" "	1 "	0.880
6	Akseki "	6 "	0.894
7	Beyşehir "	4 "	0.897
8	Akseki "	8 "	0.900
9	Beskonak "	2 "	0.903
10	Akseki "	2 "	0.905

Bağımlı Değişken : Beskonak akımları

adımda giren Beyşehir(i+4) ( $r=0.592$ ), üçüncü adımda giren Beyşehir(i+9) ( $r=0.629$ ), dördüncü adımda Beyşehir(i+12) ( $0.639$ ) ve beşinci adımda Beyşehir(i+7) ( $0.650$ ) tarafından yapılmaktadır. Korelasyon katsayılarının düşük olması Beyşehir seviyelerinin Homa akımlarına etkisinin düşük olduğunu göstermektedir. Seviyelerin 9 ve 12 ay zaman farkı ile analizlere katılması periyodisiteden kaynaklanmış olabileceğiinden gözönüne alınmamaktadır. Eğer kanal akımı şeklinde Beyşehir'den Manavgat nehrine doğru bir akım varsa geçiş zamanının bu kadar uzun olmaması gerekiirdi.

Bağımlı değişken olarak Beşkonak akımları ve bağımsız değişken olarak Aydinkel, Akseki, Beyşehir, Seydişehir ve Beşkonak yağışları 0-8 ay kaydırılarak alındığında akım değerleri en büyük etki analizlere ilk adımda giren Beşkonak Yağış(i+1)  $r=0.692$  lik, ikinci adımda giren Beşkonak Yağış(i+3),  $r=0.799$  luk, üçüncü adımda Beşkonak Yağış(i+7)  $r=0.838$ , dördüncü adımda Aydinkel(i+2)  $r=0.864$  ve beşinci adımda ise Aydinkel(i+1),  $r=0.879$ 'luk bir çoklu korelasyon katsayısı ile olmaktadır.

Buna göre Köprüçay-Beşkonak yeraltısu sistemi Manavgat havzasının ait olduğu yeraltısu akım sisteminden farklı görülmektedir. Ancak, değişken olarak salt yağışların yanı yüzey drenaj alanı ile ilgili etkenin alındığı göz ardı edilmemelidir. Oysa, karstik ortamlarda yüzey drenaj alanı ile yeraltı beslenme alanının çakışmadığı bilinmektedir.

Bağımlı değişken olarak Beşkonak akımları ve bağımsız değişken

olarak Homa akımları ile Beyşehir gölü seviye değerleri alındığında Beşkonak(i) değerleri ile ilk adımda Homa(i+1)  $r=0.915$ , ikinci adımda Homa(i+3)  $r=0.934$ , üçüncü adımda Homa(i+7)  $r=0.938$ , dördüncü adımda Homa(i+4)  $r=0.940$ , ve beşinci adımda Homa(i+8)  $r=0.940$ ' lik bir korelasyon katsayısı yaratarak analizlere girmiştir. Bu durum Homa akımları ile Beşkonak akımları arasında doğrudan bir ilişkiden çok, havza karakteristiklerinin benzerliğinden doğmaktadır. Ayrıca, elde edilen bu sonuçlardan Beyşehir seviyelerinin Beşkonak akımları üzerinde herhangi bir etkiye sahip olmadıkları görülmektedir.

Yukarıda yağış-akın ve seviye arasında ilişkilerden söz edilirken yerel dolaşım, yani büyük karstik kanal dolaşımına uygun hızlı boru akımları anlaşılmalıdır.

Beyşehir yağışları ile seviye arasındaki ilişkinin derecesini belirlemek amacıyla bir dizi korelasyon analizi yapılmıştır. Normal yağış ile seviye arasında 10 ay zaman farklı çoklu korelasyon analiz sonuçları Çizelge 3. 16' da verilmiştir.  $r=0.23$  gibi düşük bir korelasyonun bulunması yağış gözlemlerinin kayıt yöntemi ile seviyelerin kayıt yönteminin farklı karakterde sayı dizilerini oluşturmalarından dolayı olabilir. Yağışın birikimli olarak alınarak tekrarlanan analizler sonucunda korelasyon katsayısının arttığı görülmüştür (Çizelge 3.17). Birikimli yağışların büyük rakamlar oluşturmaması korelasyonun her adımda daha da yükselmesini sağlar. Bu durumu önlemek amacıyla birikimli yağışların logaritmaları alınarak analizler tekrarlanmıştır (Çizelge 3.18).

Cizelge 3.16. Normal yağış dikkate alındığında elde edilen r katsayıları

ADIM 1	GIREN DEGISKEN NUMARASI..... 6	COKLU KORELASYON KATSAYISI..... .2342673
ADIM 2	GIREN DEGISKEN NUMARASI..... 5	COKLU KORELASYON KATSAYISI..... .292765
ADIM 3	GIREN DEGISKEN NUMARASI..... 4	COKLU KORELASYON KATSAYISI..... .3216967
ADIM 4	GIREN DEGISKEN NUMARASI..... 7	COKLU KORELASYON KATSAYISI..... .3433945
ADIM 5	GIREN DEGISKEN NUMARASI..... 12	COKLU KORELASYON KATSAYISI..... .3697141
ADIM 6	GIREN DEGISKEN NUMARASI..... 11	COKLU KORELASYON KATSAYISI..... .3850719
ADIM 7	GIREN DEGISKEN NUMARASI..... 3	COKLU KORELASYON KATSAYISI..... .3989175
ADIM 8	GIREN DEGISKEN NUMARASI..... 8	COKLU KORELASYON KATSAYISI..... .4150767
ADIM 9	GIREN DEGISKEN NUMARASI..... 10	COKLU KORELASYON KATSAYISI..... .4255005
ADIM 10	GIREN DEGISKEN NUMARASI..... 2	COKLU KORELASYON KATSAYISI..... .4336554
ADIM 11	GIREN DEGISKEN NUMARASI..... 9	COKLU KORELASYON KATSAYISI..... .4441965

Cizelge 3.17. Birkimli yağışlar dikkate alındığında bulunan r katsayıları

ADIM 1	GIREN DEGISKEN NUMARASI..... 2	COKLU KORELASYON KATSAYISI..... .4522099
ADIM 2	GIREN DEGISKEN NUMARASI..... 12	COKLU KORELASYON KATSAYISI..... .6174865
ADIM 3	GIREN DEGISKEN NUMARASI..... 8	COKLU KORELASYON KATSAYISI..... .6305791
ADIM 4	GIREN DEGISKEN NUMARASI..... 3	COKLU KORELASYON KATSAYISI..... .6316685
ADIM 5	GIREN DEGISKEN NUMARASI..... 7	COKLU KORELASYON KATSAYISI..... .6324202
ADIM 6	GIREN DEGISKEN NUMARASI..... 6	COKLU KORELASYON KATSAYISI..... .6325352
ADIM 7	GIREN DEGISKEN NUMARASI..... 4	COKLU KORELASYON KATSAYISI..... .632626
ADIM 8	GIREN DEGISKEN NUMARASI..... 11	COKLU KORELASYON KATSAYISI..... .6327168
ADIM 9	GIREN DEGISKEN NUMARASI..... 5	COKLU KORELASYON KATSAYISI..... .632803
ADIM 10	GIREN DEGISKEN NUMARASI..... 9	COKLU KORELASYON KATSAYISI..... .6328033
ADIM 11	GIREN DEGISKEN NUMARASI..... 10	COKLU KORELASYON KATSAYISI..... .6328033

Cizelge 3.18. Birikimli yağışların logaritmaları dikkate alındığında bulunan r katsayıları

ADIM 1	GIREN DEGISKEN NUMARASI..... 2	COKLU KORELASYON KATSAYISI..... .5442417
ADIM 2	GIREN DEGISKEN NUMARASI..... 8	COKLU KORELASYON KATSAYISI..... .5438661
ADIM 3	GIREN DEGISKEN NUMARASI..... 3	COKLU KORELASYON KATSAYISI..... .5669851
ADIM 4	GIREN DEGISKEN NUMARASI..... 4	COKLU KORELASYON KATSAYISI..... .5673043
ADIM 5	GIREN DEGISKEN NUMARASI..... 7	COKLU KORELASYON KATSAYISI..... .5677314
ADIM 6	GIREN DEGISKEN NUMARASI..... 10	COKLU KORELASYON KATSAYISI..... .5680146
ADIM 7	GIREN DEGISKEN NUMARASI..... 12	COKLU KORELASYON KATSAYISI..... .5685213
ADIM 8	GIREN DEGISKEN NUMARASI..... 11	COKLU KORELASYON KATSAYISI..... .5687579
ADIM 9	GIREN DEGISKEN NUMARASI..... 9	COKLU KORELASYON KATSAYISI..... .5689555
ADIM 10	GIREN DEGISKEN NUMARASI..... 6	COKLU KORELASYON KATSAYISI..... .5689575
ADIM 11	GIREN DEGISKEN NUMARASI..... 5	COKLU KORELASYON KATSAYISI..... .5689576

Yağışın normal dağılıma uyduğu gözönüne alınarak ayrıca birikimli yağışlar sabit bir sayıya bölünmüştür (göl alanı,  $730,5 \text{ km}^2$ ) ve analizler yeniden yapılmıştır (Cizelge 3.19). Sonuçta korelasyon katsayısının en yüksek değerine ( $r=0,54$ ) birikimli yağışların logaritmalarının dikkate alındığında ulaştığı saptanmıştır.

Cizelge 3.19. Birikimli yağışların sabit bir sayı ile bölünerek analizlere sokulması durumunda r katsayıları

ADIM 1	GIREN DEGISKEN NUMARASI..... 2	COKLU KORELASYON KATSAYISI..... .45221
ADIM 2	GIREN DEGISKEN NUMARASI..... 12	COKLU KORELASYON KATSAYISI..... .6174269
ADIM 3	GIREN DEGISKEN NUMARASI..... 8	COKLU KORELASYON KATSAYISI..... .6305316
ADIM 4	GIREN DEGISKEN NUMARASI..... 3	COKLU KORELASYON KATSAYISI..... .6316217
ADIM 5	GIREN DEGISKEN NUMARASI..... 7	COKLU KORELASYON KATSAYISI..... .6323806
ADIM 6	GIREN DEGISKEN NUMARASI..... 6	COKLU KORELASYON KATSAYISI..... .6324894
ADIM 7	GIREN DEGISKEN NUMARASI..... 4	COKLU KORELASYON KATSAYISI..... .6325806
ADIM 8	GIREN DEGISKEN NUMARASI..... 5	COKLU KORELASYON KATSAYISI..... .6326717
ADIM 9	GIREN DEGISKEN NUMARASI..... 11	COKLU KORELASYON KATSAYISI..... .6327567
ADIM 10	GIREN DEGISKEN NUMARASI..... 9	COKLU KORELASYON KATSAYISI..... .6327586
ADIM 11	GIREN DEGISKEN NUMARASI..... 10	COKLU KORELASYON KATSAYISI..... .6327586

Analizler Beyşehir kanalının çalıştığı dönem (Aralık-Haziran) ve çalışmadığı dönem (Temmuz-Kasım) için ayrı ayrı yapıldığında da korelasyon katsayısının düşük olduğu görülmüştür (Cizelge 3.20).

Cizelge 3.20. Regülatörün çalıştığı ve çalışmadığı dönemler için  
yapılan korelasyon analizler sonuçları

1	GIREN DEGISKEN NUMARASI.....	6	4	COKLU KORELASYON KATSAYISI.....	.1089329	.2658149
2	GIREN DEGISKEN NUMARASI.....	4	5	COKLU KORELASYON KATSAYISI.....	.1504715	.3377792
3	GIREN DEGISKEN NUMARASI.....	5	3	COKLU KORELASYON KATSAYISI.....	.1772213	.4121328
4	GIREN DEGISKEN NUMARASI.....	7	6	COKLU KORELASYON KATSAYISI.....	.1994421	.4754417
5	GIREN DEGISKEN NUMARASI.....	8	2	COKLU KORELASYON KATSAYISI.....	.2116996	.5116175
6	BIREN DEGISKEN NUMARASI.....	2	9	COKLU KORELASYON KATSAYISI.....	.2272954	.5410931
7	GIREN DEGISKEN NUMARASI.....	3	7	COKLU KORELASYON KATSAYISI.....	.2357954	.5490342

Seviyenin Beysehir gölünden kaçakların oluşturduğu düşünülen dudenlerin ortalama kotu olan 1123 m nin altında bulunduğu dönem dikkate alındığında korelasyon katsayısı ilk adımda 0.57 e yükselmistir (Cizelge 3.21).

Cizelge 3.21. Göl seviyesinin 1123 m kotundan düşük olduğu dönem için seviye-yağış arasındaki ilişki

ADIM 1	SIREN DEGISKEN NUMARASI.....	4	COKLU KORELASYON KATSAYISI.....	.5728257
ADIM 2	GIREN DEGISKEN NUMARASI.....	5	COKLU KORELASYON KATSAYISI.....	.6497549
ADIM 3	GIREN DEGISKEN NUMARASI.....	3	COKLU KORELASYON KATSAYISI.....	.72101
ADIM 4	SIREN DEGISKEN NUMARASI.....	6	COKLU KORELASYON KATSAYISI.....	.7561874
ADIM 5	SIREN DEGISKEN NUMARASI.....	7	COKLU KORELASYON KATSAYISI.....	.7670037
ADIM 6	SIREN DEGISKEN NUMARASI.....	2	COKLU KORELASYON KATSAYISI.....	.7739828

### 3.3.3. Korelasyon Analizlerinin Yorumu

Manavgat akımlarına Aydinkent yağışlarının etkisi oldukça yüksek bulunmuştur. Yağışın havzaya düşmesinden sonraki ilk iki ay içinde bu etkinin maksimum olduğu görülmüştür. Beşşehir yağışlarının akıma olan etkisi ancak 4 ay sonra görülmektedir. İki istasyonun temsil ettiği havzaların fizyografik-meteorolojik karakteristikleri dikkate alındığında bu ilişkinin varlığı gözardı edilebilir.

Köprücay akımlarına Beşkonak yağışları, yağıştan sonraki ilk üç ay içinde etki etmektedir. Homa akımları ile Beşkonak akımları arasında havza karakteristiklerinin benzerliğinden gelen yüksek bir korelasyonun bulunması iki alt sistemin benzer bir mekanizma ile çalıştığını göstermektedir. Bunun yanı sıra bu ilişki dolayısıyla Aydıkent yağışlarının yüksek etkisini gösteren korelasyon sonuçları dikkate alınmamalıdır.

### 3.4. Beyşehir Gölü Su Bütçesinin Hesaplanması

Beyşehir su bütçesi hesaplamları sonucunda, varsa, kaçak miktarlarından yola çıkarak komşu havzalarla olan ilişki sayısal olarak belirlenebilecektir. Bu amaç için yapılan su bütçesi hesaplamları, istatistiksel analiz sonuçlarının denetlenmesini de sağlayacaktır.

#### 3.4.1. Genel Su Bütçesi Eşitliği

Gölle doğrudan düşen yağışlar, drenaj alanından gelen yüzey ve yüzeyaltı akışı ve komşu havzalarдан gelen yeraltısu katkısı göl seviyesinde yükselmelere neden olurken, gölü tahliye eden akarsularla taşınan sular, gölden buharlaşan ve göl çevresindeki düdenlerle kaçan sular ise seviyede düşüşe neden olmaktadır.

Kütlenin korunumu yasasına uygun olarak, belirli bir zaman içinde

gölü besleyen su miktarı ile gölden çıkan su miktarı arasındaki fark gölde meydana gelen su hacmi değişimine eşit olmalıdır. Göle giren su miktarı, gölden çıkan su miktarından fazla ise seviyede, dolayısıyla depolanan su miktarında yükselme, aksi halde düşme gözlenecektir. Buna göre bir göl için genel su bütçesi eşitliği,

$$Pg + Ph - B - Q = DV$$

şeklinde ifade edilebilir. Burada,

Pg : Göl alanına düşen yağış, m<sup>3</sup>

Ph : Havzaya düşen yağışla oluşan yüzey ve yüzeyaltı akışı ile göle giren su, m<sup>3</sup>

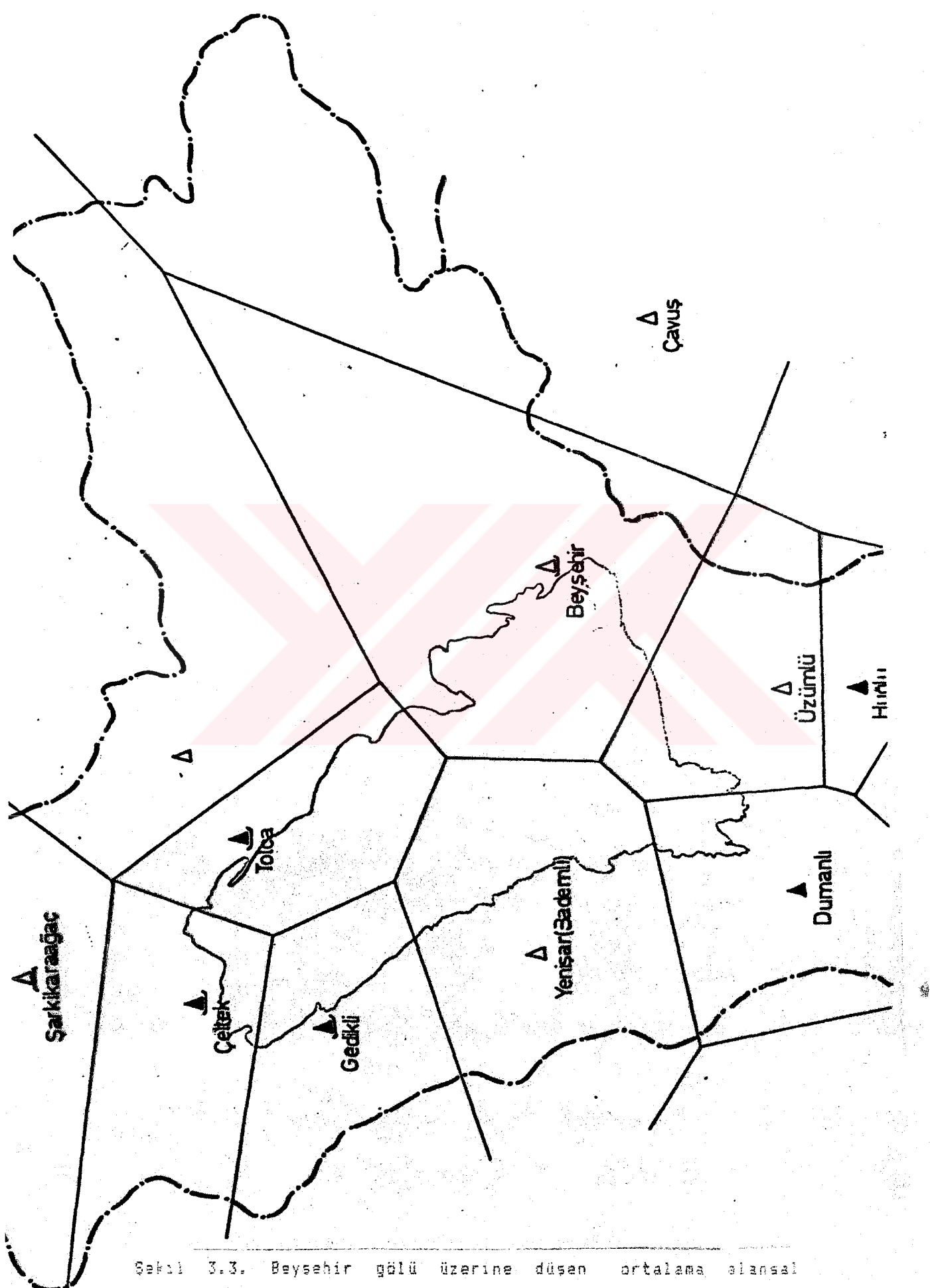
Q : Gölden çıkan su miktarı (regülatör çıkışı), m<sup>3</sup>

B : Göl alanından meydana gelen buharlaşma, m<sup>3</sup>

DV : Göl depolama hacmindeki değişim, m<sup>3</sup> dir.

### 3.4.1.a. Göl Alanına Düşen Yağış Miktarının Hesaplanması

Beyşehir gölü çevresinde yer alan yağış istasyonlarının etki ağırlıkları bulunarak göl alanına düşen ortalama yağış hesaplanmıştır (Şekil 3.3). İstasyonların yağış ve etki ağırlıkları Çizelge 3.22'de verilmiştir.



Şekil 3.3. Beyşehir gölü üzerinde düşen ortalama yıllık yağışın bulunması için çizilen yağış haritası

yayısının bulunması için çizilen yağış haritası

Cizelge 3.22. Beyşehir gölü havzasında yer alan yağış istasyonlarına ait ortalama yağış ve etki değerleri

İstasyon adı	ort.yağış	Etki ağırlığı
Üzümlü	722.23	0.05460054
Beyşehir	468.00	0.22659022
Dumanlı	1279.80	0.01801802
Sedikli	556.80	0.14032214
Celtek	424.70	0.00218400
Y.Bademli	810.42	0.27418327
Tolca	468.22	0.28210028

3.4.1.b. Drenaj Alanına Düşen Yağışla Yüzey ve Yüzeyaltı Akışı  
ile Göle Giren Su Miktarı

Beyşehir gölü havzasında yer alan 12 adet yağış istasyonunun etki ağırlıkları bulunarak havzaya düşen ortalama alansal yağış bulunmuştur.

Bulunan yağıştan, havzadan (gerçek) buharlaşma terieme yoluyla kaybolan miktar çıkarılarak, göle yüzey ve yüzeyaltı akısı gelecek su miktarı bulunmuştur. Gerçek buharlaşma terieme Thorntwaite ile bulunan ve bulunan değerler güneşlenme süresi

ve enleme bağlı

$$\text{DÜZELTME} = 1,0 + 0,0004 * L \cdot \cos(2 \cdot (G+10) / \text{Gyil}) \cdot 0,29 \tan(2 \cdot (1/360))$$

esitliği ile verilen katsayı ile düzelttilerek kullanılmıştır.

Burada,

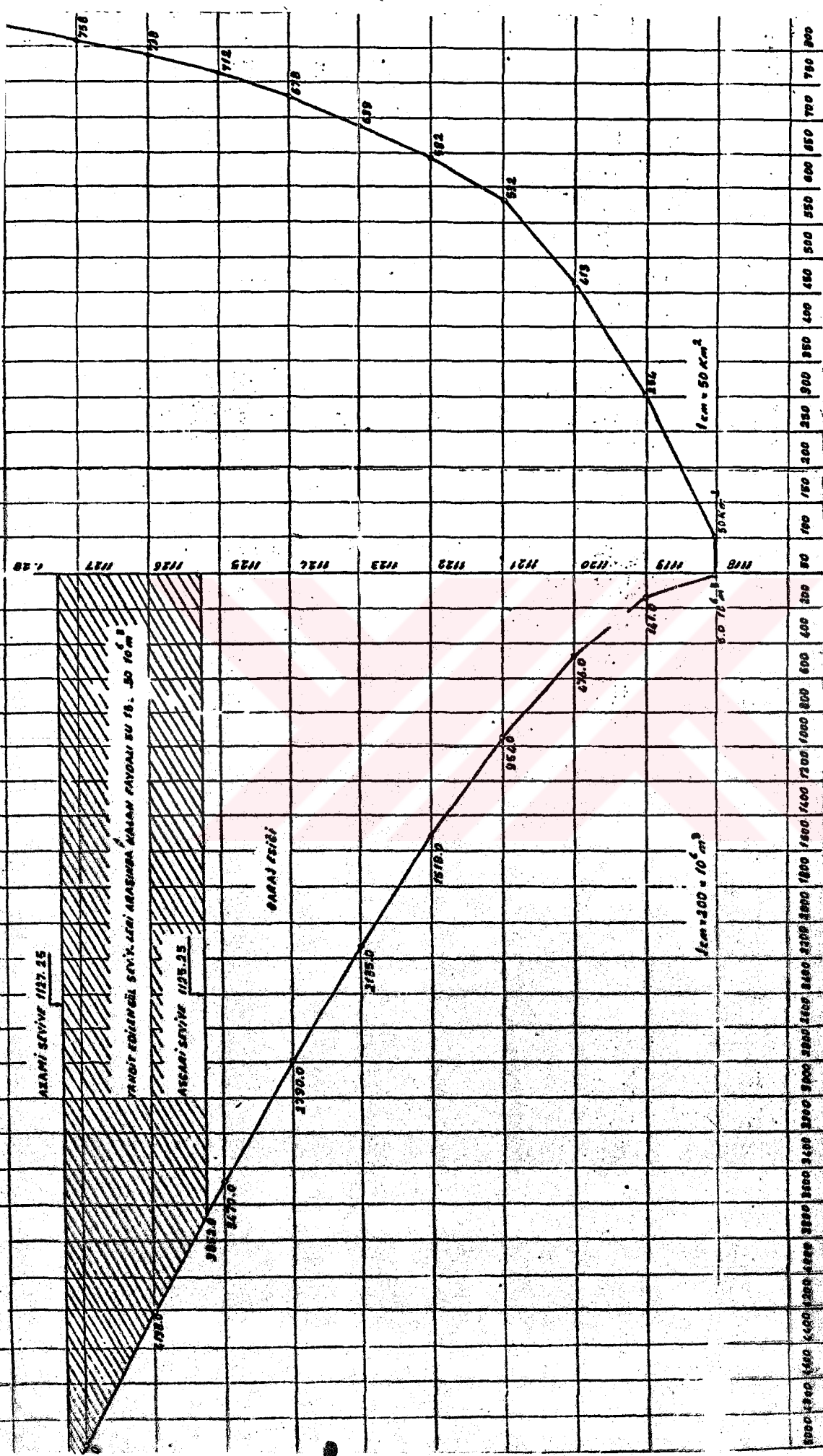
G : Yıl içindeki gün numarası

Gyil: Yıl içindeki gün sayısı

L : İstasyonun bulunduğu paralel

### 3.4.i.c. Göl Alanından Oluşan Buharlaşmanın Hesaplanması

Beyşehir göl alanının oldukça büyük olması gölden buharlaşma yolu ile çok miktarda (maksimum 1983 yılında  $710.6 \times 10^6 \text{ m}^3$  - minimum 1960 yılında  $480.7 \times 10^6 \text{ m}^3$ ) su kaybına neden olmaktadır. Şekil 3.4'de verilen Seviye-Alan-Hacim grafına göre 1125.00 m seviyesine karşılık gölün alanı  $712 \text{ km}^2$  dir. Bölgede buharlaşma gözlemi yapan 5 adet meteoroloji istasyonu bulunmaktadır. İstasyonlarda gözlemler Class A tavası ile yapılmaktadır. Gözlemler Beyşehir, Tolca, Gedikli, Çeltek ve Kurucuova istasyonlarında yapılmaktadır. Gözlem süresinin çok kısa olması nedeni ile Kurucuova istasyonuna ait değerler gölden buharlaşma hesaplamalarında kullanılmamıştır.



Sekil 3.4. Beysehir gölü için hazırlanan seviye-Alan-Hacim eğrisi (O.S.I. 1984'den)

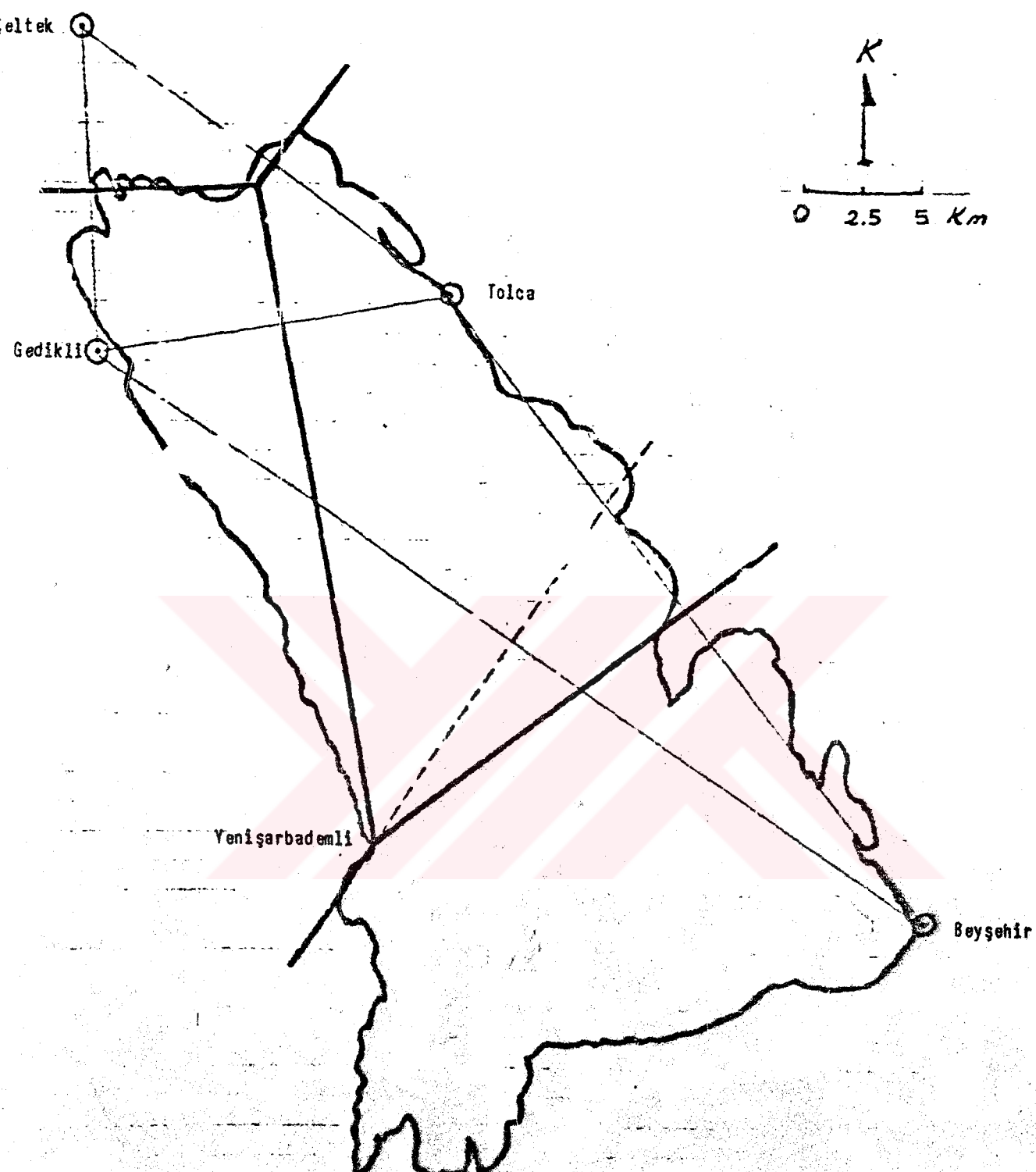
Ortalama bir buharlaşma değeri bulmak amacıyla poligon yöntemi uygulanmıştır (Şekil 3.5).

İstasyonların ağırlık değerleri Çizelge 3.23' te verilmiştir.

**Çizelge 3.23. Beyşehir gölü havzasında yer alan buharlaşma ölçüm istasyonlarının ortalama buharlaşma ve etki ağırlıkları**

İstasyon adı	Etki ağırlığı
Beyşehir	0.45993192
Sedikli	0.16735480
Celtek	0.00321130
Tolca	0.37150197

Etki ağırlıklarının 0.70 lik bir tava katsayısı, istasyon değerleri ile çarpımlarının topllanması ile ortalama alansal buharlaşma bulunmuştur.



Şekil 3.5. Beyşehir gölünden ortalamalı buharlaşmanın bulunması  
için hazırlanan poligon haritası

### 3.4.1.d. Regülatörden Bırakılan Su Miktarı

Regülatörden bırakılan su miktarı EtE idaresi tarafından işletilen akım gözlem istasyonunca kaydedilmektedir. Veriler E.I.E. akım yıllıklarından sağlanmıştır.

### 3.4.1.e. Gölün Depolama Hacmindeki Değişimin Hesaplanması

Göl su seviyesi değişimleri uzun yıllar boyunca sistemi bir şekilde ölçülmüştür. Hesaplamalarda 1611/A nolu istasyonun söz konusu ayın son günküne ait eşel seviyeleri kullanılmıştır. Veriler E.I.E. akım yıllıklarından sağlanmıştır. Gözlenen hacimdeki değişim, ilgilenilen ayın son gününde okunan eşel seviyelerine karşılık gelen hacim değerlerinden (Şekil 3.4) yola çıkılarak hesaplanmıştır (EK 3.5). Göle net giren su miktarı (EK 3.6) bütçe hesaplamalarına konu olan aydan bir önceki ayın son gününde gözlenen göl hacmine eklenerek gölde gözlenmesi beklenen hacim hesaplanmıştır. Hesaplanan hacim (EK 3.7.) ile gözlemlenen hacimler arasındaki fark ise gölden meydana gelen kaçak veya göle gelen ve ölçülmeyen / ölçülemeyen akımları vermektedir (EK 3.8.)

### 3.4.2. Bütçe Hesaplama Sonuçlarının Yorumu

Aylık bazda yapılan bütçe hesaplamaları sonucunda, Beyşehir gölünden yağışlı dönemlerde, göl seviyesinin belirli bir değere ulaşmasıyla beraber kaçakların olduğu saptanmıştır. 'Ek 3.10'da 1960-1982 yılları için aylık bazda hesaplanan bütçe sonuçları grafiksel olarak verilmiştir. Hesaplanan hacim ile gözlenen hacim arasındaki farkın pozitif olması durumu 'Kaçak' olarak değerlendirilmiştir.

Sekilden de görüldüğü gibi, kaçaklar yağışlı dönemin başladığı Aralık ayı ile kurak dönemin başladığı Mayıs sonu Haziran başı arasında olmaktadır. EK 3.9'da kaçak miktarları  $m^3/s$  olarak verilmiştir. Kaçak miktarı, yağışlı ve kurak dönemlere göre değişmektedir. Yağışlı dönemler olan 1967-1974, arası ile 1978-1982 yılları arasında seviyenin yükselmesi ile kaçak miktarları artmaktadır.

Buna karşın, kurak dönem boyunca hesaplanan hacim ile gözlenen hacim arasındaki negatif olması göle, ölçülmeyen akımları göstermektedir. Dolayısıyla kaçak miktarları ele alınırken ölçülmeyen bu akımların da gözönüne alınması gerekmektedir.

Gölden kaçakların, göl seviyesinin yaklaşık ve ortalama  $1123\text{ m}$  kotuna ulaşığı andan itibaren olduğu saptanmıştır.

Arazi çalışmaları sırasında gölün batı kıyısı boyunca gözlenen değişik büyüklükteki düdenler  $1123\text{ m}$  kotunun üzerinde bulunmaktadır. Bu sonuc, göl tabanından herhangi bir kaçığın

olmadığını göstermektedir.

Beyşehir gölünün batısında bulunan Anamas dağlarından boşalan kaynakların bu çalışm sırasında da çalışır durumda oldukları gözlenmiştir (Ağustos 1985). Söz konusu kaynaklar yüksek kotlarda ve küçümsenmeyecek debilerde ( $1-10 \text{ lt/s}$ ) boşalmaktadır. Bu kaynaklar herhangi bir kayda geçmemiştirlerdir.

Gölden meydana gelen kaçak miktarı maksimum değerine 1975 yılı Mart ayında  $28.7 \text{ m}^3/\text{s}$  ile ulaşmıştır. Aynı tarihte göl seviyesi esel değeri  $350 \text{ cm}$  yani göl kotu  $1125 \text{ m}$  olarak gözlenmiştir.

Gölden meydana gelen ortalama kaçak miktarı, bütçe hesaplamalarının son yılı olan 1982 yılı Aralık ayı hesaplanan haciminden aynı tarihte gözlenen hacim arası farktan yola çıkılarak  $5 \text{ m}^3/\text{s}$  olarak hesaplanmıştır.

Her yıl için ayrı ayrı yapılan hesaplamalarda elde edilen sonuçlarla uyusun bu miktar hata kaynakları ve oranları dikkate alınırsa önemsiز olacaktır.

#### 4. BÖLGESEL HIDROJEOLÖJİ

Oldukça ileri düzeydeki bir karstlaşmanın birlikte getirdiği yeraltısu sistemindeki karmaşıklık, çeşitli araştırmacılar tarafından yapılan karst hidrojeolojisi, karst hidrolojisi, su kimyası ve yeraltısu izleme çalışmaları ile aydınlatılmaya çalışılmıştır.

İnceleme alanının kapsadığı havzalar karstik özelliklerini açısından dünyanın sayılı ilgi çekici karst alanları arasındadır. Kuzeyde Beyşehir-Suğla göllerine, doğuda Akseki dolaylarına, batıda Kırkkavak fayına ve güneyde Akdenize kadar uzanan alanda jeolojik yapının çok karmaşık olması sorunun çözümünde ayrı bir zorluk yaratmaktadır.

Paleozoyik'ten Kuvaterner'e kadar değişen karbonatlı ve kırıntılı kayac birimlerinin geniş alansal yayılıma sahip olduğu inceleme alanında bölgesel tektonığın karmaşık olması, havzaların hemen her yerinde karstlaşmanın gelişmesinde egemen etkenlerden olan, geçirimsiz ve geçirimsiz birimler arasındaki dokanak ilişkilerinin aydınlatılmasında güçlükler neden olmaktadır. Bütün bu güçlüklerin yenilip tüm çalışma alanı genelinde karstlaşmanın ve karst yeraltısu akım sistemleri arasındaki ilişkilerin açıklanması uzun süreli çok sayıda araştırmanın yapılmasını gerektirmiştir. Bölgenin karst hidrojeolojisini aydınlatan bir çalışma Günay (1981) tarafından yapılmıştır. Burada bu çalışmanın ana hatları özetlenmiştir. Ayrıntılı fazla bilgi sözü geçen çalışmadan sağlanabilir.

#### 4.1. Hidrojeoloji Birimleri

inceleme alanında yeraltısuyu taşıyan litolojik birimler kireçtaşı ve konglomeralardır. Bunların dışındaki birimler litolojik özelliklerine göre yarı geçirimsiz veya geçirimsizdirler. Alüvyon alanlar inceleme alanında genelde sınırlı olup yeraltısuyu sistemi üzerindeki etkileri pek önemli değildir (EK 4.1).

##### 4.1.1. Geçirimli Birimler

inceleme alanında geçirimsiz birimler karbonatlı kayaçlardan ve karbonat cimentolu kırıntılı kayaçlardan oluşur. Paleozoyik ve Mesozoyik yaşı karbonatlı kayaçlar geçirimsiz birimlerin büyük bir çoğunluğunu oluşturur. Alansal olarak en geniş yayılıma sahip birim olan Jura-Kretase kireçtaşısı-dolomit birimi inceleme alanındaki ana karst akiferidir.

Tersiyer yaşı konglomeralar inceleme alanında bulunan ikincil önem sahip geçirimsiz birimidir. Bileşenlerinin yanısına bağlayıcı malzemesinin de karbonatlı olması konglomera biriminin inceleme alanında karstik bir birim olarak ortaya çıkışını sağlamıştır.

İnceleme alanındaki karst kaynaklarının hemen hemen tümü Jura-Kretase yaşı karstik kireçtaşlarından boşalırlar. Tersiyer konglomeralarının boşalımını sağlayan karst kaynakları, Köprücay havzasındaki 'Olukköprü kaynakları' dışında, kireçtaşlı karst kaynaklarına göre daha küçük verdilerle boşalırlar.

Günay'a (1981) göre, Jura-Kretase yaşı sürekli karbonat serisi inceleme alanındaki en büyük karst akiferini oluşturmaktadır. Beyşehir-Sugla göllerinden Manavgat Irmağına kadar uzanan bu birimde ileri düzeydeki karstlaşma yeraltısu rezervuarı hacminin büyük olmasını sağlamış ve oluşan karst sistemi, birbirleriyle bağlantılı olan akarsu veya göl-alıcı düden-karst kaynağı ilişkisi olarak iki veya üç ayrı sistem oluşturmaktadır.

Inceleme alanında yer alan akifer birimlerinin hidrojeolojik-hidrolojik özellikleri ile ilgili ayrıntılı bilgiler Günay'da (1981) bulunabilir. Bu çalışmasında araştırıcı, konglomera akiferi ile kireçtaşlı akiferindeki yeraltısu hızlarının aynı olduğunu, karst yeraltısunun her iki birimde de yaygın dolaşım sisteminden ayrı olarak yerel dolaşım sistemine de uydugunu ileri sürmüştür.

#### 4.1.2. Geçirimsiz Birimler

Inceleme alanında yer alan geçirimsiz birimler Paleozoyik ve Mesozoyik yaşı otokton şeyl, kumtaşı birimi, Tersiyer yaşı kumtaşı, seyi, çamurtaşlı birimi ve Tersiyer yaşı fliş birimleridir. Inceleme alanının genişliği ve birimlerde buna bağlı olarak fasiyes değişimleri dikkate alınırsa geçirimsiz birimlerin litolojik yapının uygun olduğu yerlerde düşük verimli yerel akiferler oluşturmaları anlaşılabılır. Bölgesel öneme sahip olmayan bu birimler karstik birimlerle dokanakta oldukları yerlerde geçirimsiz sınır gibi davranışırlar (Eroskay vd., 1986).

#### 4.2. Karst Yeraltısıyu İzleme Çalışmaları

İnceleme alanında karst yeraltısıyu dolaşım sisteminin aydınlatılması amacı ile değişik tarihlerde çeşitli araştırmacı ve kuruluşlar tarafından karst yeraltısıyu izleme çalışmaları yapılmıştır. Bu çalışmalar "Boya deneyleri" ile "Çevresel izotop çalışmaları" gibi, iki yöntemin kullanıldığı çalışmalar olarak iki grupta toplanabilirler.

İnceleme alanında önemli bir yer kaplayan ve karst sistemi sorununun kilit noktası durumunda olan Manavgat nehri havzasında bölgesel karst yeraltısıyu akım sistemlerinin belirlenmesi ve sistemin aydınlatılması amacıyla çok sayıda boyalı deney yapılmıştır. Bu deneylerin sonucunda, her ne kadar boyalı enjeksiyonundan uzun süre sonra çeşitli kaynaklarda boyalı gözlenmişse de Beyşehir gölü ile Manavgat ve Köprüçay havzaları arasında hidrojeolojik ilişkinin varlığı kesin olarak saptanamamıştır. Bununla beraber Günay vd., (1976) tarafından yapılan Eynif-Beyçayırlı deneyi, bölgede iki ayrı karst yeraltısıyu sisteminin varlığını ortaya koymustur. Bölgede yeraltısuyunun akım hızının belirlenmesi amacıyla Günay ve Altuğ (1979) tarafından yapılan Değirmenlik deneyi sonucunda araştırmacılar yeraltısıyu hızının 500 m/gün olduğunu belirlemiştir. Boya deneyleri konusunda ayrıntılı bilgi Günay'dan (1981) sağlanabilir.

Su kaynaklarının geliştirilmesi ve planlanması çalışmalarında önemli yer tutan yeraltısu akış sistemlerinin ayırtlanması amci ile suların çevresel izotop içeriklerine dayalı çalışmalar çok yararlı bilgiler sağlamaktadır. İnceleme alanında bu konuda da çok sayıda çalışma yapılmıştır. Belirli su noktalarından alınan su örneklerinin çevresel izotop içerikleri yardımıyla su noktalarının beslenme bölgeleri ve karst yeraltısu akış sistemleri arasındaki ilişkiler açıklığa kavuşturulmuştur. Bu çalışmaların, elde edilen verilerin değerlendirilmesi sonucunda Manavgat nehrine boşalan Dumanlı yeraltınehrinin beslenme alanının 800 m.-1300 m. kotları arasında kalan bölge olduğu belirlenmiştir. Dumanlı yeraltınehrini ile yine Manavgat nehrini üzerinde kurulan Oymapınar barajı mansab kaynaklarının çevresel izotop içeriklerinin birbirlerinden tamamen farklı olduğu ortaya konmuştur. Kaynaklardan alınan su örneklerinin trityum içeriklerinin değerlendirilmesi sonucunda ise Dumanlı yeraltınehrinin bağlı bulunduğu karst yeraltısu sisteminin yenilenme süresinin 15 yıl, mansab kaynaklarının bağlı bulunduğu sistemin ise 25 yıllık bir yenilenme süresine sahip olduğu belirlenmiştir (Yurtsever, 1979 : Eros-kay vd., den, 1986).

#### 4.3. Su Kimyası Çalışmaları

İnceleme alanındaki önemli su noktalarından, arazi çalışmaları sırasında alınan su örneklerinde Ca<sup>++</sup>, Mg<sup>++</sup>, Na<sup>+</sup>, K<sup>+</sup>, Cl<sup>-</sup>, SO<sub>4</sub><sup>2-</sup>, CO<sub>3</sub><sup>2-</sup>, HCO<sub>3</sub><sup>-</sup> içerikleri analiz edilmiş ve ayrıca arazide ve laboratuvara

pH ve EC değerleri ölçülmüştür. Eser element analizi gerekli görülmediğinden yapılmamıştır.

Bu bölümde arazi çalışmaları sırasında alınan 47 örneğin su kimyası analiz sonuçlarıyla beraber daha önce bölgede çeşitli amaçlarla yapılmış 23 örneğin su kimyası analizleri sonuçları değerlendirilmiştir. İnceleme alanında yer alan kaynak, kuyu, akarsu ve gölün EC değerleri 300-700 mikromho/cm arasında değişmektedir. Genelde bu tür düşük EC değerleri iyi kaliteli kaynak sularına özgüdür. Suların sıcaklıkları ise 10-20 °C arasında değişmektedir. Kimi sularda bu değer 5-8 °C 'ye kadar düşebilmektedir.

Bölgemin genelinde başlıca iyon içeriklerinin ortalamaları ve standart sapmaları Çizelge 4.1'de verilmiştir. Buna göre Ca<sup>++</sup>, HCO<sub>3</sub><sup>-</sup>, Cl<sup>-</sup> ve SO<sub>4</sub><sup>2-</sup> iyonlarında dağılım geniş bir aralikta olmakta ve suların bu iyonlar bakımından içerikleri değişmektedir.

Suların Fransız Sertlik Derecesine göre 15 ile 40 F° arasında bulunan değerleri ile sert olmayan sular sınıfına dahil oldukları belirlenmiştir.

#### 4.3.1. Diyagramsal yorumlamalar

Su kimyası analiz sonuçlarını, sularındaki hakim anion ve katyonları dikkate alarak değerlendirmek amacıyla çizilen Piper

diyagramlarına göre bölgedeki sular  $\text{Ca}^{++}$  -  $\text{HCO}_3^-$  türü sulardır. Suların bazlarında %  $\text{SO}_4^2-$  içeriği diğer örneklerle oranla daha yüksek bulunmuştur (Ek 4.2). Bu durum yerel jips oluşuklarından ileri gelmektedir. Sulama alanındaki suların - = + + tümünde hakim anyonlar  $\text{HCO}_3^- + \text{CO}_3^{2-}$ , hakim katyonlar ise  $\text{Ca}^{++}$  ve  $\text{Mg}^{++}$  dir. Buna göre bölgedeki suların tümü Kalsiyum-Magnezyum/Bikarbonat-Karbonatlı sulardır.

Ek 4.2 'de, verilen ve kimyasal analiz değerlerinin üçgen diyagamlarda gösterdikleri dağılımlardan anyonlar için hazırlanan diyagram incelendiğinde suların  $(\text{HCO}_3^- + \text{CO}_3^{2-})$  iyonunun etkin olduğu görülmüştür. Katyonlar için hazırlanan diyagramda ise etkin iyon ( $\text{Ca}^{++}$ ) dir. Böylece bölgedeki karst akiferi sularının genellikle kalsiyumlu ve bikarbonatlı sular olduğu ortaya konmaktadır.

Ek 4.3 'te verilen graflarda anyon ve katyon değerleri yarı logaritmik kağıda işlenmiş ve oluşturulan karst kaynak grupları önce kendi içlerinde sonra da gruplar arasında denetirilmiştir.- Buna göre, 3,5,8,9,10 nolu örnekler; 21,22,26,29,31 nolu örnekler; 2,16,17,19,20 nolu örnekler; 13,14,15,32,39,41 nolu örnekler; 37,34,4,7 nolu örnekler; 27, 44, 35,11,43 nolu örnekler 18,24,30,33,47 nolu örnekler ve 1,25,38,40,42 nolu örnekler kendi aralarında birer grup oluşturmaktadır.

İnceleme alanındaki suların kimyasal analiz değerleri dairesel diyagramlar halinde çizilerek Ek 4.4 'te verilen su kimyası haritasına işlenmiştir.

#### 4.3.2. Doygunluk Yorumlamaları

Ortamin karakteri konusunda bilgi veren yeraltısuyunun belirli minerallere olan doygunluğu bu çalışmada, WATEQB bilgisayar programı (Arikan, 1985) ile hesaplanarak yorumlanmıştır.

Anhidrit doygunluğu: Sulfat tuzlarının hakim olduğu ortamlarda genelde zeolit oluşumları ile berabar ve bazı sedimanter kayaçlarda görülen anhidrit mineralinin doygunluğu örneklerde -2.0 ile 3.0 arasında bir değer almaktadır. Bu, yeraltısuyunun anhidrit mineraline doygun olmadığını, dolayısıyle ortamın anhidritçe fakir olduğunu göstermektedir.

Aragonit doygunluğu: İnceleme alanının genişliği, litolojinin yanısıra özellikle fasıyes değişimlerinin görüldüğü ortam olan bölge sularında aragonit doygunluğu 0.1 ile 0.4 arasında değişmektedir. Aragonit bir  $\text{CaCO}_3$  mineralidir. Kalsit doygunluğu aragonit doygunluğu ile hemen hemen eşit değerler vermektedir.

Kalsite göre daha az bulunan dolomit doygunluğu geniş bir aralıkta değerler sunmaktadır. Beyşehir gölünün güneybatısından alınan örneklerde bu değer daha büyütür. Bunun nedeni büyük bir olasılıkla Dipyoraz dağlarının büyük bir kısmını oluşturan dolomitlerin çözünmesidir.

Jips doygunluğu: Kireç taşı boşluklarında kristalleşmiş olarak veya kil mineralleri içinde tek tek kristaller halinde veya masif kütle şeklinde bulunan jipsin doygunluğu bütün örneklerde -1.5 ile -2.5 arasında değişmektedir. Ortam jips açısından fakirdir.

Manyezit doygunluğu: Bir MgCO<sub>3</sub> minerali olan manyezit genellikle sedimanter kayaçlar içinde bulunan serpentinlerle beraber görülür ve sıcak suların etkisiyle çözünür. Ortamda serpentinlerin bulunması manyezit doygunluğunun önemli miktarda yüksek olmasını sağlamaktadır (0,1).

İkincil öneme sahip diğer minerallerinin doygunluk dereceleri Çizelge 4.2 'de sunulmuştur.

**Çizelge 4.2. Suların ikincil öneme sahip minerallere doygunluğu**

Mineral	Doygunluk
Anhidrit	-2.937
Aragonit	0.113
Brusit	-5.305
Kalsit	0.265
Dolomit	0.284
Jips	-2.587
Halit	-9.091
Manyezit	-0.312

Yukarıdaki hidrojeokimyasal yorumlamalara göre, ortanda karbonatlı kayaçlar birincil, ofiyolit ise ikincil derecede suların kimyasına etki etmektedir.

Beyşehir Gölü suyunun yaşılı ólması göl suyunun uzun sürelerde yenilendiğini göstermektedir. Bu durum gölden kaçak miktarının ónemsiz olduğunu gösteren diğer bir kanıt sayılabilir.

## 5. SONUCLAR, TARTISMALAR VE ÖNERILER

### 5.1. Sonuçlar

Beyşehir gölü havzasının komşu havza akımlarına olan etkilerinin araştırılması amacı ile yapılan çalışmalarдан aşağıdaki sonuçlar elde edilmiştir.

Beyşehir gölü su seviyeleri ile komşu havzalardan Manavgat - Homa ve Köprüçay - Beşkonak akımları arasında basit ve çoklu korelasyon - regresyon analizleri sonucunda, Beyşehir gölü su seviyeleri ile Homa akımları arasında  $r = 0.62$  lik bir korelasyonun, Beşkonak akımları ile de  $r = 0.59$  luk bir korelasyonun bulunduğu saptanmıştır. Görüldüğü gibi korelasyon katsayılarının düşük olması, göl seviyesinin Homa ve Beşkonak akımlarına etki etmediğini göstermektedir.

Korelasyon analizleri, birden çok bağımsız değişken kullanılarak tekrarlanmış ve buna göre akımlar üzerinde en önemli etkinin havzada bulunan yağış istasyonlarından geldiği saptanmış, Beyşehir gölü su seviyelerinin çoklu korelasyona ancak 5. veya 6. bağımsız değişken olarak girdiği görülmüştür. Bu analizlere bağlı olarak Beyşehir gölünün havza akımları üzerindeki etkisinin zayıf olduğu söylenebilir.

Beyşehir gölü su bütçesi hesaplamaları ve sonuçların yorumunda kullanılan hidrolojik elemanlardan, yağış - akım ve buharlaşma verileri düzenlenmiş, homojenleştirilmiş eksik veriler tamamlanmıştır. Yapılan olasılık dağılım analizleri, yağış verilerinin Normal Dağılım Fonksiyonuna, akım verilerinin ise Log

- Normal Dağılım Fonksiyonuna uygun dağıldığını göstermiştir. Dağılım fonksiyonlarına uygunluk (ki kare) testi ile incelenmiş ve belirli büyülüklüklerin yinelenme süreleri bu teste dayanarak bulunmuştur.

Korelasyon analizlerinden, ayrıca, Beyşehir gölü su seviyesi ile Beyşehir yağışları arasındaki ilişkinin kanaldan bırakılan su gibi bazı faktörleğden etkilendiği görülmüştür. Bunun üzerine korelasyon analizleri, kanalın çalıştığı ve çalışmadiği dönemler için tekrarlanmıştır. Yağış ile seviyelerin farklı ilkelere dayanan yöntemlerle ölçülmesi nedeni ile meydana gelebilecek hataların arındırılması amacıyla birikimli yağışlar ile seviye arasında bir dizi korelasyon analizi yapılmış ve yağış ile seviye arasında 0.7 lik bir ilişkinin varlığı saptanmıştır.

Bu arada Manavgat - Homa ve Köprüçay - Başkonak akımları sırasıyla bağımlı değişken ve ilişkin havzadaki yağış istasyonlarında kaydedilen yağışların 0 - 10 ay zaman farklı dizileri bağımsız değişken olarak analiz edildiğinde Manavgat-Homa akımlarının Aydinkent yağışlarından yağışın olduğu dönemde 1 ay sonra etkilendiği bulunmuştur.

Korelasyon analizleri sonuçlarının hidrolojik anımlarının netleştirilebilmesi ve Beyşehir gölü seviyelerinin komşu havza akımlarına etkilerinin hidrolojik - hidrogeolojik açıdan yorumlanması amacıyla Beyşehir gölünün su bütçesi hesaplamaları yapılmıştır. Dikkat edilen nokta, bütçe denklemi bileşenlerinin olduğunda hassas bir şekilde elde edilmesi ve hesaplamalarda, hatalardan mümkün olduğunda arındırılarak kullanılması olmuştur.

Basit bütçe denklemi ile aylık bazda yapılan bütçe hesaplamalarından 23 yıllık bir ortalama bulmak amacıyla başlama noktası olarak 1959 yılı aralık ayının son gününde gözlenen göl seviyesi alınmıştır. Göle ait seviye - hacim - kot eğrisinden bu seviyeye karşılık gelen hacim okunmuştur. Bütçe hesaplamalarında 1960 yılı Ocak ayında göle giren (çıkan) net su miktarı bulunan hacme eklenmiştir. Bulunan miktar hesaplanan hacimdir. 1960 yılı boyunca her ay için hesaplama bundan sonra gözlenen seviyeler değil bir ay önce hesaplanan hacim dikkate alınarak yapılmıştır. Öte yandan, gözlenen hacim, göl seviye kayıtlarından alınan ve ayın son günündeki seviyeyi veren değere, seviye - hacim eğrisinde karşılık gelen hacim olarak belirlenmiştir. Gözlenen hacim ile hesaplanan hacim arasındaki fark kaçak veya beslenme miktarını verecektir. 1960 yılının ilk ayında hesaplanan hacim, 1982 yılının son ayında hesaplanan hacimden çıkarılarak yıl sayısına bölünmüştür ve aynı işlem gözlenen hacim için yapılarak ikisi arasındaki fark bulunmuştur. Bulunan rakam kurak dönemlerde, kaçağın minimum olduğu, beslenmenin görüldüğü dönemleri de içermektedir. Buna göre 23 yıllık bir dönemde ortalama kaçak miktarı  $5 \text{ m}^3/\text{s}$  olarak bulunmuştur.

Her yıl için ayrı ayrı hesaplamaları tekrarlayarak aylık bazda kaçak veya beslenmeler bulunmuştur. Bu hesaplamara göre gölden 1975 yılı Mart ayında  $28.7 \text{ m}^3/\text{s}$  lik bir kaçak oluşmuştur. Gölden meydana gelen kaçak ile seviye arasındaki ilişkinin araştırılması sonucunda kaçakların seviyeye bağlı olduğunu göstermiştir. Göl seviyesi yükseldikçe, kaçak miktarı artmaktadır. Ancak göl

seviyesinin 1123 m kotundan düşük olduğu durumlarda kaçak gözlenmemekte, aslında yıl boyunca meydana gelen beslenme açığa çıkmaktadır. Göl seviyesinin 1123 m kotundan düşük olmasıyla kaçakların kesilmesi, kaçak zonunun 1123 m kotunda ve daha yüksek kotlarda bulunduğu göstermektedir. Gölün batı, güney ve kuzeybatısında bu kot civarında görülen düdenler olasılıkla bu kaçağınoluştuğu tek kaynaktır.

Göl seviyesinin 1123 m kotundan düşük olduğu dönemler yıl içinde kurak geçen dönemlerdir ve Haziran - Eylül ayları arasındaki dönemdir.

## 5.2. Tartışma

Hidrolojik parametrelerin rassal olmaları nedeniyle birbirleri arasındaki ilişkileri stokastik bir karakter taşır. Rassal değişkenler zaman ve uzayda önceden hangi olasılık dağılımına uyduğu bilinmeyen değişkenlerdir. Bağımsız bir değişken olan yağışın yeterli hassaslıkla ölçüldüğü şüphelidir. Bunun gibi akım ve buharlaşma parametrelerinin de içerdiği hata oranı azısanacak büyülükte değildir. Bu, özellikle Thornthwaite yöntemi ile gerçek buharlaşma - terlemenin saptanması sırasında kullanılan 100 mm. lik rezerv suyun varsayımlı dikkate alındığında daha da açık bir şekilde görülmektedir. Yorumlamalarda bu hataların ve hata kaynaklarının gözönünde bulundurulması gerekmektedir. Hata oranlarının minimize edilmesi için parametrelerin istatistiksel analizleri yapılmıştır.

Yapılan korelasyon analizleri sonuçlarını hidrolojik açıdan anlamlandırmak için bölgenin karst hidrojeolojisi ile beraber yorumlanmaları gerekmektedir. Korelasyon analizi sonuçları, model çalışmaları, izleme teknikleri ile yapılan çalışmalar ve su kimyası sonuçlarına uygun ve anlamlı yorumlar sağlayabilmektedir. İzleme çalışmaları havzalar arasında net ilişki vermemiş, bunun yanında izotop çalışmaları göl suyunun genç olmadığını göstermiştir. Öte yandan Dumanlı kaynağından alınan örneklerin izotop iceriklerine bakılarak, boşalan suyun uzun bir yolculuk yaptığı ileri sürülmüştür.

Eğer Beyşehir gölünden yüksek miktarda kaçak olsaydı; göl suyunun yaşılı olmaması gerekirdi. Öte yandan eğer ilişki varsa, Dumanlı kaynağının suyunun Beyşehir gölü suyundan da yaşılı olması gerekirdi. Buna uygun olarak Dumanlı kaynağının Manavgat havzasının batısındaki kapalı havzalardan ve Suyla gölünden beslendiği sonucuna varılmıştır (Yurtsever, 1979).

Korelasyon analizlerinden alınan sonuçlar Beyşehir gölü seviyelerinin komşu havza akımlarına etki etmediğini göstermektedir. Ancak bu sonuç, Beyşehir gölü - komşu havzalar arasında herhangi bir hidrojeolojik ilişkinin olmadığı anlamına gelmektedir. Karst akiferinin çok büyük olması, etkinin katedilen yol ve zamanda sönümlenmesini sağlamakta ve etki çıkış noktasında görülmektedir.

Öte yandan Beyşehir gölü su bütçesi hesaplamaları ortalama kaçak miktarının sanıldığı kadar önemli olmadığını göstermiştir. Olduğunda hassas olarak incelenen bütçe denklemi

elemanları ile yapılan hesaplamalardan elde edilen sonuçlarla beraber ele alınırsa, korelasyon analizleri, havzalar arasındaki hidrolojik ilişkinin de ancak su seviyesinin belli bir kotu aştiği andan itibaren önemli olabileceğini göstermektedir.

### 5.3. Öneriler

Bu çalışmada yapılan korelasyon analizleri ve su bütçesi hesaplamalarına ek olarak uygulanan ancak sonuç vermeyen BEMER modeli yeniden gözden geçirilmeli ve gereken yerlerde değişiklikler yapılarak uygulanmalıdır. Bu konuda halen sürmekte olan ve UNDP TUR/81/004 projesi kapsamında Dr. Alpaslan Arıkan tarafından yürütülen çalışmalar yol gösterici nitelikte olup Teknik Rapor şeklinde hazırlanacaktır. Modelin eksiklikleri ve öneriler konusunda fazla bilgi söz konusu kaynaktan elde edilebilir.

Beyşehir gölünden sulama amacı ile daha büyük oranlarda yararlanma durumunda göl seviyesinin 1123 m kotu üzerinde olduğu dönemlerde kaçak olayının başlayacağı ve seviye yükseldikçe kaçak miktarının artacağı gözönünde tutulmalıdır. Kaçakların meydana geldiği düdenlerin çok sayıda olması bir yana, tıkandıkları takdirde yeraltısu sisteminde değişiklik yapacaktır. Ancak irili ufaklı tüm düdenlerin belirlenebilmesi ve tıkama işlemlerinin yapılması hemen hemen olanaksızdır. Eğer seçim yapılarak tıkama gerçekleştirilecekse, elde edilecek yarar maliyeti karşılamayacaktır. Çünkü, kaçakların büyük bir kısmı, giriş ağzi tek nokta olmayan çok sayıda küçük düdenden meydana gelmektedir.

Bütçe hesaplamaları sonucunda bulunan ortalama 5 m / s lik kaçak miktarı aslında 23 yıllık kurak ve yağışlı dönemleri de kapsayan bir periyodun ortalamasıdır. Kurak dönemler içinde görünür hale gelen beslemelerin yağışlı dönemlerde arttığı ve bunun da ortalama kaçak miktarı içinde kapsandığı düşünülmektedir.

Kaçak miktarı hakkında doğrudan bilgi için aylık bütçe hesaplama sonuçları dikkate alınmalıdır.

Bölgesel karst yeraltısuyu sistemi dikkate alındığında, komşu havza akımlarına gelebilecek katkıların analizi için Beyşehir gölü-Sağla gölünün tek bir sistem olarak ele alınması gerekmektedir. Özellikle komşu havza akımlarına olan katının oransal olarak belirlenebilmesi için Sağla gölü su bütçesinin aynı hassasiyet içinde hesaplanması gerekmektedir.

Beyşehir gölü-komşu havza akımları etkileşiminin araştırıldığı bu çalışmanın kapsamı dışında tutulan hidrojeolojik ilişkilerin saptanması amacıyla uzaktan algılama tekniklerinin sağladığı olanaklılarından yararlanılmalı ve özellikle bölgenin "infrared" ve "thermal band"ları yorumlanmalıdır. Uzay fotoğraflarından çıkarılacak çizgisellik haritalarının daha önce yapılan izleme çalışmaları doğrultusunda yorumlanması olası hidrojeolojik ilişkinin varlığı konusunda önemli bilgiler sağlayabilir. Bu yorumlamalar ışığında yapılacak jeofizik çalışmaları, ilişkinin varlığını nisbeten kesinleştirecektir. Jeofizik çalışmaları, olası erime kanallarının konumu ve geometrisini belirleyebilecektir.

## 6. KAYNAKCA

Aksoy, S., 1966, Beyşehir Gölü Su Potansiyeli Hesabı, Beyşehir Manavgat İlişkisi ve Varılan Sonuçlar : D.S.I. Rapor Arşivi, Ankara

Altuğ, S., 1969, Batı Toroslarda Tektonik ile Karstlaşma Arasındaki İlgiye Bir Örnek: Manavgat- Oymapınar Baraj Yeri : T.J.K. Bült. 12,77-94, Ankara

Arikan, A., 1979a, Ege Havzalarında Yıllık Akımların Tahmin Modeli ve Dağılım Fonksiyonları: Birinci Ulusal Hidroloji Kongresi Tebliğleri, İ.T.Ü. İnşaat Fakültesi, İstanbul

Arikan, A., 1979, Hidrolojide Kullanılan Çarpık Karakterli Dağılım Fonksiyonları ve Bilgisayar Programları : III. DSİ Hidroloji Semineri, Antalya, DSİ Matbaası, Ankara

Arikan, A., 1984, Hidrolojide İstatistik Yöntemleri : Mühendislik Hidrolojisi Seminer Notları, EtEt Yayınları, Ankara

Arikan, A., 1985, WATEQB, A Computer Program for IBM PC to Calculate Chemical Equilibrium of Natural Waters: HÜ/UNDP Project (TUR/81/004) Technical Report no. 85/1, HÜ Karst Archives and Library, Ankara (unpublished).

Arikan, A., Ekmekci, M., 1985, A Multidimensional Approach to Rainfall-Streamflow Relationship in Manavgat River Basin, Turkey: Proc. of Int. Symp. on Karst Water Resources, (Editors: G. Günay, A.I. Johnson) IAHS Publ. No:161, pp.57-65, Ankara

Arikan, A., Bayari, S., Ekmekci, M., Varol, Z., 1986, WATEQB Bilgisayar Programıyla Doğal Suların Kimyasal Dengesinin Modellenmesi, Eşençay ve Beyşehir Gölü Havzaları Örneği (Özet): T.J.K. Kurultayı Bildiri Özeti, Ankara

Atalay, I., 1975, Tektonik Hareketlerin Sultan Dağlarının Jeomorfolojisine Olan Etkileri :T.J.K. Bult. C,19, S 1, Ankara

Aygen, T., 1967, Manavgat-Oymapinar Barajı ile Beyşehir-Suyla Gölü Manavgat Çayı Havzasının Jeolojik, Hidrojeolojik ve Karstik Etüdü : EİEİ Özel Arşivi, Ankara

Back, W., 1961, Calcium Carbonate Saturation in Groundwater from Routine Analysis: USGS Water Supply Paper 1535-D, US Government Printing Office, Washington, USA

Back, W., and Zoetl, J., 1975, Application of Geochemical Principles, Isotopic Methodology and Artificial Tracers in Karst Hydrology: Hydrogeology of Karst Terrains, IAH, Paris, France

Back,W., 1985, Geochemical Aspects of Karst Hydrology: Mission Report to UN-DTCD, Karst Water Resources Research Center Project, TUR/81/004, HU, Ankara

Bayarlı, S., 1986a, THORN, A Computer Program to Calculate Thornthwaite Budget: HÜ/UNDP Project (TUR/81/004), Technical Report no. 86/4 HÜ Karst Archives and Library, Ankara (unpublished)

Bering, D., 1971, The Development of the Neogene and Quaternary Intramountain Basin Within the Pisidic Lake District in S.Anatolia:

Bezes, C., 1976, Contribution à la modélisation des systèmes aquifères karstiques: C.E.R.G.A., Montpellier, France

Blumenthal, M., 1947, Seydişehir-Beyşehir hinterlandındaki Toros dağlarının jeolojisi: MTA yayını, seri D, No:2, Ankara

Brinkmann, R., 1976, Geology of Turkey : Elsevier Scientific Publ. Co., N.Y, USA

Çalışkan, H., 1974, Beyşehir gölü geliştirilmesi ve Beyşehir-Suğla-Apa kanalı islah projesi teklif raporu: DSİ, Konya

Cultu, L., Altunbilek, H. D., 1971, Statistical analysis of Manavgat River basin recharge characteristics: METU civil eng. dept., water operations lab., Technical publ. no: 2, Ankara

Dincer, T., Payne, B.R., 1971, An environmental isotope study of the South-Western Karst Region of Turkey: Journal of Hydrology, 14, 233-258

DSİ, 1974, Beyşehir Gölünün kritik durumu hakkında rapor, Konya

DSİ, 1984, Konya-Cumra Projesi II. Merhale geliştirilmesi Planlama raporu, Konya

Dumont, J.F., 1977, Karacahisar Kubbesi içinde (Isparta Bölgesi, Türkiye) yüzeylenen iki tip Paleozoyik taban ve bunların Orta Triyas'tan önce meydana gelen eski tip tektonik hatlarından ayrilmaları: M.T.A. Yayıni, No: 90, s. 74-78, Ankara

Dumont, J.F., 1976 (a), Suject de la These: A L'universite de Paris-Sud Centre d'Orsay

Dumont, J.F., 1976 (b), Isparta kıvrımı ve Antalya Yapılarının orijinini Torosların üst Kreatese tektojenezi ile oluşmuş yapısal düzeninin büyük bir dekroşman transtörk arızayla ikiye ayrılması varsayımlı: M.T.A. dergisi, No 86, s. 50-57, Ankara

Dumont, J.F., Monod, O., 1976, Dipoyraz dağ masifinin Triyaski karbonatlı serisi (Batı Toroslar, Türkiye): M.T.A. dergisi, No: 87, s. 26-38, Ankara

Dumont, J.F., Kerey, E., 1975 (a), Eğridir gölü Güneyinin (Isparta ili) temel jeolojik'étüdü: T.J.K. bult. 18, Ankara, 169-174 s.

Dumont, J.F., Keray, E., 1975 (b), Kırkkavak Fayı: Batı Toroslar ile Köprüçay baseninin sınırlarında Kuzey-Güney doğrultu atımlı fayı: T.J.K. bült. 18, Ankara

Eroskay, S.O. and Günay, G., 1980, Tecto-Genetic Classification and Hydrogeological Properties of the Karst Region in Turkey: Proceedings, International Seminar on Karst Hydrogeology, Oymapınar, DSt-UNDP Project Publ., DSt, Ankara, pp. 385.

Gutnic, M., 1970, Geologie du Taurus pisidien au nord d'Isparta (Turquie): Academie de Versailles Universite de Paris-Sud faculte des sciences d'Orsay, pp.130.

Gutnic, M., Monod, O., Poisson, A., Dumont, J., 1979, Geologie des Taurides occidentales (Turquie). Societe Geologique de France, 77, Rue Claude-Bernard (ve), Paris, pp. 109.

Güldalı, N., 1967, Akseki Polyesi, Torosların karstik bölgelerdeki dağlar arası ovaların oluşumu ve gelişimi, T.J.K. bült., cilt 19, s. 143-148, Ankara.

Güldalı, N., 1978, Toros Paleokarsti ve Seydişehir- Akseki boksit yatakları: Jeomorfoloji dergisi, sayı 7, s. 1-21, Ankara.

Güldalı, N., 1981, Suyla ovasıının karst hidrojeolojisi ve Suyla gölü sorunu: Jeomorfoloji dergisi, sayı 10, s. 33-57, Ankara.

Günay, G., Ataman, Y., Doğan, L., 1976, Oymapınar Projesi Aşağı Eynif boyalı deneyi raporu: DSİ Jeoteknik Hizmetler ve Yeraltısuları Dairesi Başkanlığı ve DSİ XIII. Bölge Md. Oymapınar Barajı kontrol amirliği yayını, 28 s.

Günay, G., and Karanjac, J. (Editors), 1978, Karst Hydrogeology, Symposium Proceedings. DSİ-UNDP Publ., 295 p.

Günay, G., Sipahi, H., 1979, Eğridir-Beyşehir gölleri ile Akdeniz arasındaki alanda yapılan karst hidrojeolojisi çalışmaları: Mühendislik Jeolojisi Simpozyumu, TJK yayını, 49-54.

Günay, G., (Editor), 1980, Karst Hydrogeology. Proceedings of Int. Symposium of Karst Hydrogeology-Oymapınar, Turkey, DSİ- UNDP Project Publ. 385 p.

Günay, G., Eroskay, S.O., 1981, Türkiye karstinin tektogenetik sınıflaması ve hidrojeoloji Özellikleri, 35. Türkiye Jeoloji Bilimsel ve Teknik Kurultayı, Bildiriler, Ankara.

Günay, G., Karanjac, J., 1980, Development of karst water resources of Turkey with emphasize on groundwater -A United Nations-Assisted Project. Natural Resources, 4,61-73, United Nations, N.Y., U.S.A.

Günay, G., 1981. Manavgat Havzası ve Yakın Dolayının Karst Hidrojeolojisi İncelemesi Hacettepe Üniv. Müh.Fak. Ankara (Doc.Tezii) Yayınlanmamış

Günay, G., 1985, Karst Groundwater Study in Manavgat River Basin Turkey. Int.Symp.on Karst Water Resources, Ankara, Turkey.

Günay, G., Johnson, A.I. (Editors), 1986, Karst Water Resources, Proceedings of Ankara Symposium, International Association of Hydrogeological Sciences Publ. No.161. Institute of Hydrology, Wallingford, Oxon, Ox10 8BB, UK.

Gürer, I., Arıkan, A., and Cultu, L., 1979, The Analysis of Hydrometeorological inputs of Beyşehir - Antalya Karst Area: Proceedings, Int. Seminar on Karst Hydrogeology, Oymapınar, Antalya, Turkey

Hem, J.D., 1959, Study and Interpretation of chemical characteristics of natural water: USGS Water Supply Paper no.1347, Second Edition, US Government Printing Office,

Herak, M., and Stringfield, V.T., 1972, Karst: Elsevier Publ. Co., pp.551.

Ketin, I., 1982, Türkiye Jeolojisine genel bir bakış: ITÜ yay. Sayı 1259, İstanbul, s.595.

Koçyiğit, A., 1981, Isparta bütümünde (Batı Toroslar) Toros karbonat platformunun evrimi. TJK bült., cilt 24, sayı 2, s. 15-23, Ankara

Köymen, R., 1970, Beyşehir lake hydrology: M.Sc Thesis, M.E.T.U. Faculty of Engineering, pp. 72

Marcaux, J., 1979, Antalya Yapılarının genel yapısı ve Tetisid Güney kenarı Paleogeografiyasındaki yeri: TJK bült. 22, s.1-5.

Martin, C., 1969, Akseki kuzeyindeki bir kısım Torosların stratigrafik ve tektonik incelemesi: MTA dergisi, No 72, Ankara, 158-176 s.

Matthess, G., 1982, The properties of groundwater, John Wiley and Sons, Inc., USA, 406 p.

Milanovic, P.T., 1981, Karst Hydrogeology, Water Resources Publ. p. 58-81, 433 p., USA

Monod, O., 1977, Recherches Géologiques dans le Taurus Occidental du Sud de Beyşehir (Turquie): These, L'Université de Paris Sud "Centre D'Orsay" Docteur es Sciences Orsay, 442 s.

Monod, O., 1978, Güzelsu-Akseki bölgesindeki Antalya Namları Üzerine açıklama (Orta Toroslar, Türkiye), Precisions upon the Antalya Nappes in the region of Güzelsu=Akseki (Western Taurus,Turkey): TJK bültn., 21,27-29.

OEXOCO, (Offshore Explaration Oil Company), 1976, Manavgat-I kuyu terk raporu: Petrol İşleri Gn. Md., ANTA, OXO 76,50

Özgül, N., 1971, Orta Torosların Kuzey kesiminin yapısal gelişiminde blok hareketlerinin önemi. TJK Bültn. 14(1), 85-101.

Özgül, N., 1976, Torosların bazı temel jeolojik Özellikleri: TJK Bülteni, c. 19, no. 1, s.65-78, Ankara

Özış, Ü., ve Keloglu, N., 1975, Pınar katkılı akarsuların çevirmen santrallerine derlenmesi: DSİ Teknik Bülteni no.31, s. 31-36, Ankara

Poisson, A., Poignont, A.F., 1974, Korkuteli bölgesindeki Miyosan transgresyonunun tabanı olan Karabayır (Antalya ili) formasyonunun yeni bir kırmızı alg türü: MTA derg. 82, 65-69.

Poisson, A., 1977, Recherches Géologiques dans les Taurus des occidentales (Turquie): These d'Etat Univ. Paris-Sud (Orsay), 795 s., (yayınlanmamış)

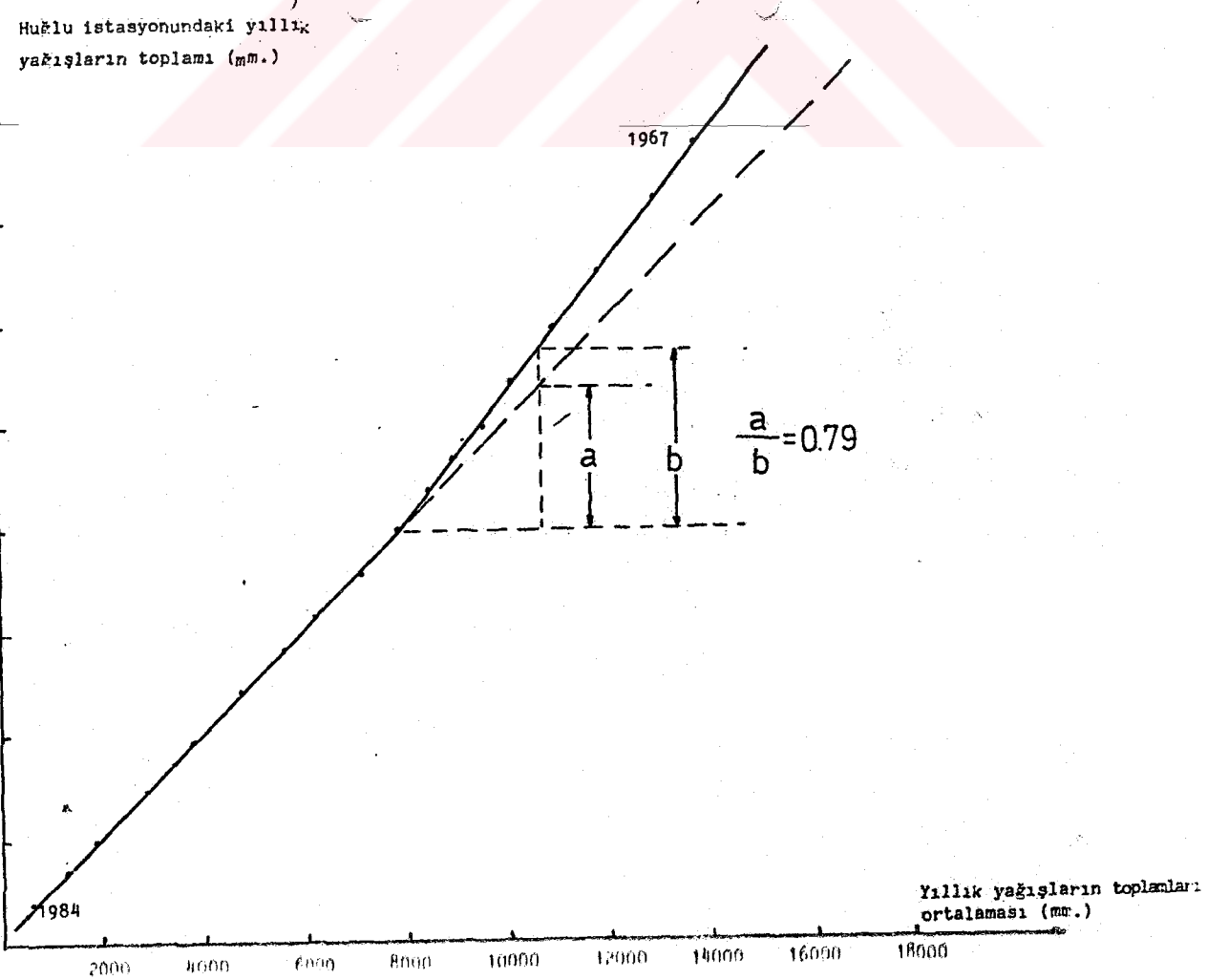
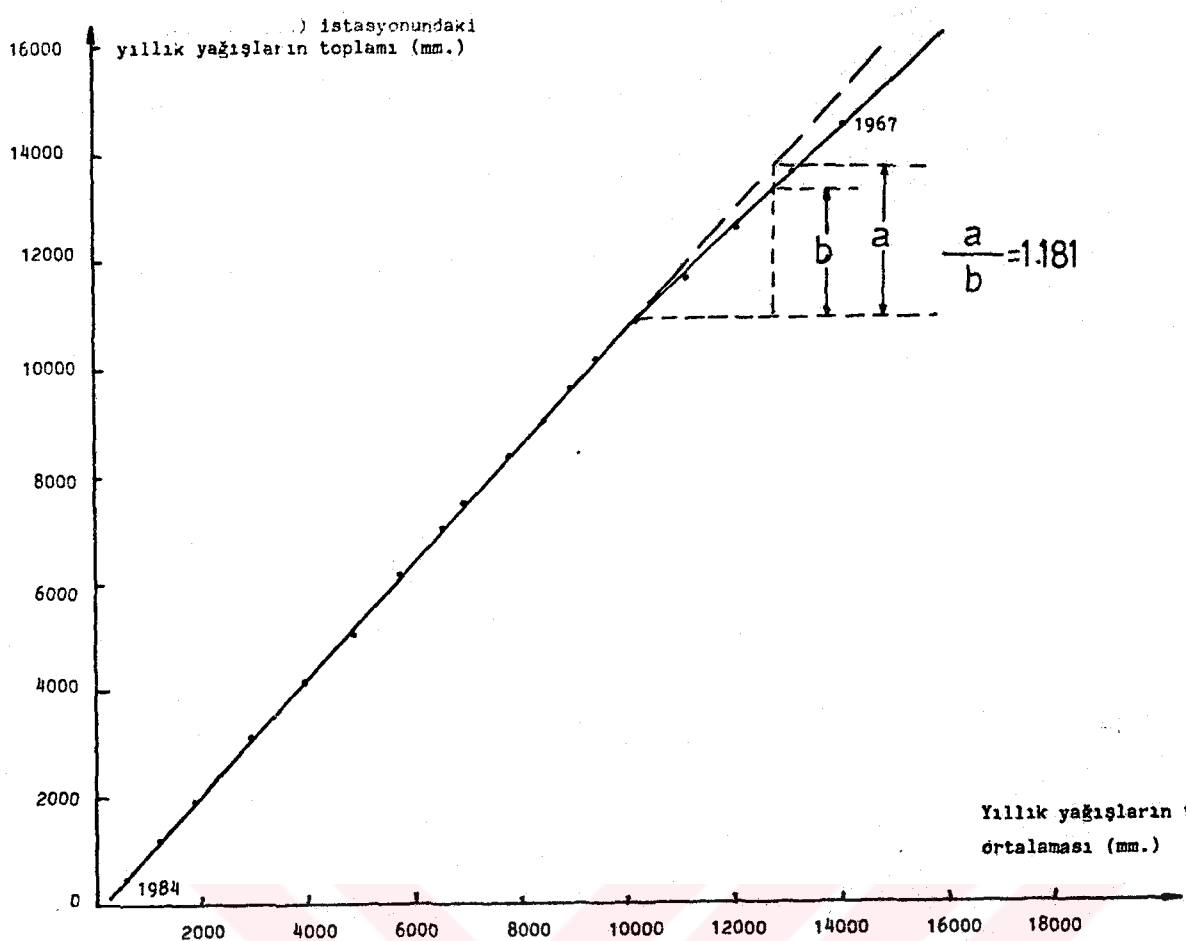
Sipahi, H., 1978, Batı Torosları Kapsayan karst hidrojeolojisi pilot projesi alanının jeoloji öm raporu: DSt-UNDP Projesi (TUR/77/015) yayını, № 31.

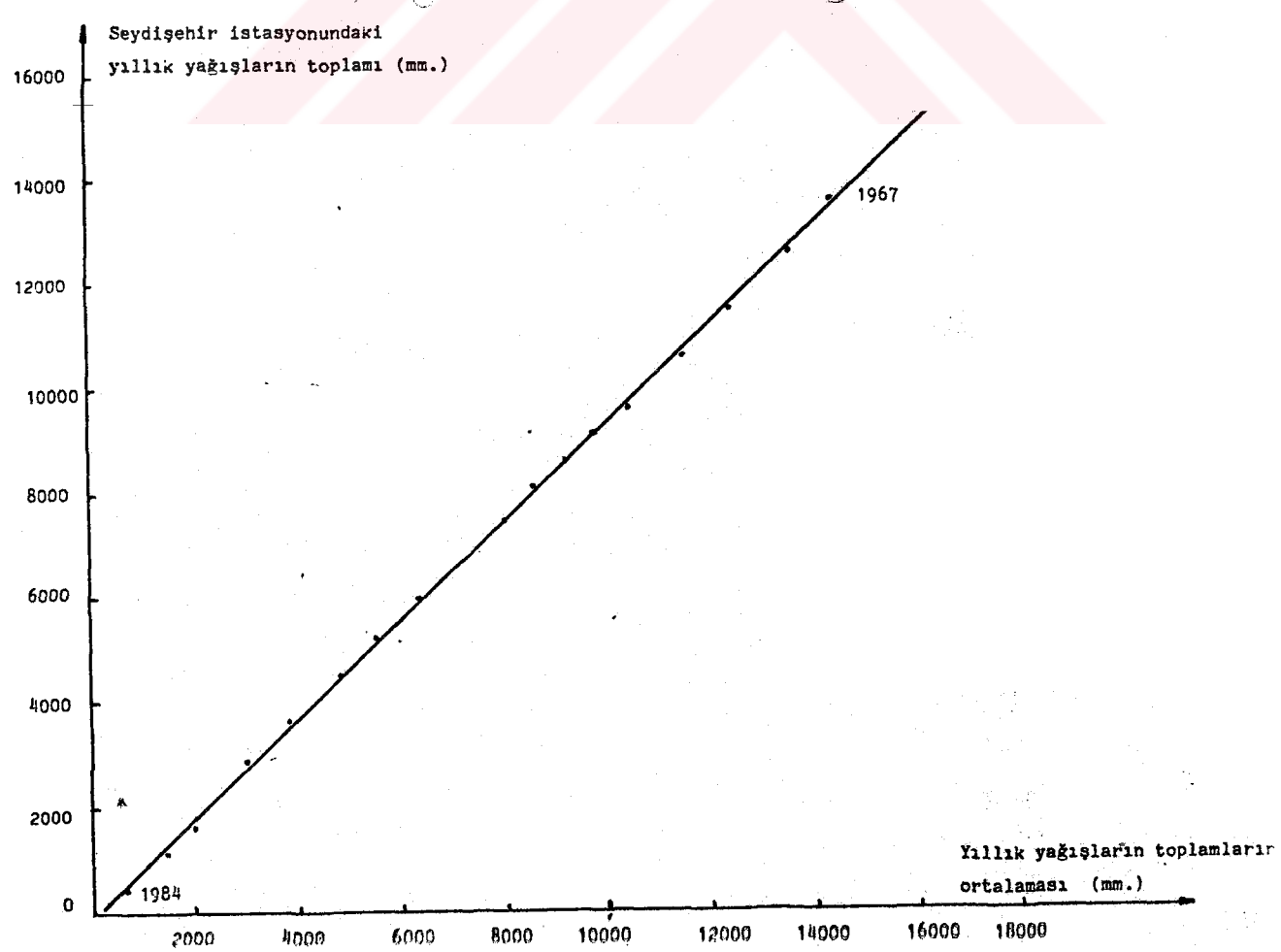
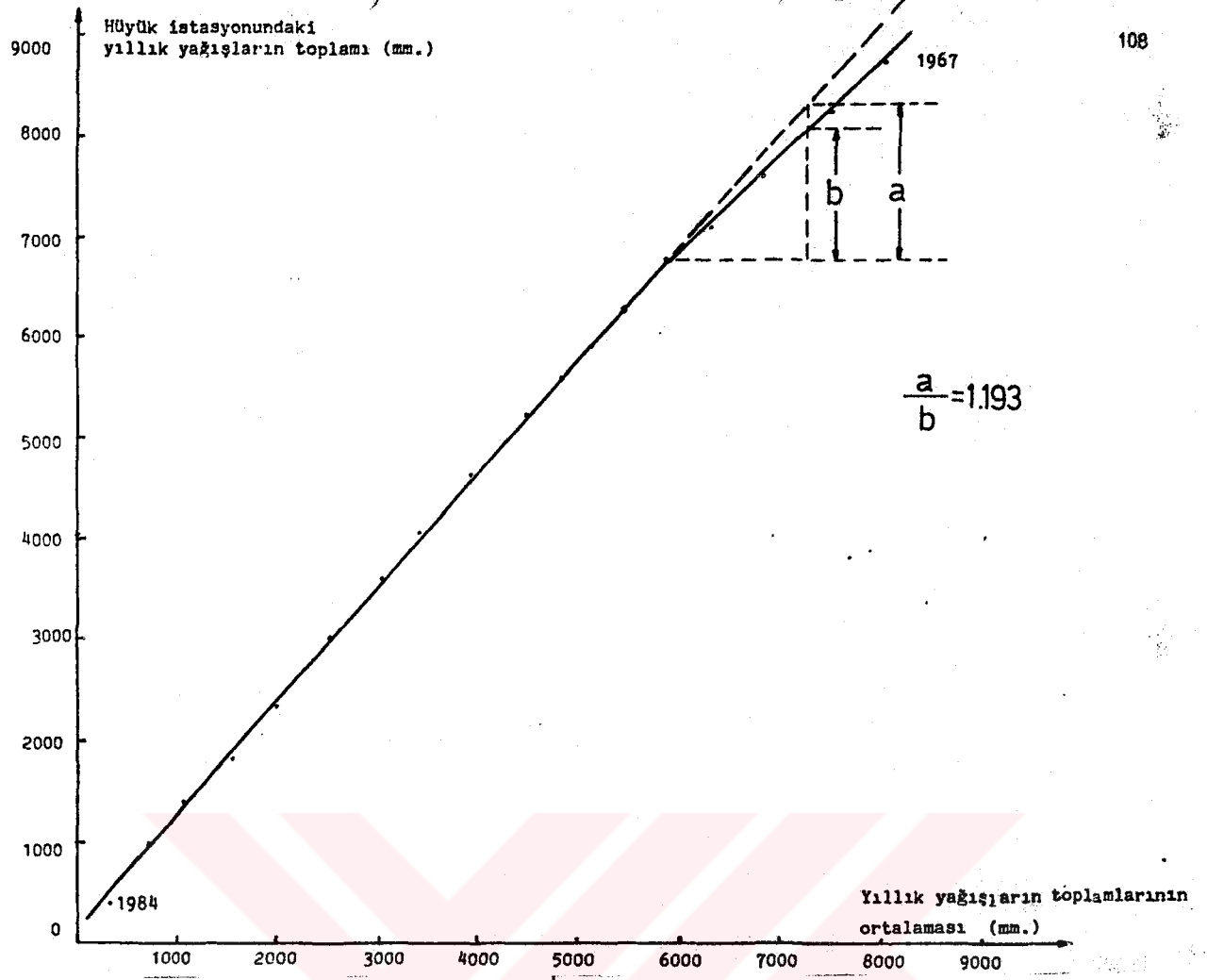
Türkenal, S., 1968, Toros Dağlarının Oymapınar (Roma) köyü ile Akseki dolayları arasında kalan kesiminin jeolojisi: EİE İdaresi Özel Arşivi, Ankara.

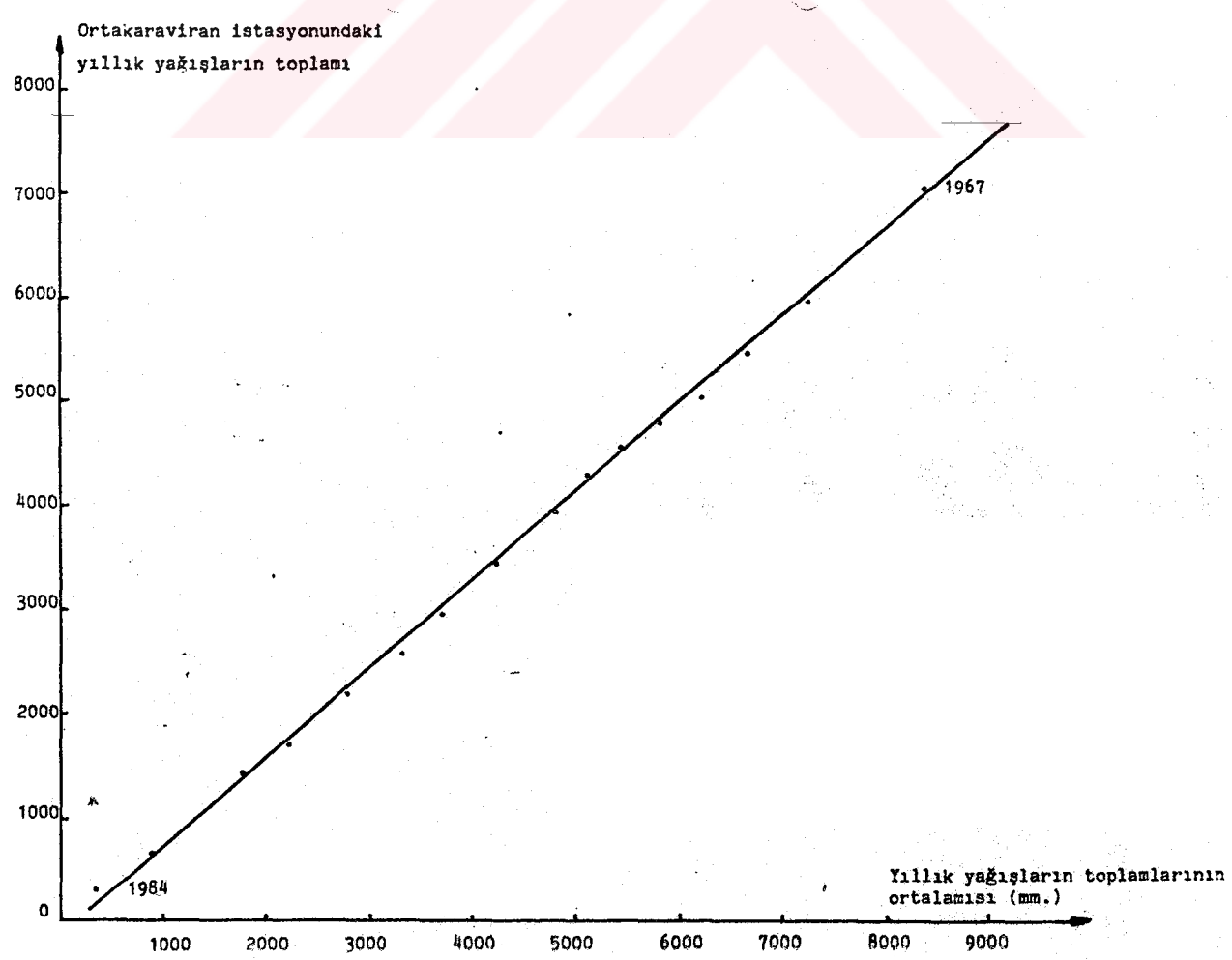
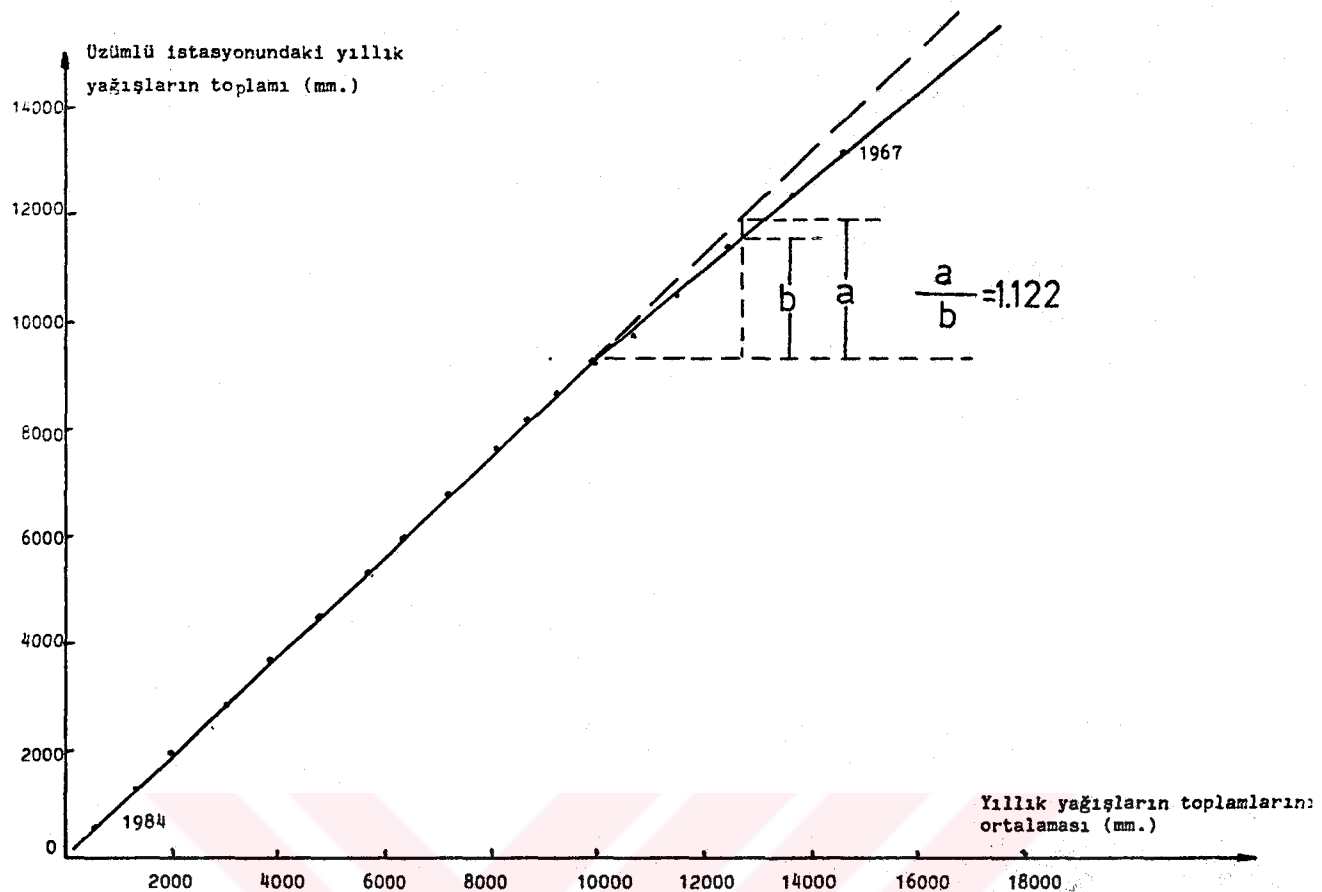
Yevjevich, V., 1981, Karst waters of Southern Turkey: Final Technical Report of DSt-UNDP project TUR/77/015, Ankara

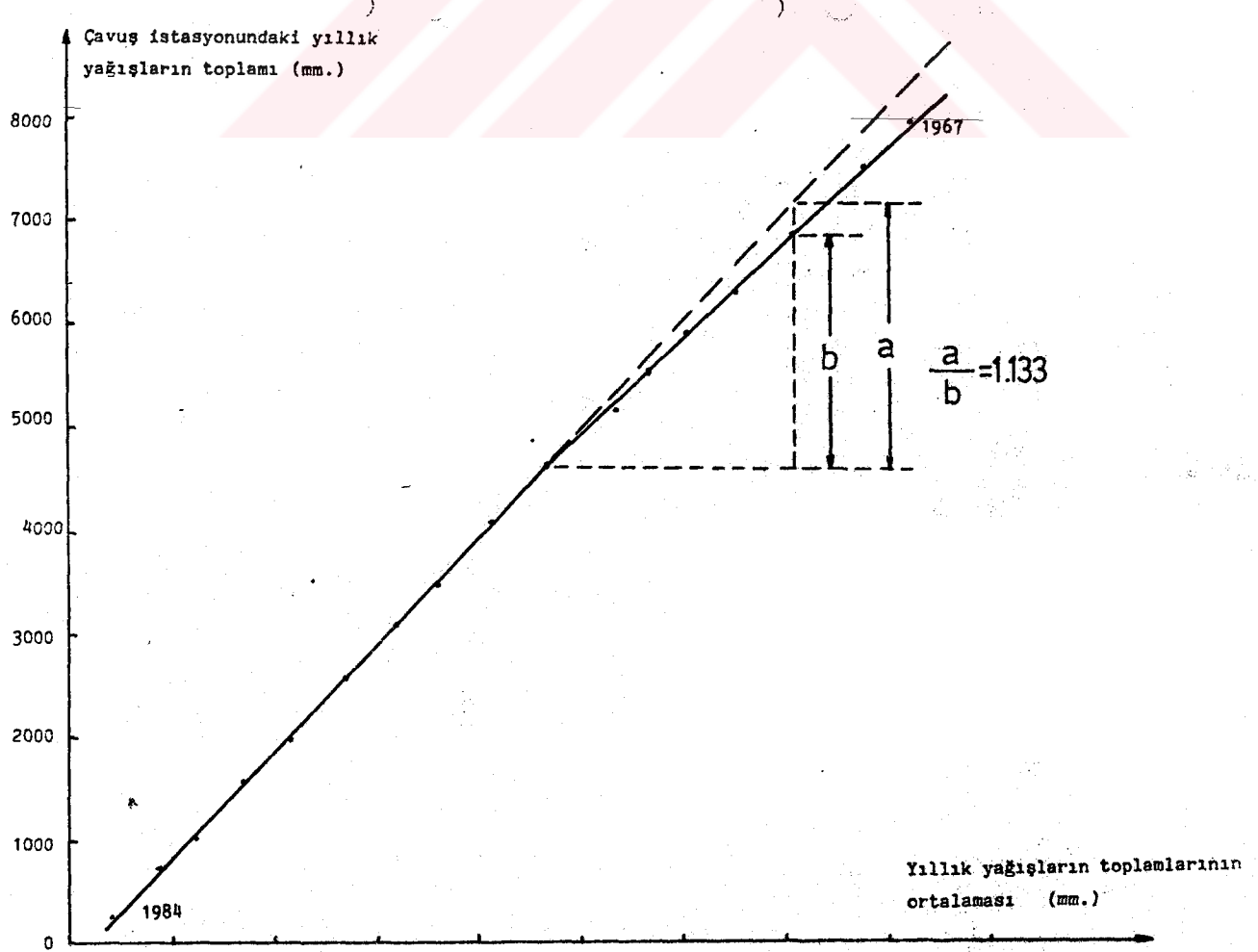
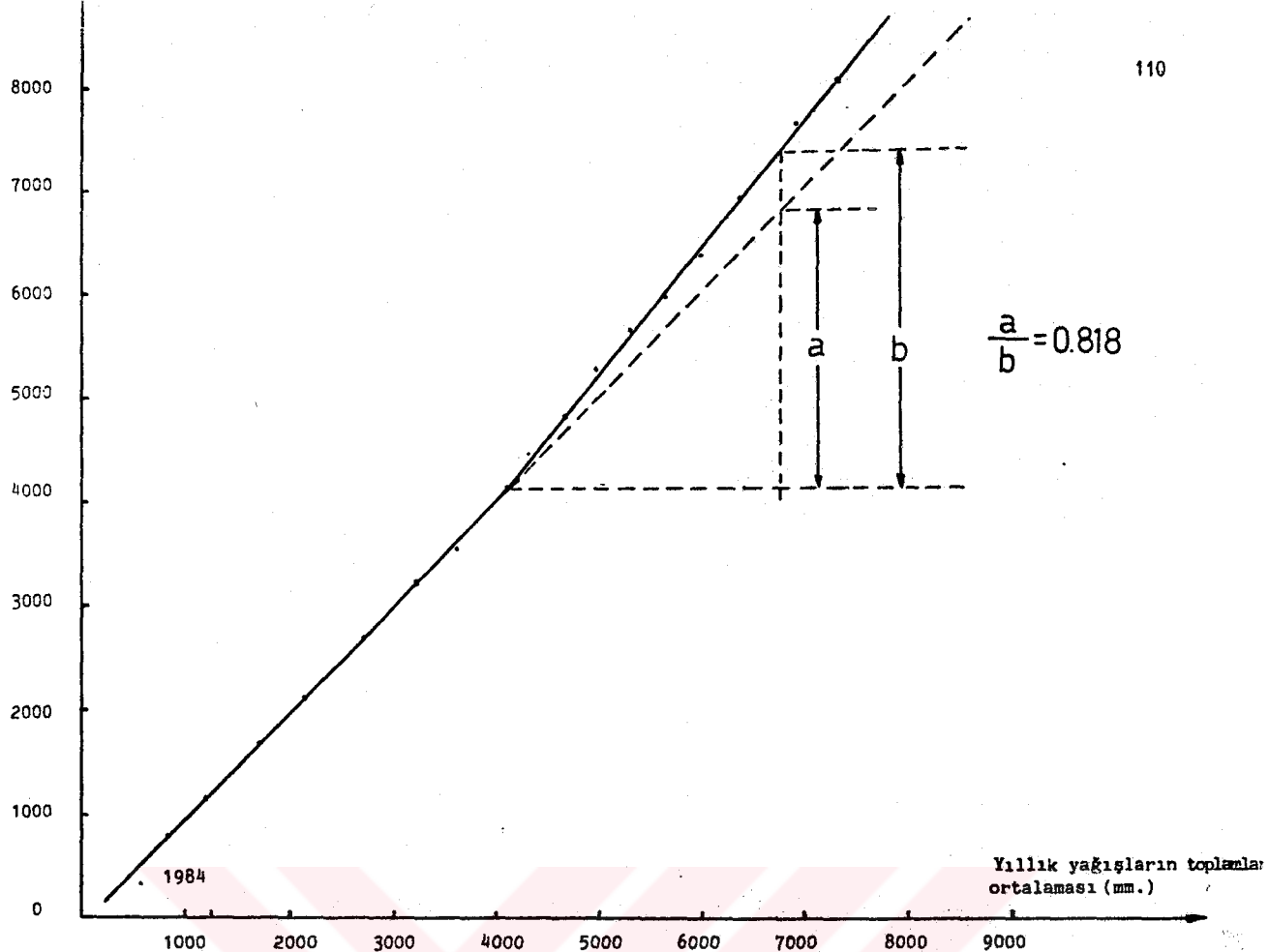
Yurtsever, Y., 1978, Tabii izotopların hidrolojide kullanılması esasları ve Antalya civarı karstik bölgede yerüstü-yeraltı tısuğu ilişkilerinin tabii izotoplarla araştırılması sonuçları: EİE dergisi 51-64.

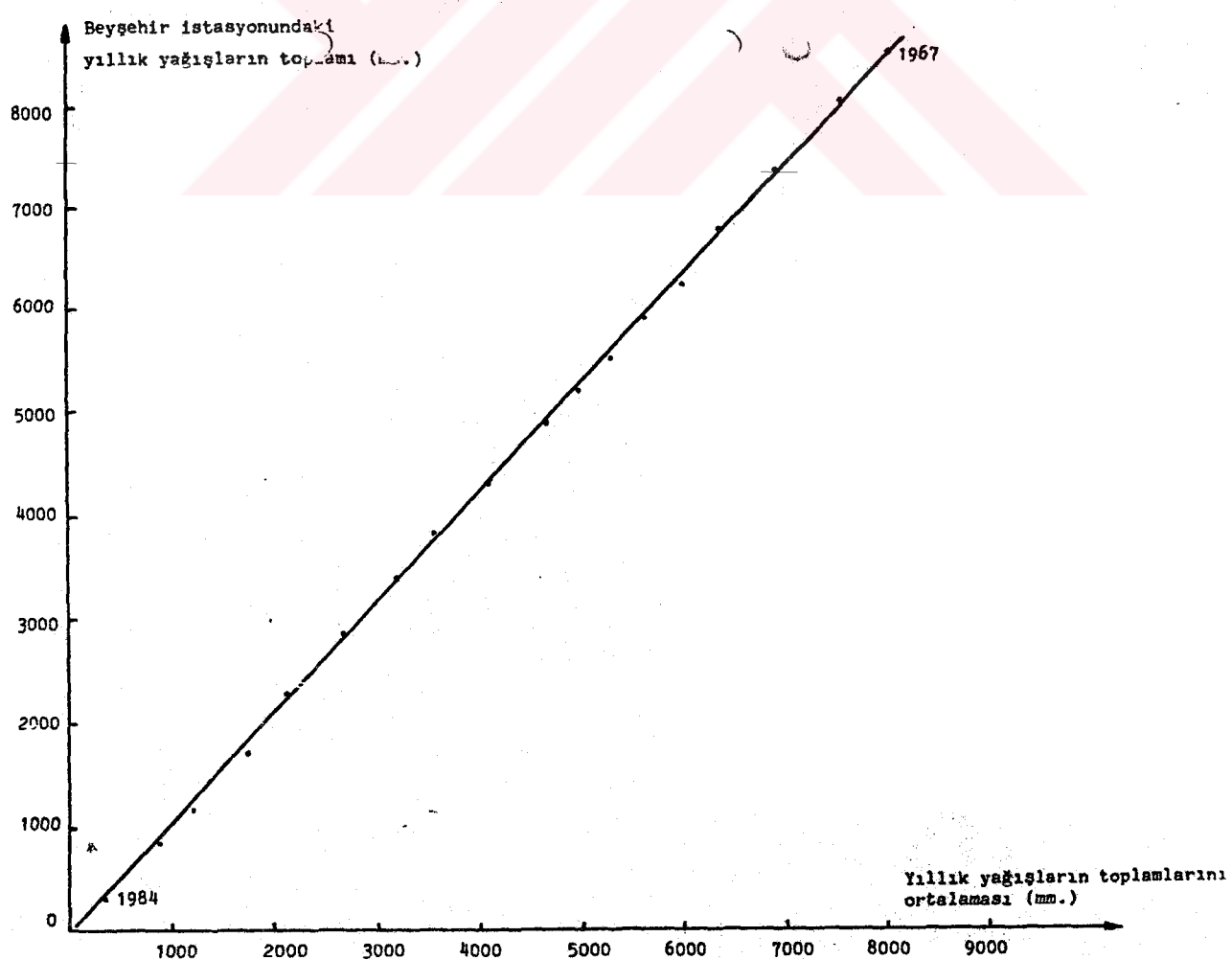
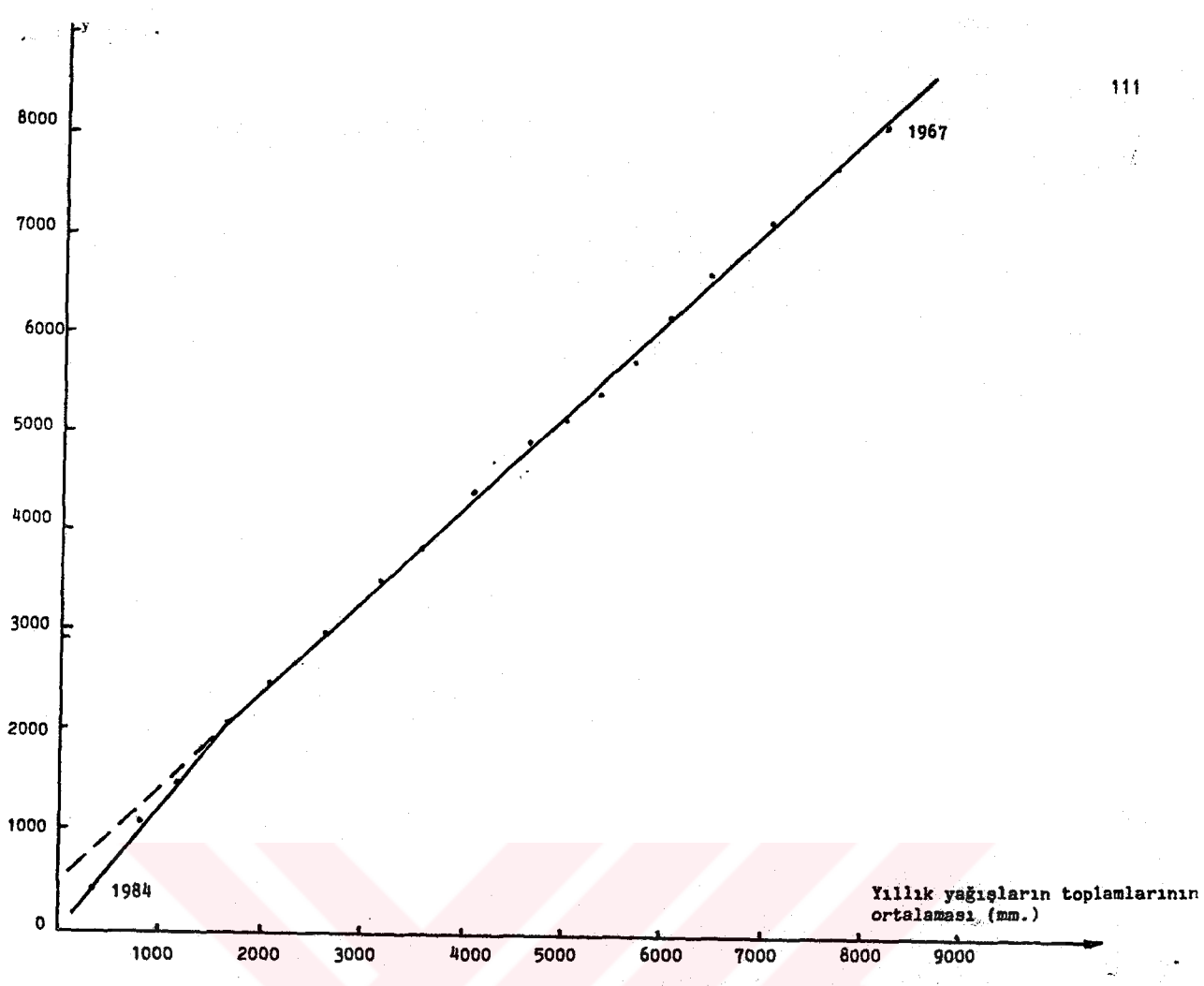
Yurtsever, Y., 1979, Environmental isotopes as a tool in hydrogeological investigations of Southern karst regions of Turkey: Proc. of Int. Seminar on karst hydrogeology, Antalya, DSt-UNDP Project Publ., Ankara.

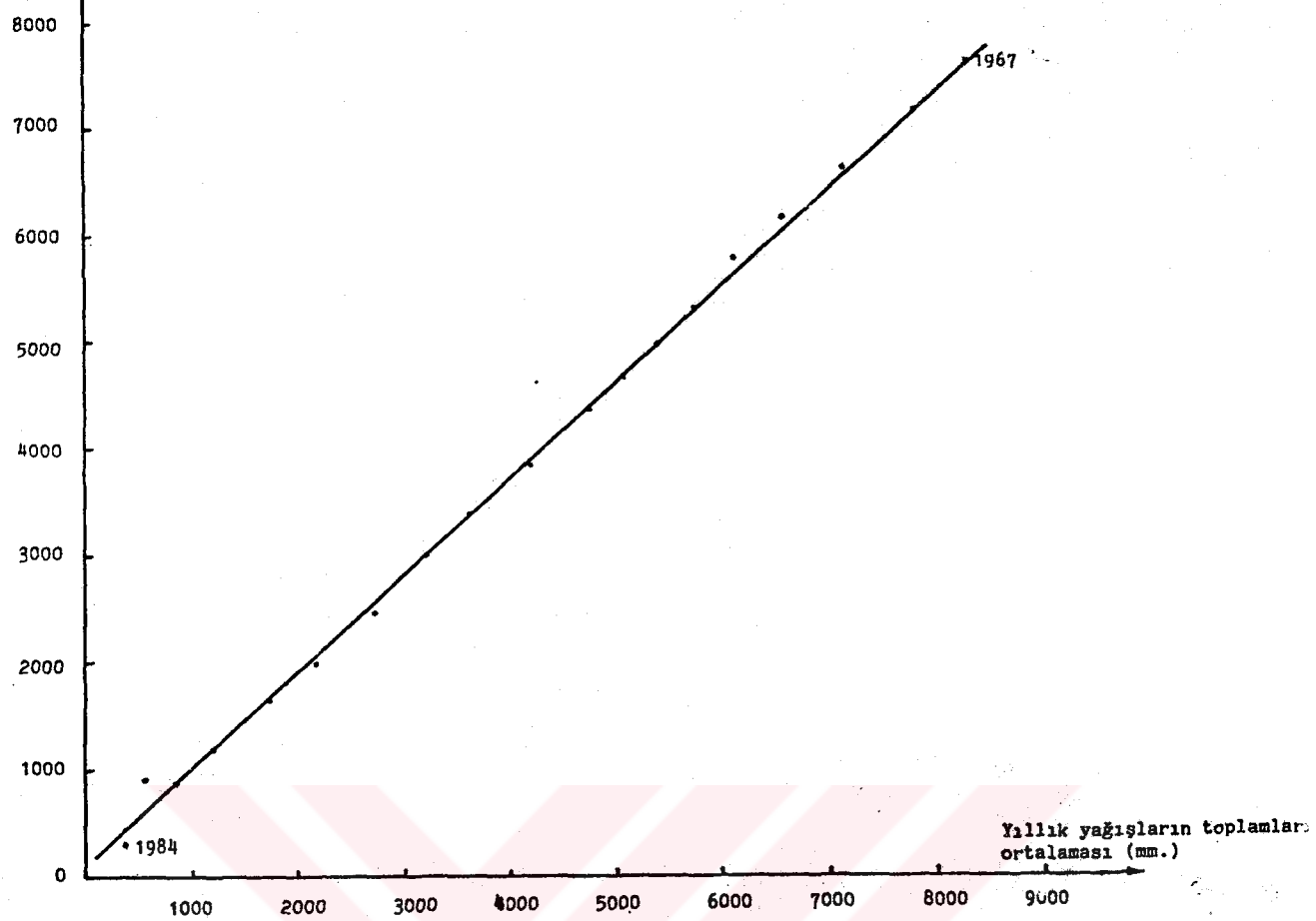




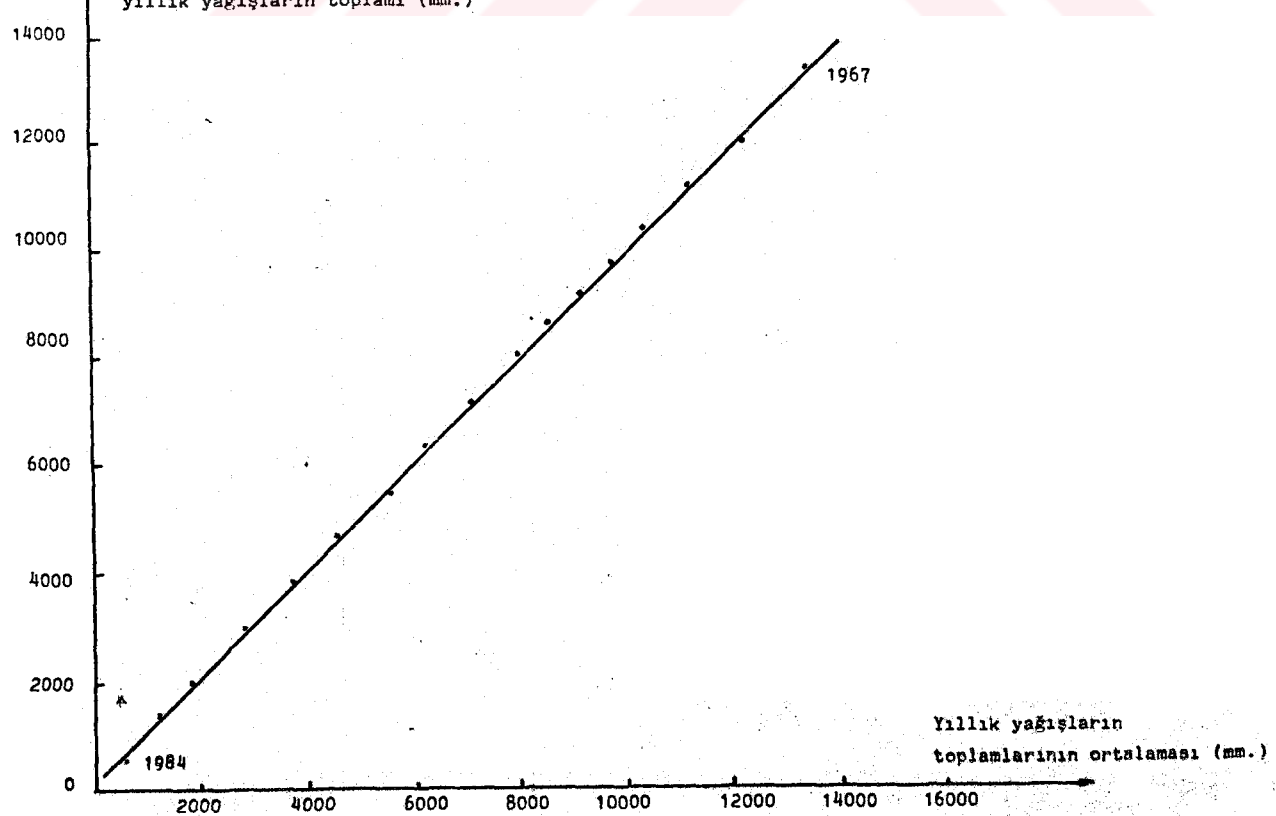






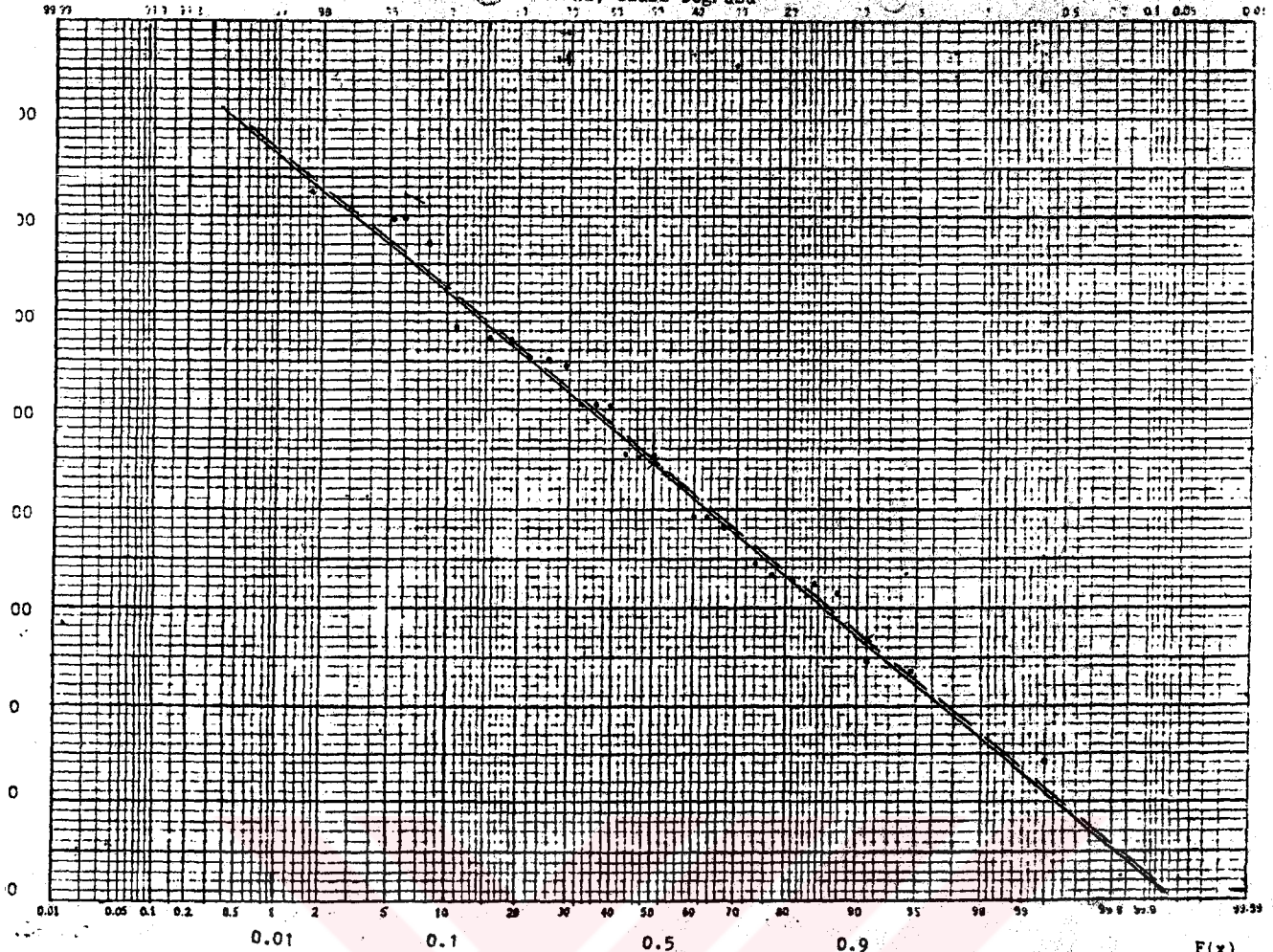


Gencek istasyonundaki  
yıllık yağışların toplamı (mm.)

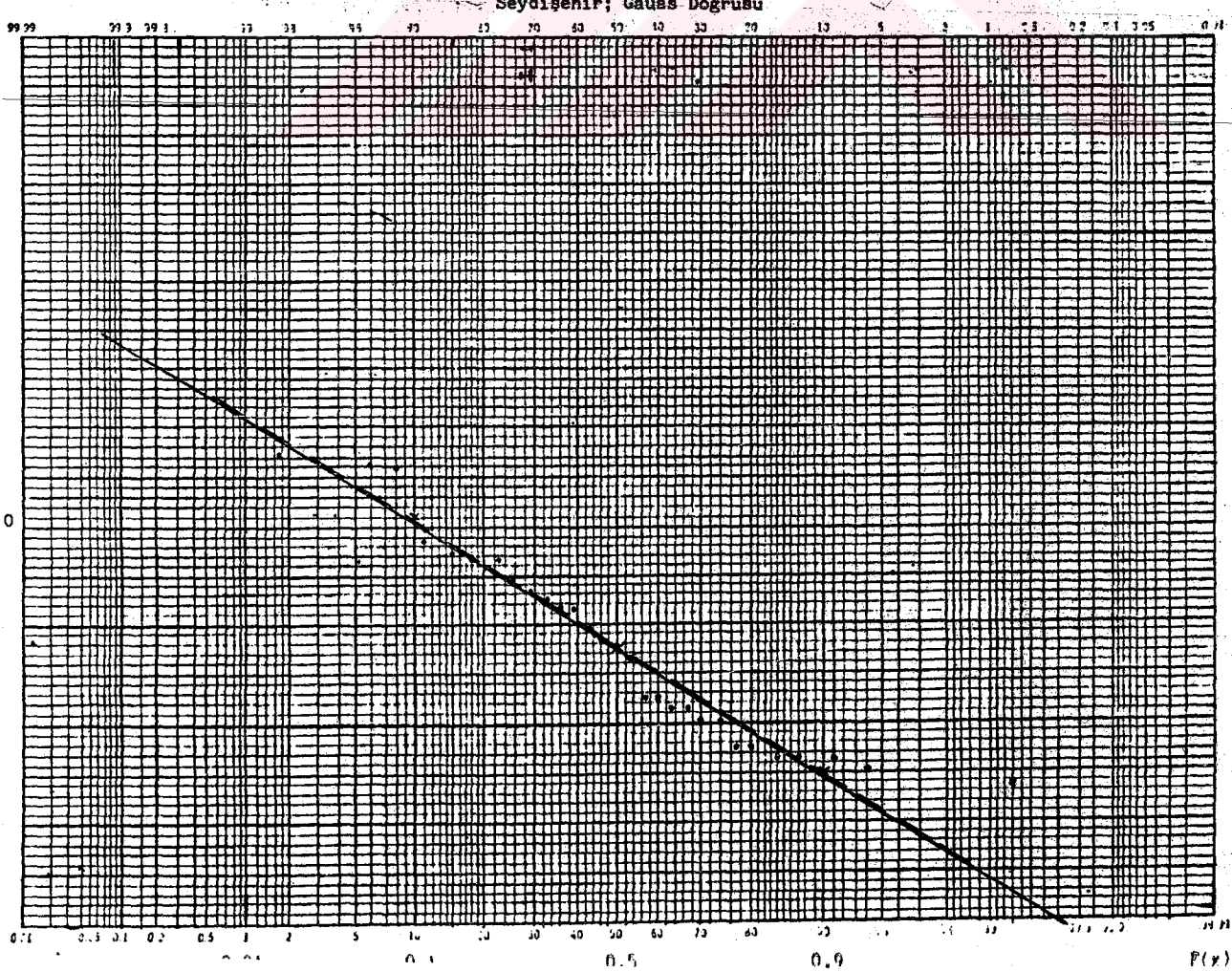


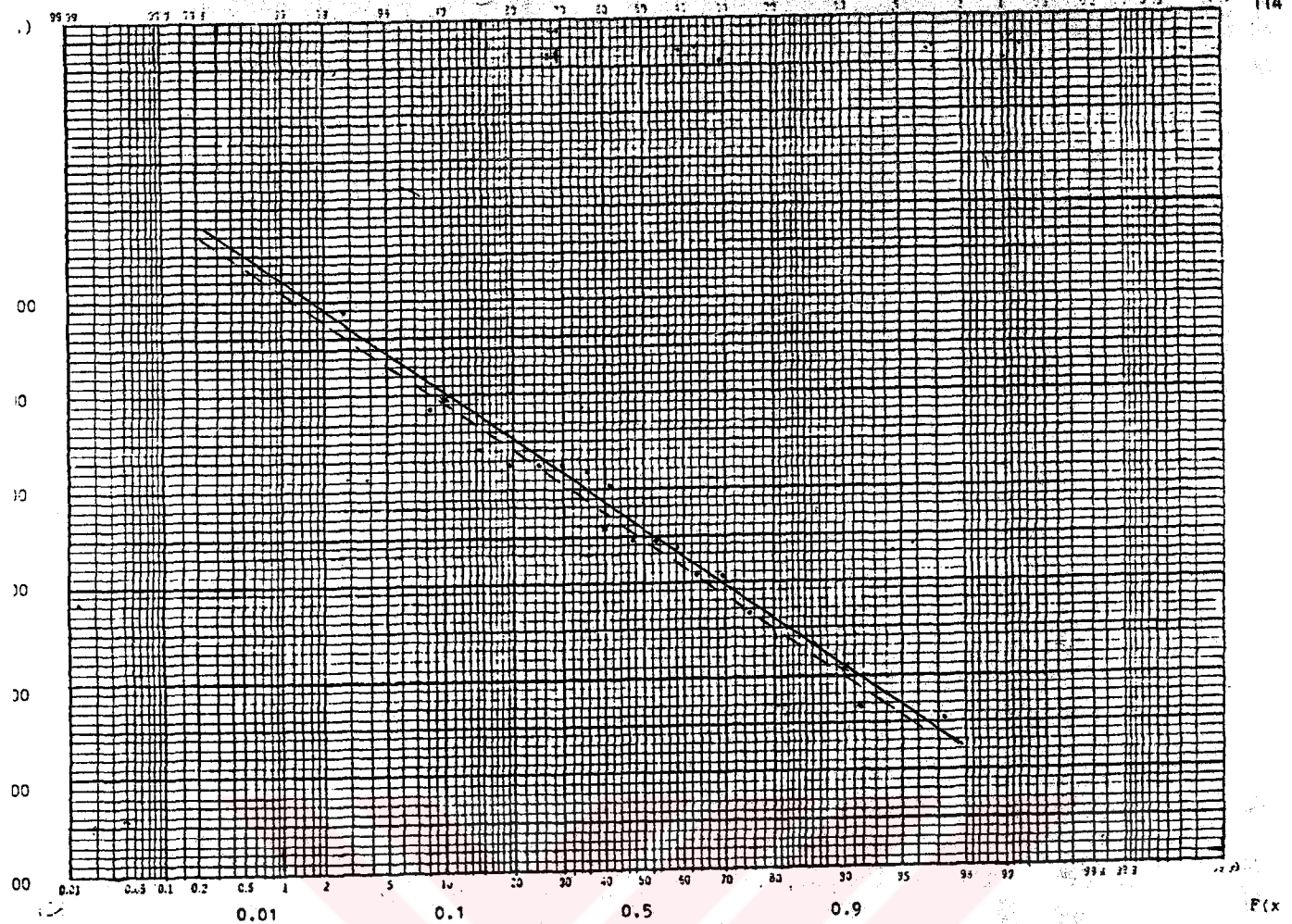
: Akseki; Gauss Doğrusu

113

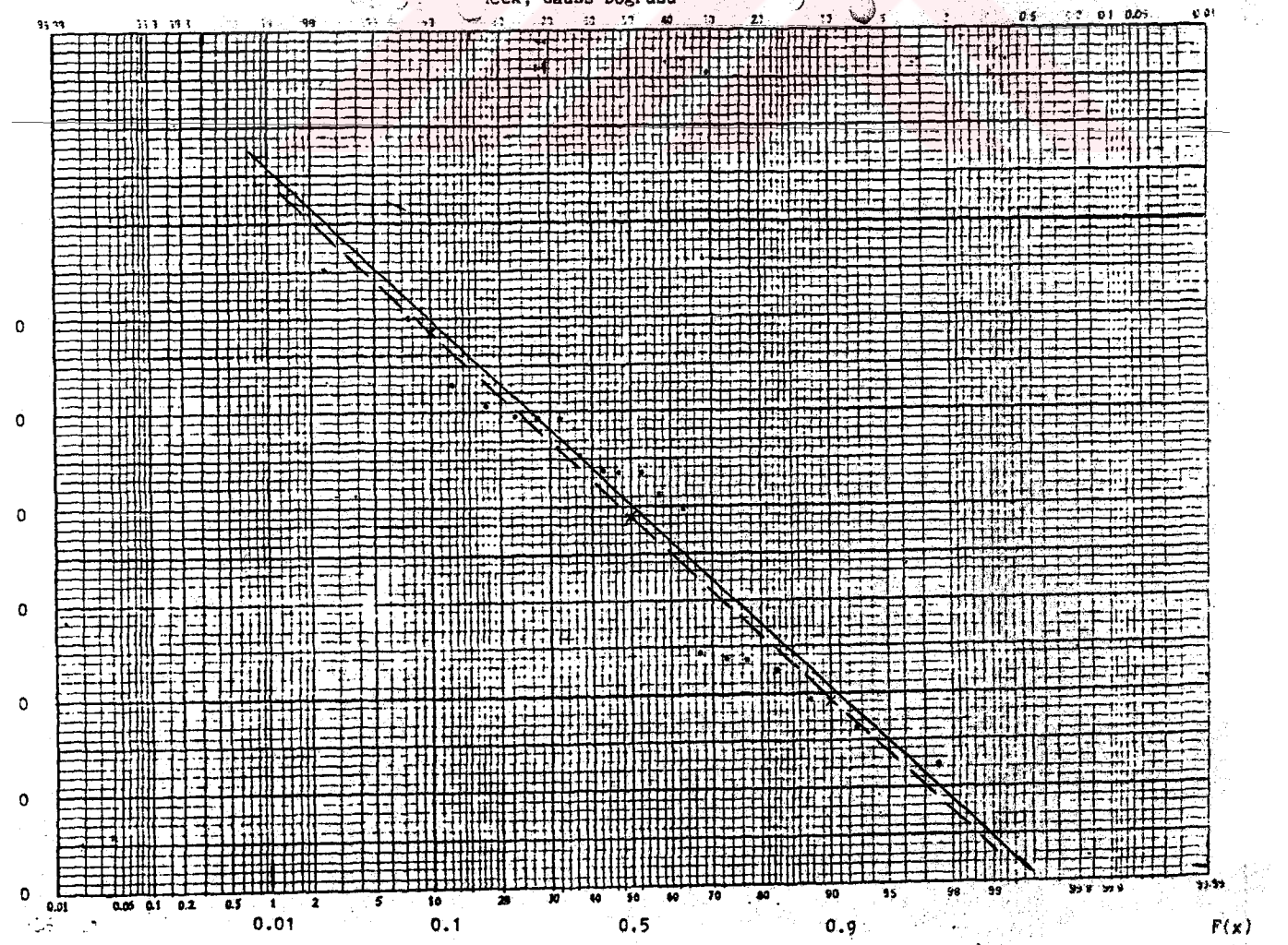


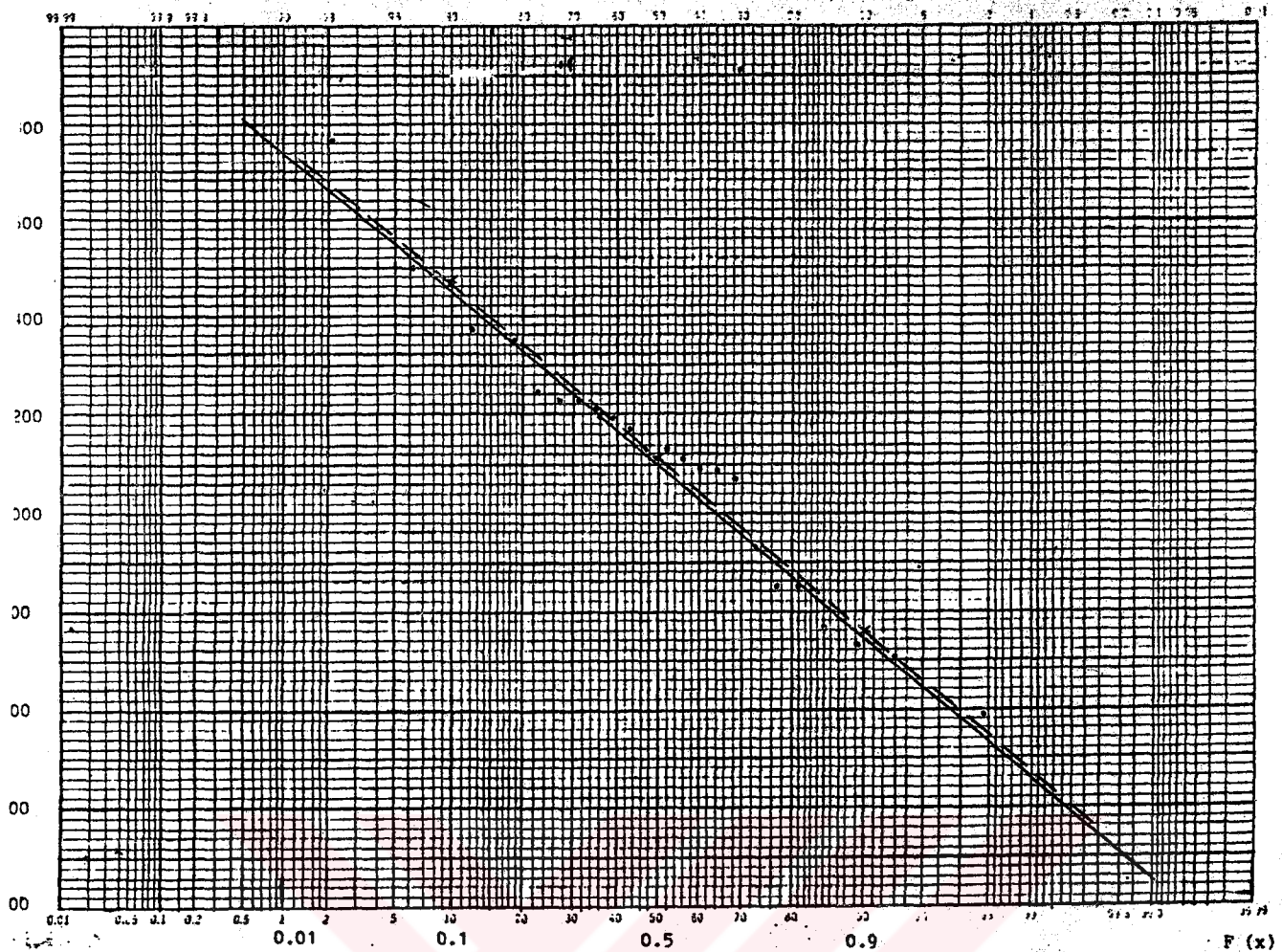
Seydisehir; Gauss Doğrusu



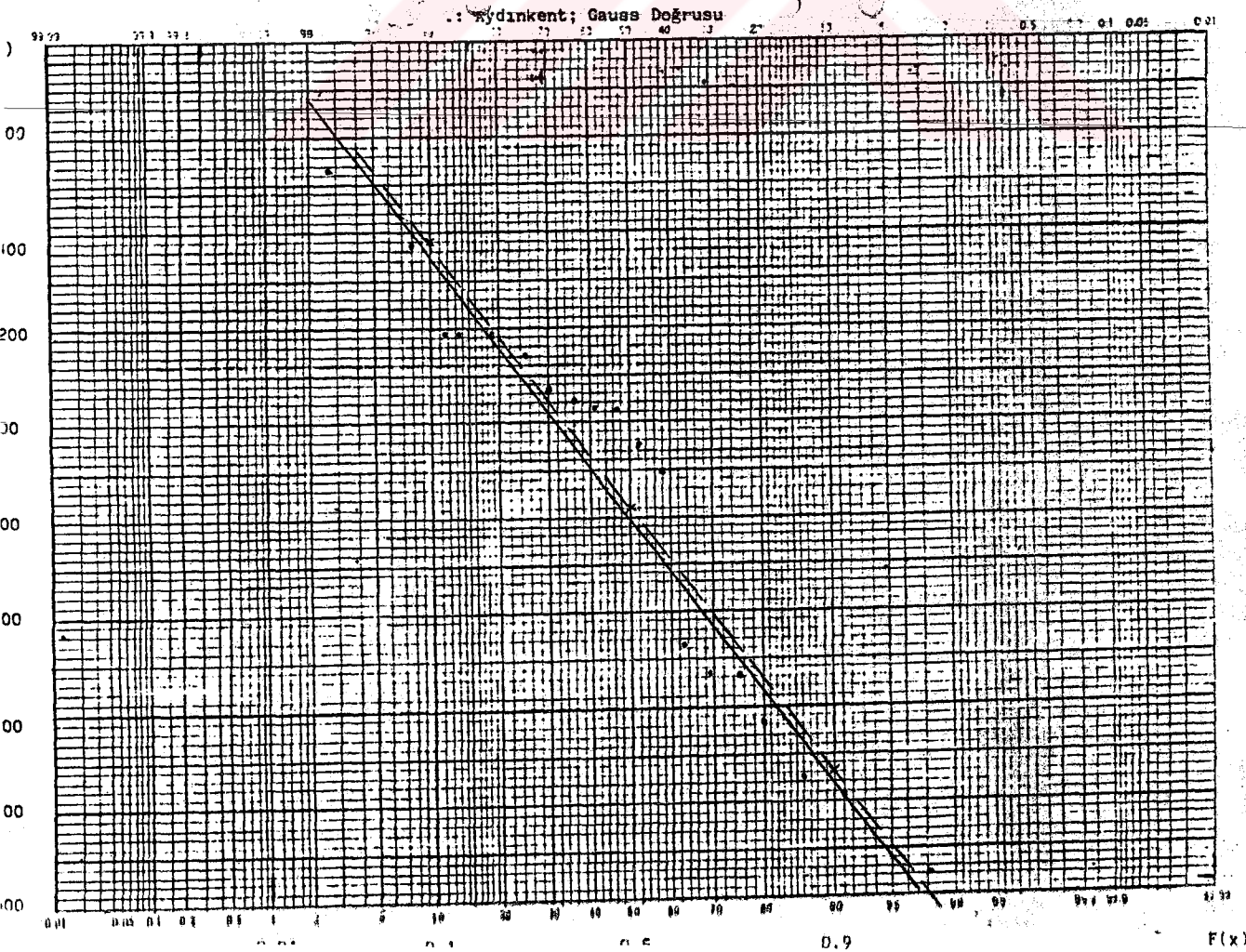


İncek; Gauss Doğrusu



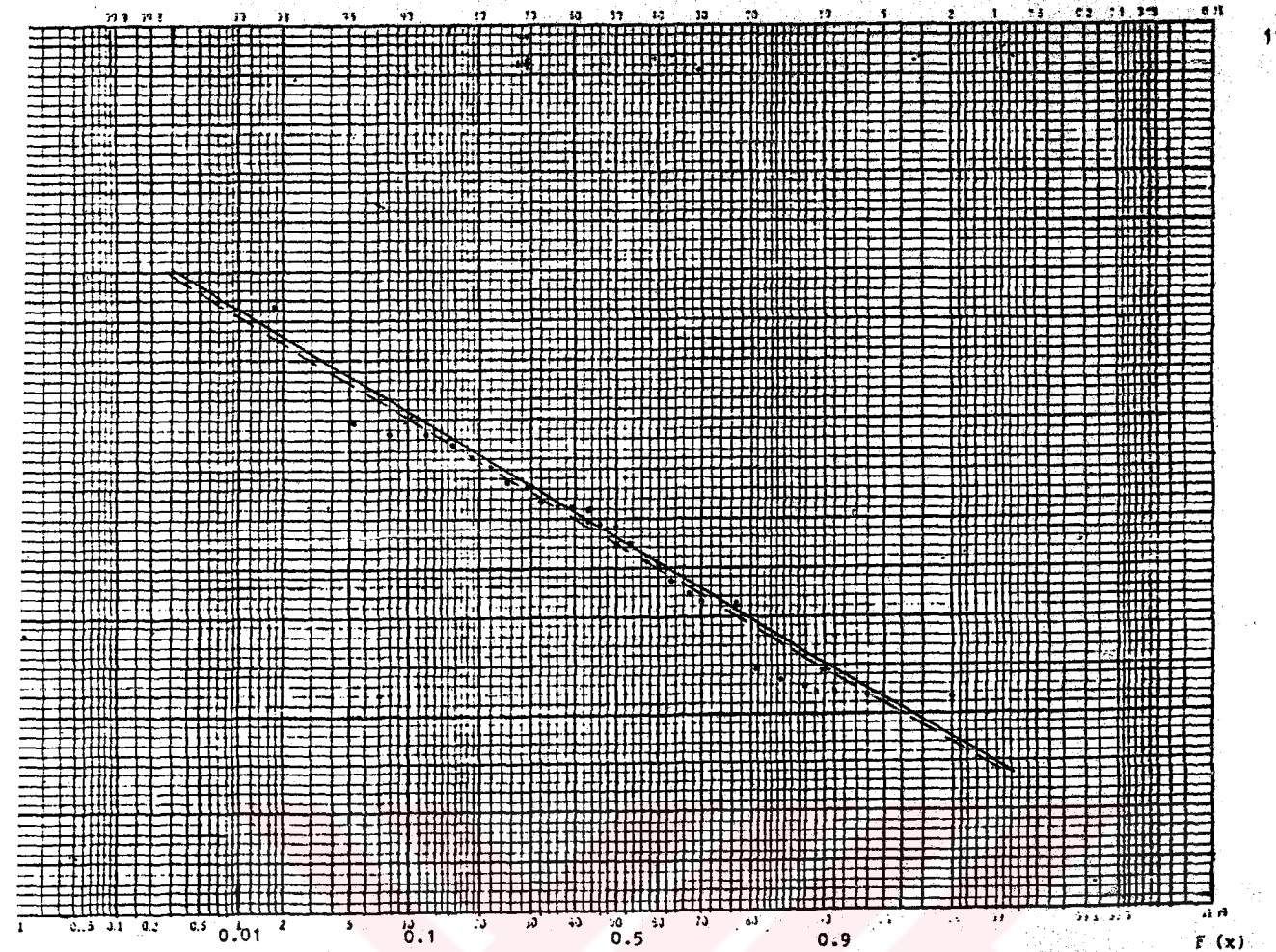


: Aydinkent; Gauss Doğrusu

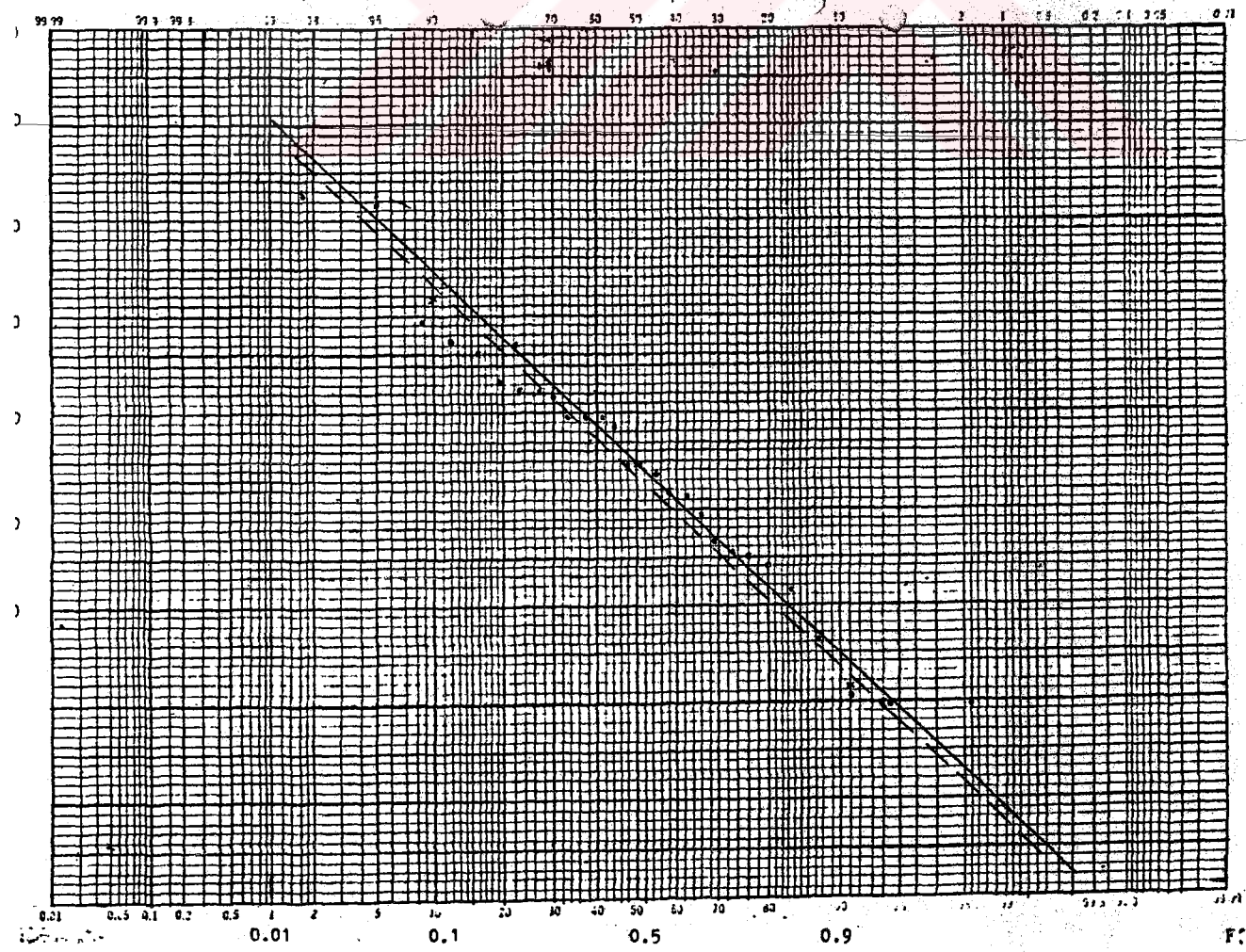


Beyşenir; Gauss doğrusu

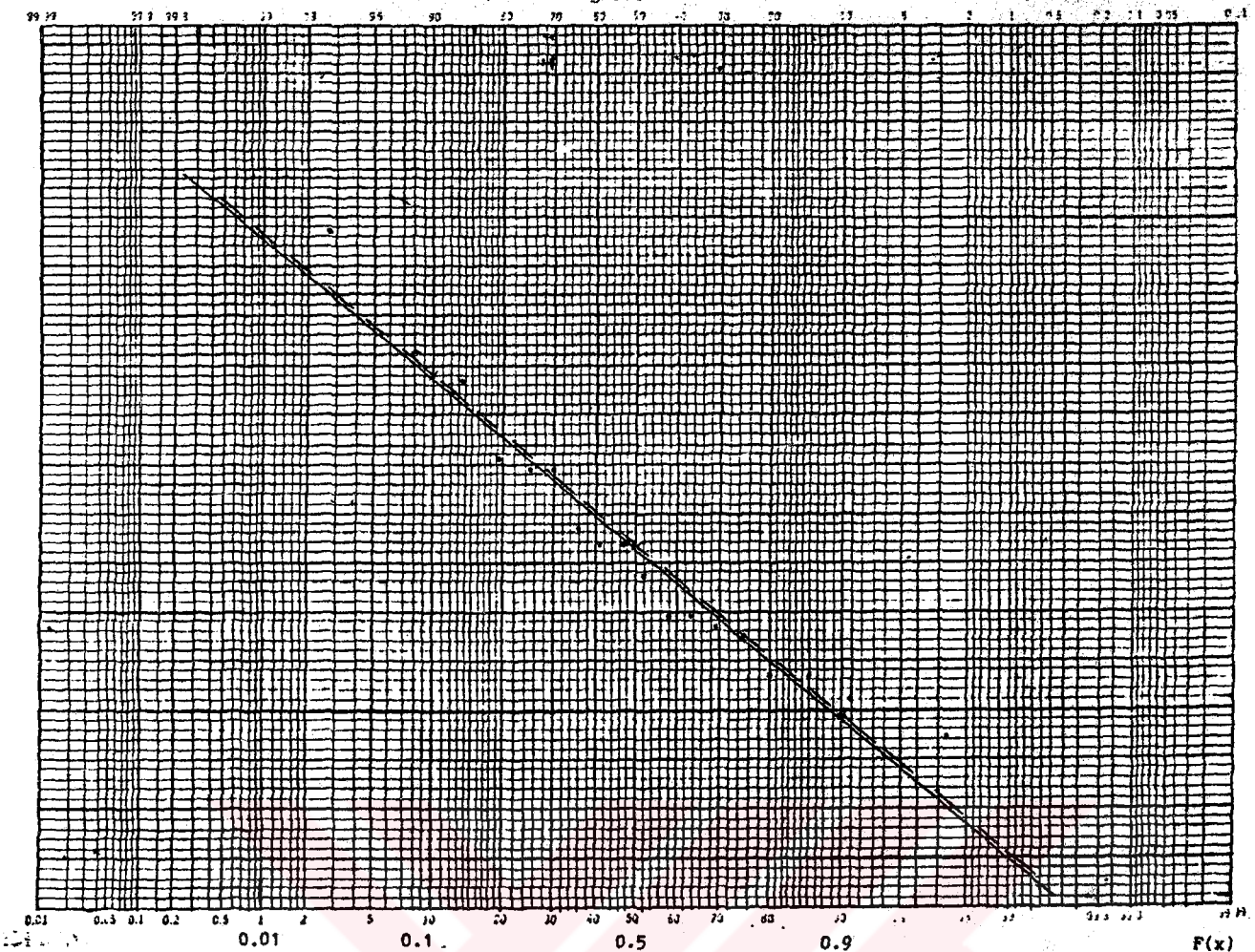
116



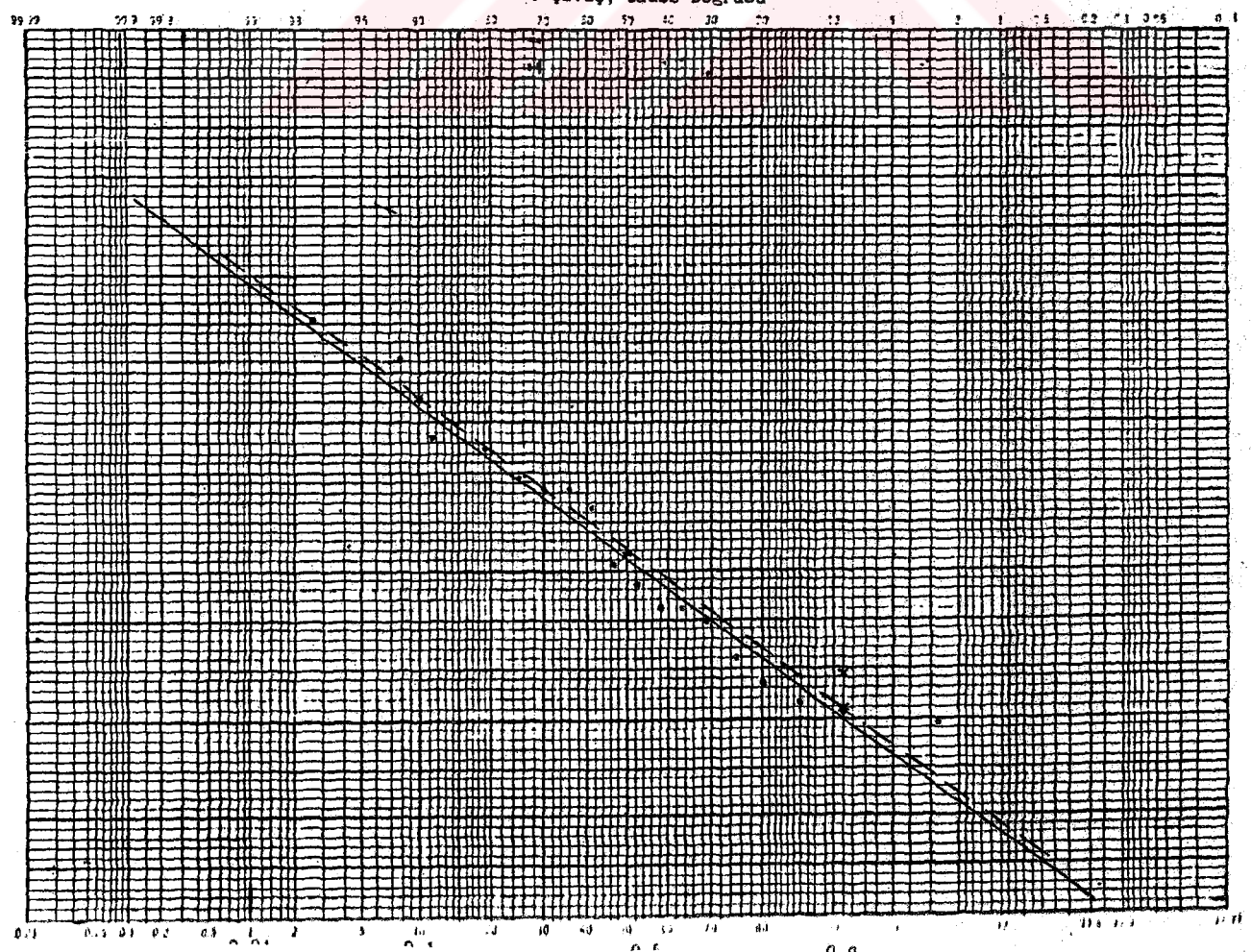
Serik; Gauss Doğrusu

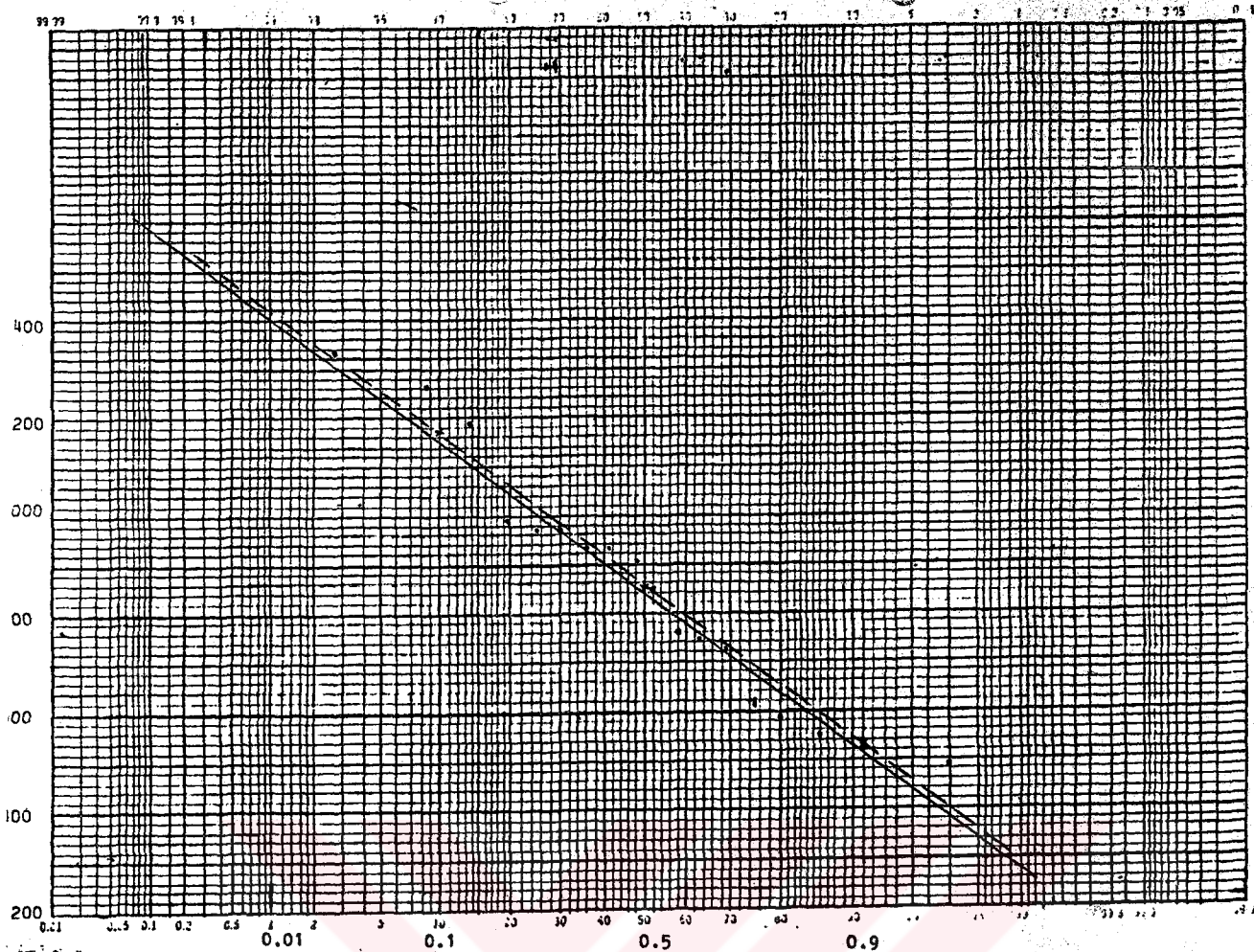


...kasimlar, Gauss doğrusu

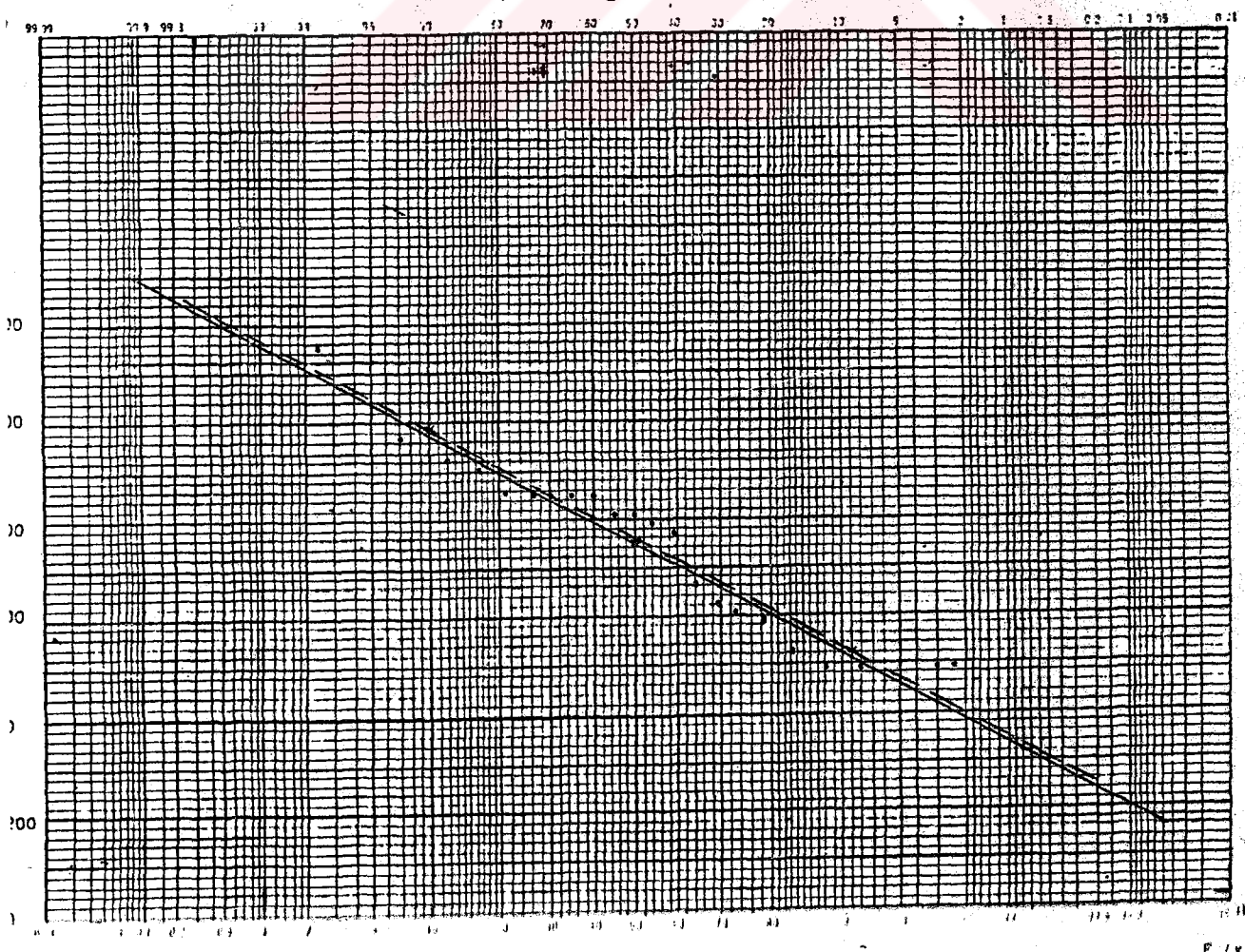


Çavuş; Gauss Doğrusu

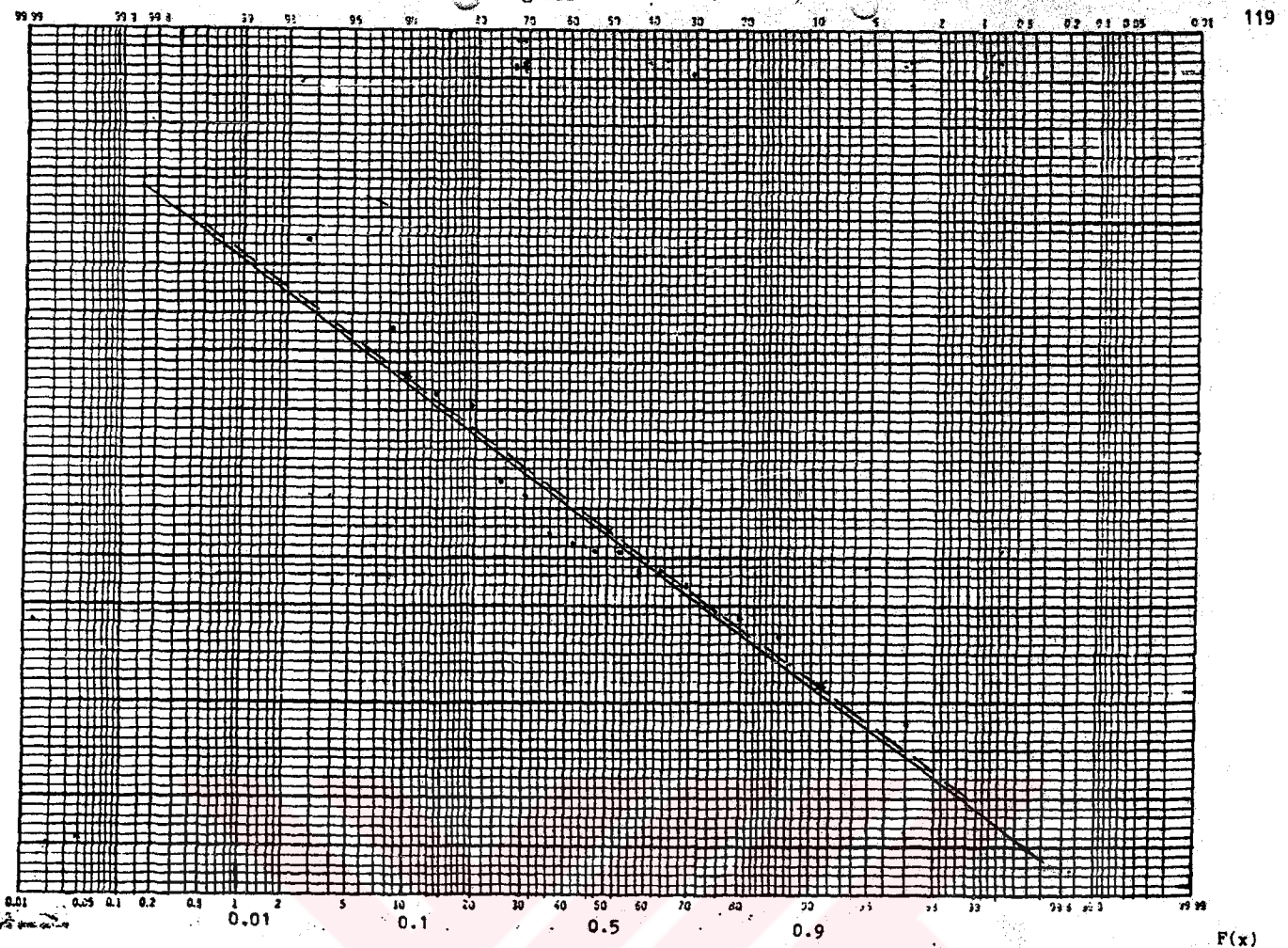




Uzumic; Gauss doğrusu



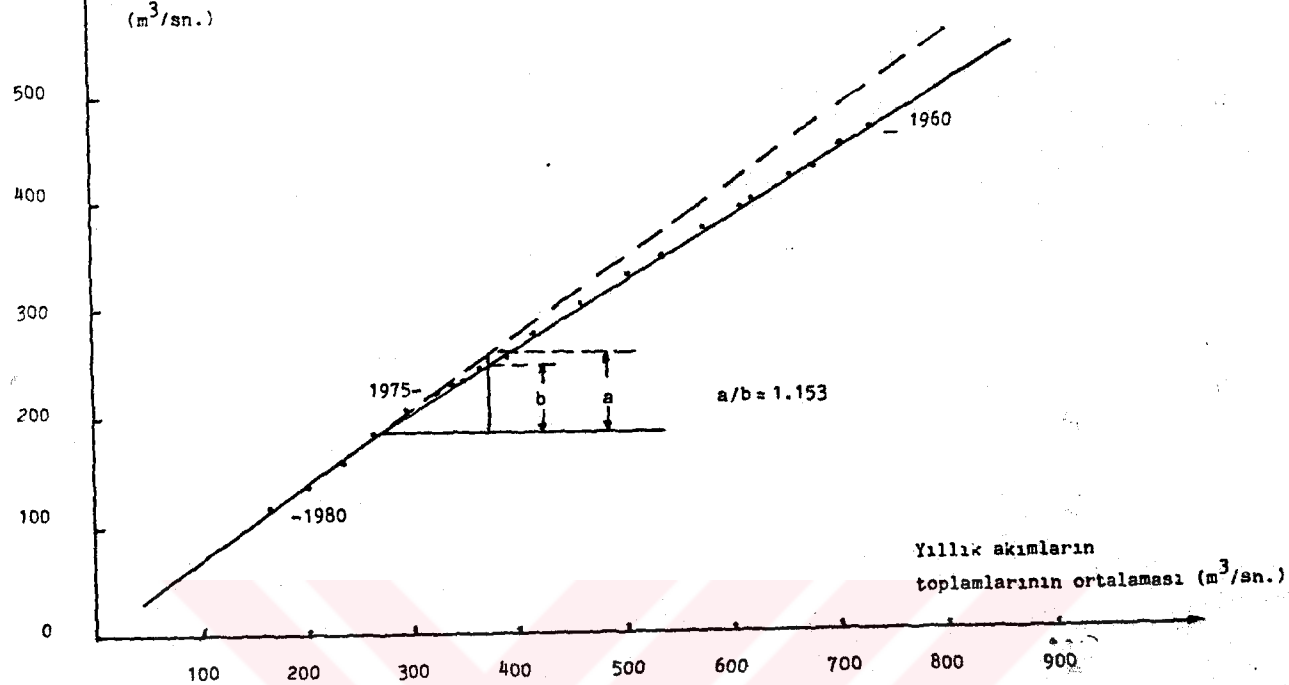
Gorsel doğrusu



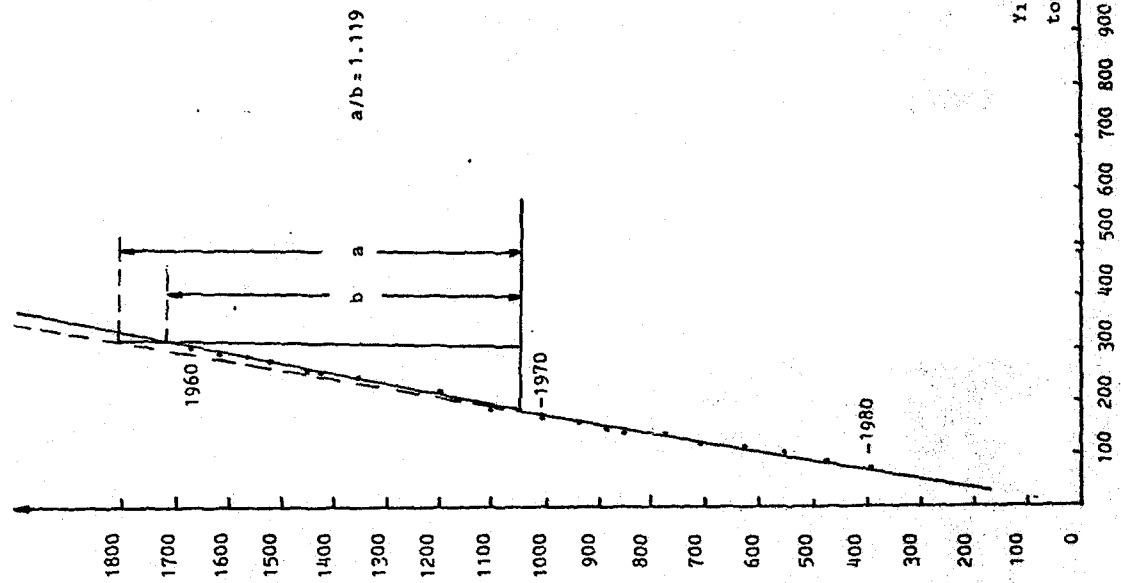
F(x)

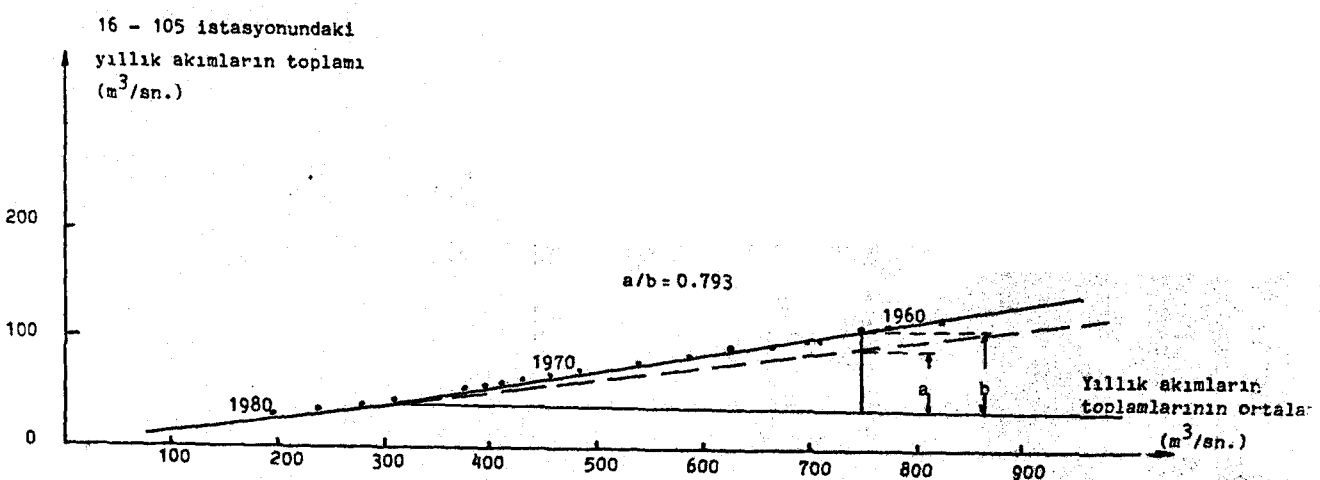
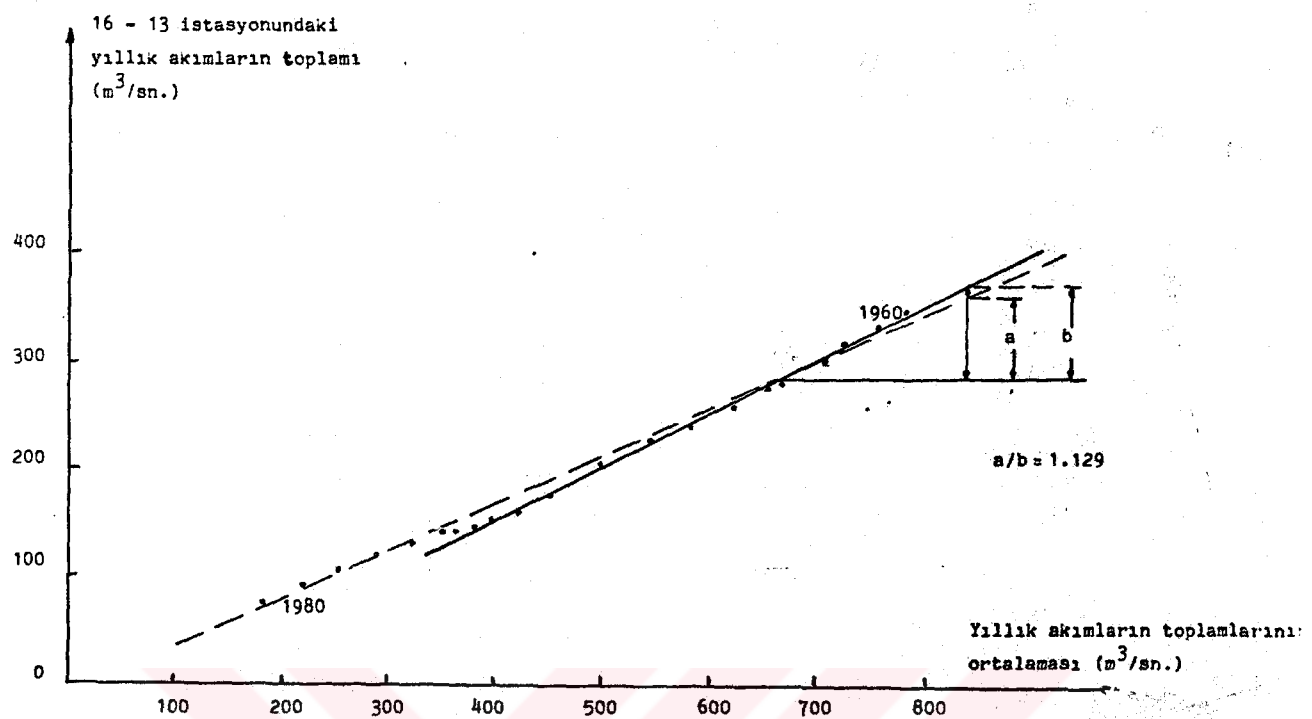
119

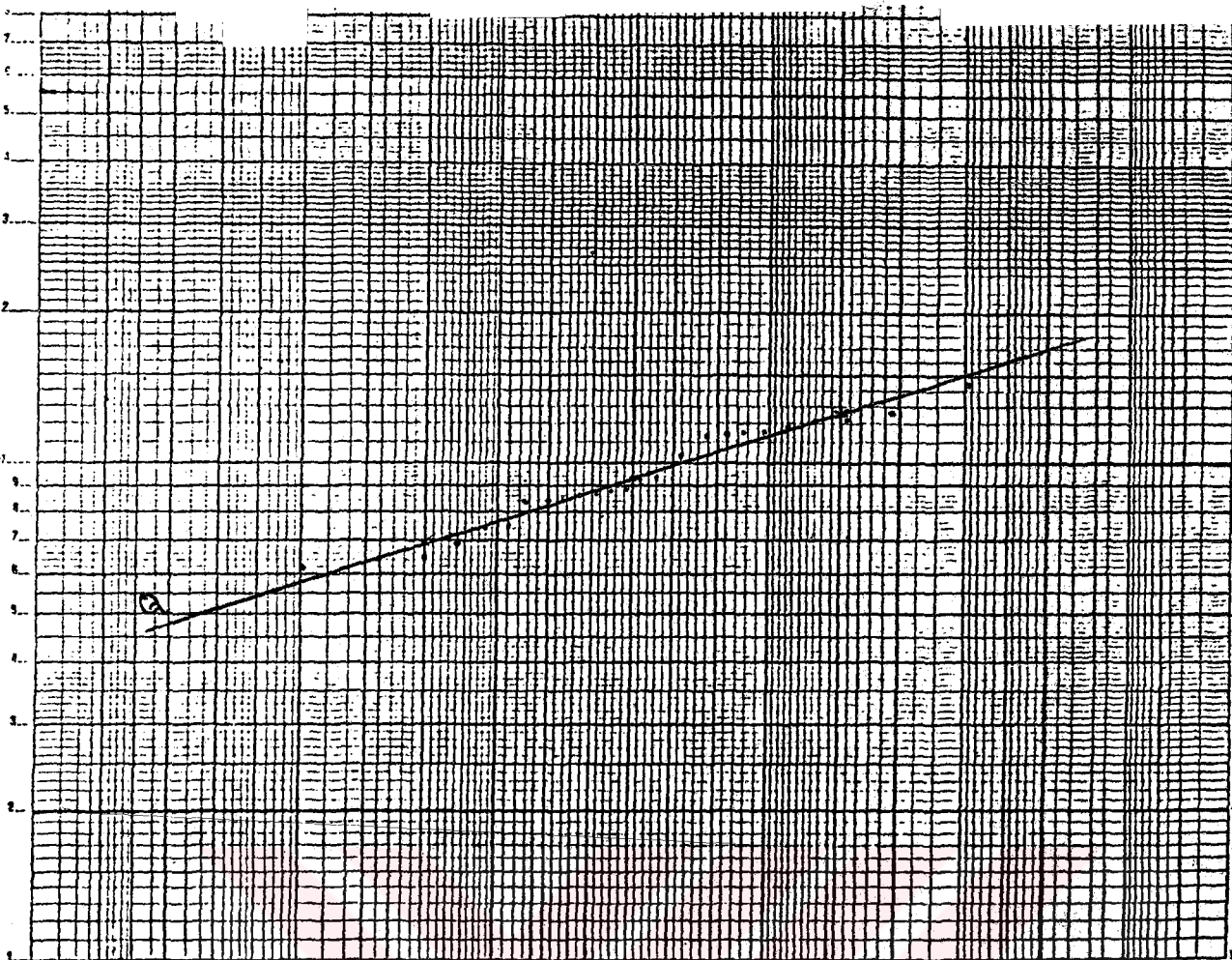
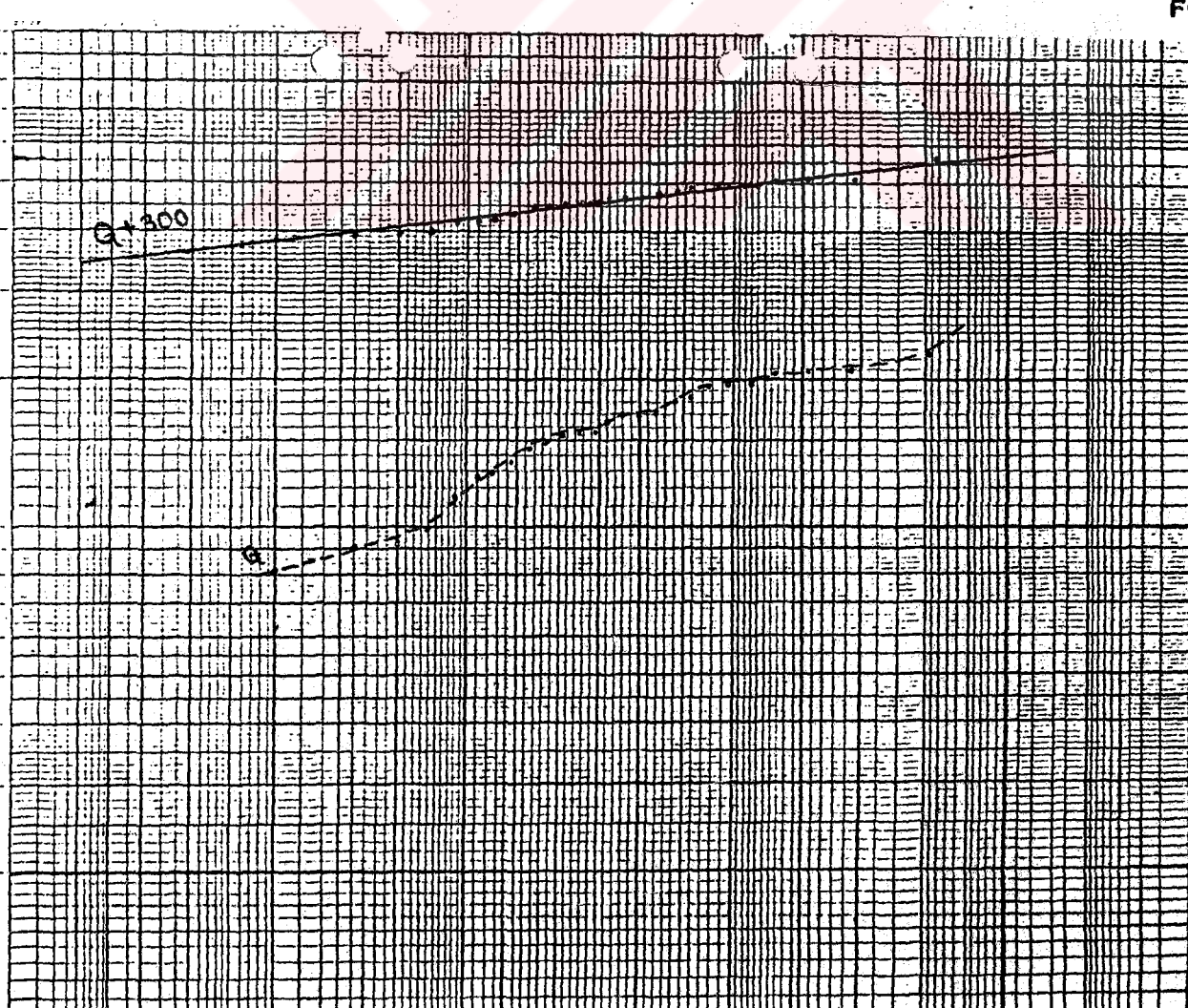
16 - 15 istasyonundaki  
yıllık akımların toplamı  
( $m^3/\text{sn.}$ )

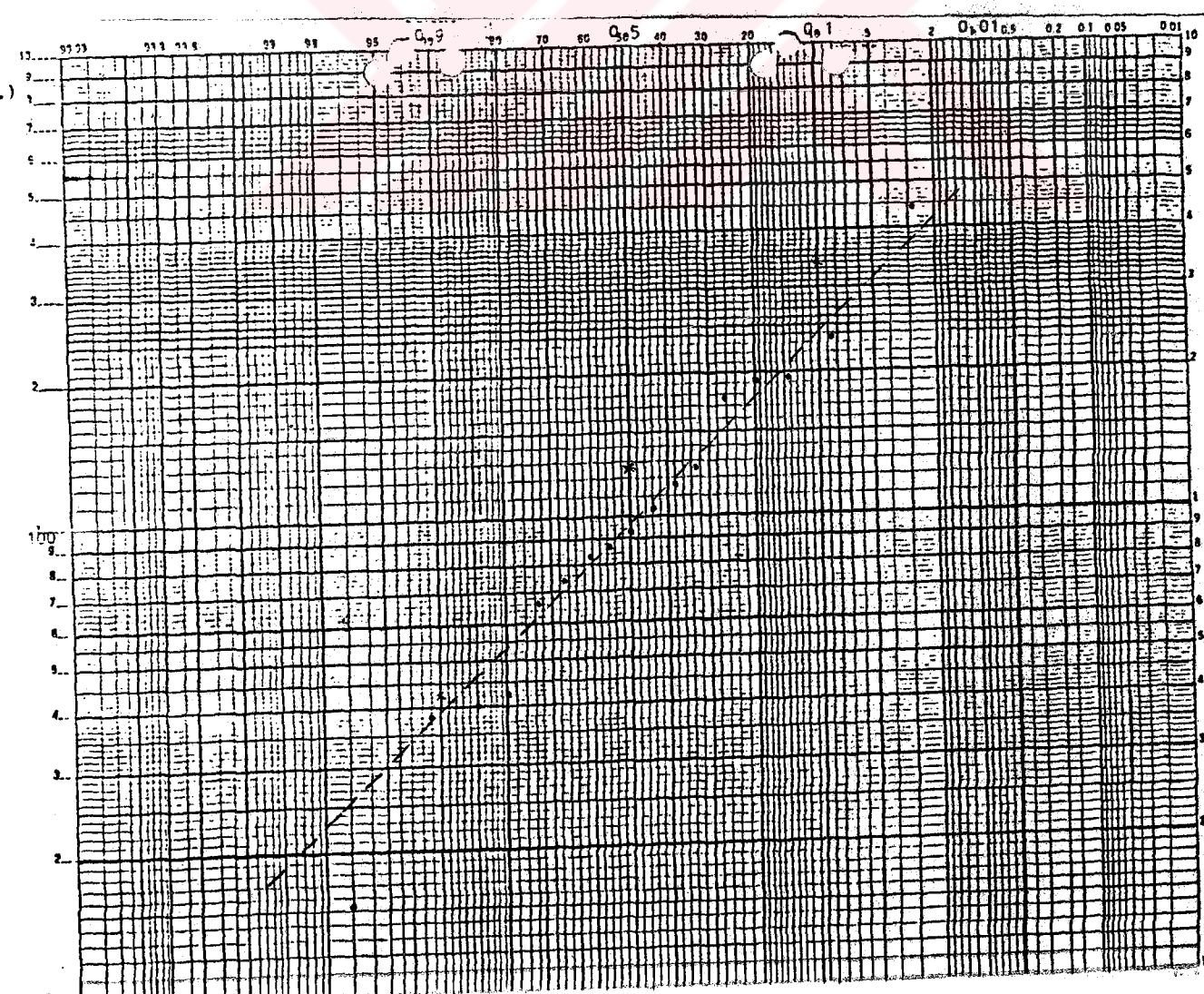
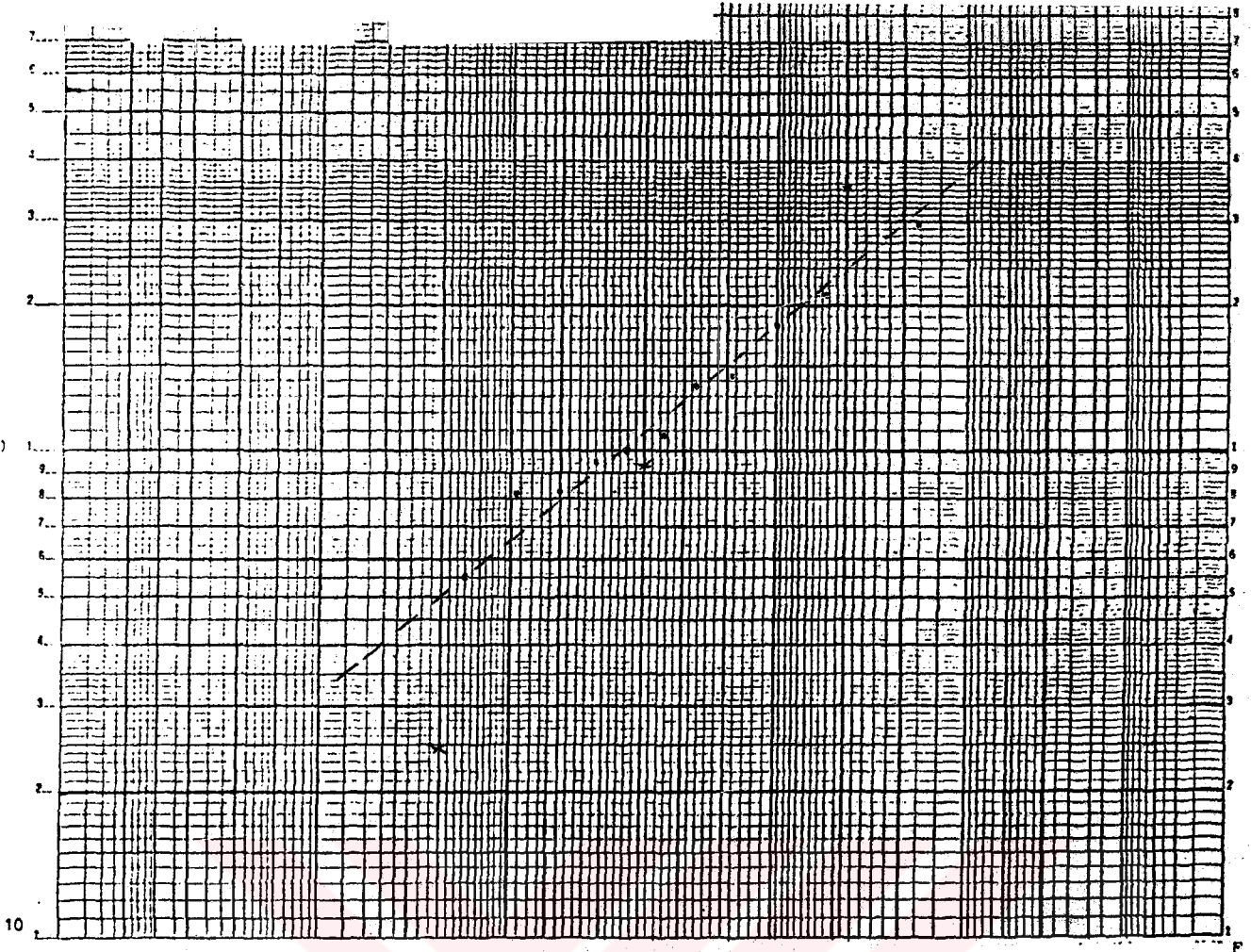


16 - 14 istasyonundaki  
yıllık akımların toplamı  
( $m^3/\text{sn.}$ )





 $F(x)$  $\alpha + 300$  $F_1$



**EK 3.5. Gözlenen hacim değerleri**

&gt;

	milyon metre küp			1959 yılı hacim			2050 *yılalık son seviyeler*						
	ocak	subat	mart	nisan	mayıs	haziran	temmuz	agustos	eylül	ekim	kasım	aralık	
950	2170	2260	2420	2500	2420	2360	2180	2050	2040	1980	1960	1980	
951	2060	2310	2330	2400	2330	2230	2050	1900	1850	1850	1840	1840	
952	1880	2000	2120	2180	2040	1930	1800	1670	1660	1660	1620	1890	
953	2130	2360	2500	2580	2640	2680	2570	2460	2420	2400	2400	2400	
954	2370	2440	2500	2460	2420	2380	2170	2050	1980	1930	1850	1930	
955	1980	2250	2400	2560	2600	2550	2440	2260	2250	2200	2110	2320	
956	2760	2900	3080	3260	3280	3170	3110	3050	2930	2900	2830	3000	
957	3020	3050	3120	3400	3470	3380	3270	3110	3060	3000	3100	3180	
958	3470	3560	3750	3740	3760	3690	3600	3460	3370	3370	3350	3500	
959	3740	3900	3930	4000	4140	3930	3740	3550	3420	3360	3240	3450	
970	3540	3700	3870	3920	3880	3900	3700	3540	3460	3450	3470	3500	
971	3570	3570	3620	3710	3700	3620	3500	3380	3250	3260	3240	3340	
972	3380	3470	3520	3480	3480	3420	3260	3130	3060	3040	3020	3020	
973	3030	3040	3120	3110	3060	2960	2770	2550	2370	2400	2320	2400	
974	2370	2450	2440	2400	2220	2040	2040	1920	1870	1740	1780	1860	
975	2020	2180	2320	2440	2580	2600	2470	2350	2230	2200	2200	2290	
976	2360	2470	2550	2720	2770	2770	2620	2480	2360	2440	2420	2600	
977	2700	2790	2950	3110	3260	3230	3170	2970	2900	2900	2850	2870	
978	3060	3300	3480	3660	3690	3630	3480	3310	3280	3260	3220	2650	
979	3640	3850	3890	3880	3900	3900	3700	3580	3470	3460	3500	3500	
980	3650	3710	3740	3860	3930	3850	3750	3580	3470	3460	3500	3400	
981	3970	4050	4210	4140	4080	4020	3830	3620	3430	3320	3350	3530	
982	3700	3780	3830	3850	3900	3890	3700	3580	3460				

## EK 3.7. Hesaplanan hacim değerleri

hesaplanan gol hacmi her yıl için başlangıç değeri gözlenenden alınmıştır

	ocak	subat	mart	nisan	mayıs	haziran	temmuz	agustos	eylül	ekim	kasım	aralık
2302.703	2500.608	2749.648	2826.391	2654.431	2419.180	2163.488	2028.600	1959.879	1917.359	1983.231	2327.046	
2163.278	2533.795	2684.023	2653.697	2474.337	2211.448	1966.783	1909.334	1744.157	1727.005	1734.920	2041.019	
2074.481	2450.950	2595.756	2637.665	2445.661	2073.525	1874.156	1707.514	1635.495	1697.453	1688.941	2423.439	
2287.815	2562.216	2737.007	2784.443	2739.042	2507.744	2152.468	1912.385	1812.660	1768.460	1826.206	1943.650	
2465.933	2771.274	2926.046	2794.879	2732.940	2515.936	2086.840	1913.966	1824.349	1757.430	1863.489	2236.067	
2193.647	2768.998	2834.074	2899.808	2904.618	2455.321	2186.122	2004.931	1998.513	1861.443	1915.797	2491.633	
3301.081	3397.855	3730.377	3705.407	3494.123	3118.796	2946.052	2818.364	2739.654	2674.229	2711.419	3375.665	
3098.106	3221.622	3347.309	3659.940	3618.735	3218.356	2965.827	2778.611	2681.908	2639.162	2943.207	3372.412	
3925.757	4166.385	4327.467	4062.544	3804.927	3492.960	3354.013	3222.587	3116.969	3074.291	3333.882	3851.242	
3923.456	4168.431	4166.001	4215.565	4035.733	3579.412	3222.358	2967.341	2760.803	2644.758	2727.297	3328.430	
3691.979	4065.283	4266.078	4193.025	4010.975	3644.656	3484.734	3338.274	3256.244	3307.491	3472.294	3774.614	
3573.663	3764.425	3876.170	3980.179	3829.354	3506.383	3293.579	3192.140	3095.549	3053.643	3263.698	3535.405	
3429.496	3787.385	3725.790	3713.977	3507.285	3331.490	3016.253	2890.381	2797.597	2907.778	2934.915	2684.987	
3236.595	3424.168	3514.588	3424.234	3186.625	2856.739	2554.984	2349.712	2164.165	2107.405	2099.920	2334.923	
2542.739	2749.902	2696.763	2600.132	2389.034	2014.149	1859.377	1721.091	1645.132	1593.788	1618.108	2008.618	
2536.184	2793.068	2948.999	3048.424	3118.863	2864.852	2529.933	2358.980	2237.587	2216.447	2386.571	2565.529	
2588.984	2785.406	2788.990	2931.414	2907.601	2594.267	2330.799	2177.171	2073.221	2334.529	2387.712	2685.630	
2852.626	2960.721	3195.135	3606.540	3382.008	3106.691	2977.049	2832.192	2771.911	2749.861	2714.533	2996.285	
3397.599	3887.983	4249.696	4262.403	4004.262	3686.796	3541.169	3398.606	3334.111	3496.072	3542.780	3866.080	
2732.858	2831.349	2843.899	2850.167	2779.424	2521.495	2135.669	1966.854	1858.203	2019.757	2292.471	2476.980	
3928.550	4027.353	4151.079	4166.006	4319.384	3597.967	3381.837	3241.954	3159.551	3190.716	3375.843	3724.341	
4562.729	4719.482	4614.393	4327.555	4119.686	3773.191	3438.949	3228.195	3063.060	2957.400	3152.307	3758.841	
3747.055	3865.635	3953.525	4017.900	3840.595	3597.625	3273.151	3093.276	2974.677	2929.029	2920.568	3075.912	

hesaplanan hacim surekli - her yılın basındaki değer hesaplanan bir önceki yılın son değeridir.

	ocak	subat	mart	nisan	mayıs	haziran	temmuz	agustos	eylül	ekim	kasım	aralık
2302.703	2500.608	2749.648	2826.391	2654.431	2419.180	2163.488	2028.600	1959.879	1917.359	1983.231	2327.046	
2510.325	2880.841	3031.670	3000.744	2921.384	2558.495	2313.930	2156.381	2071.203	2074.052	2081.767	2388.057	
2622.539	2999.007	3143.814	3185.742	2987.718	2621.983	2422.213	2255.571	2193.552	2246.510	2234.998	2971.496	
3379.311	3655.712	3829.504	3875.937	3830.538	3399.270	3243.944	3003.882	2904.157	2859.987	2917.702	3035.146	
3101.079	3406.420	3551.192	3439.025	3348.086	3151.063	2721.987	2549.112	2459.495	2392.577	2493.832	2971.214	
3134.864	3710.212	3777.288	3941.022	3745.833	3393.535	3127.336	2946.145	2839.727	2892.658	2857.912	3432.848	
3413.927	4510.703	4843.228	4818.258	4608.972	4231.541	4038.900	3931.212	3852.503	3787.077	3824.267	4483.913	
4586.619	4710.135	4839.823	5148.453	5107.249	4706.562	4454.340	4267.124	4170.422	4127.675	4131.720	4850.925	
5408.683	5947.281	6009.392	5743.470	5483.852	5173.896	2034.939	4903.912	4797.994	4755.215	5014.203	5332.167	
5955.624	6200.599	6199.169	6247.733	6067.901	5611.580	5254.525	4799.509	4792.971	4674.926	4759.455	5360.598	
5562.577	5975.881	6176.476	6103.424	5921.574	5555.254	5395.332	5249.972	5144.942	5213.090	5382.392	5695.213	
5758.875	5949.636	6061.383	6165.392	6019.567	5691.597	5478.792	5377.354	5280.783	5239.856	5448.901	5720.618	
5810.615	6169.064	6166.402	6094.596	5987.904	5712.169	5396.972	5271.000	5179.214	5289.397	5315.534	5845.606	
5582.202	5789.775	5960.195	5769.841	5532.232	5202.346	4900.591	4695.319	4609.772	4453.012	4443.527	4680.530	
4823.249	5030.133	4977.293	4880.462	4669.561	4294.579	4139.907	4001.621	3926.563	3974.318	3999.639	4289.148	
5497.532	5322.217	5379.147	5477.572	5348.001	5193.700	4953.082	4795.129	4584.735	4645.598	4815.719	4991.677	
5293.682	5446.094	5493.658	5436.092	5612.279	5298.943	5035.474	4981.949	4777.394	5039.204	5092.389	5590.378	
5842.935	5951.027	6185.444	6376.849	6372.316	6097.000	5947.358	5822.001	5762.220	5739.160	5704.942	5995.565	
4514.163	7004.947	7365.280	7378.947	7129.826	6803.380	6557.733	6313.169	6160.675	6112.434	6159.344	5952.594	
7465.452	7763.943	7776.473	7732.761	7712.019	7454.029	7059.263	6899.448	6790.777	6952.161	7025.060	7409.574	
7333.124	7358.927	8060.553	8075.580	7928.789	7507.842	7291.411	7151.529	7059.123	7100.320	7095.119	7535.916	
9395.617	8733.393	8648.309	8361.471	9153.602	7307.108	7472.845	7252.111	7076.976	6991.317	7151.142	7722.737	
9007.914	8129.393	8215.283	8290.459	9103.383	7950.383	7533.909	7355.034	7227.534	7191.737	7131.104	7336.570	

8. Hesaplanan hacim - Gözlenen hacim farkı

planan hacia ile gozlenen hacia farkı

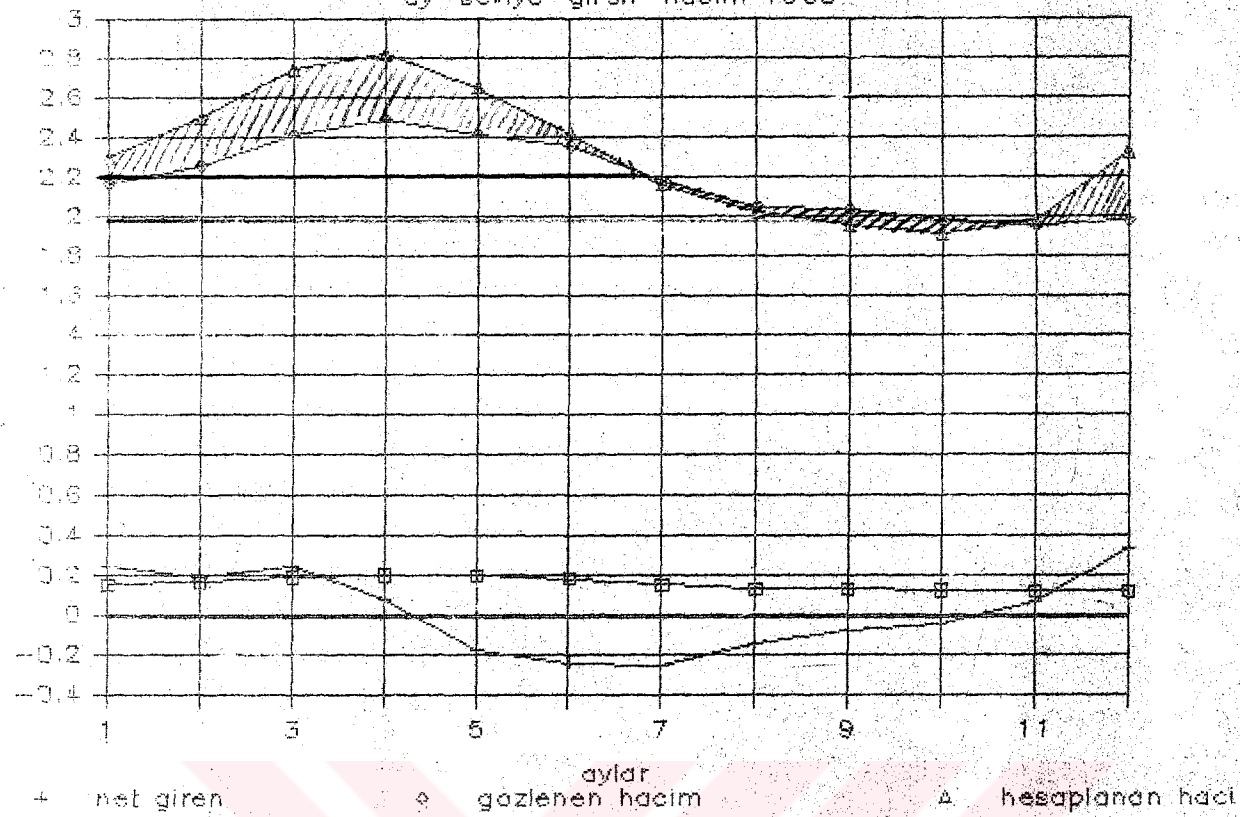
3

9. Gölden meydana gelen kaçak suyu besleniminin % /sn

### **Sinsinden dökümlü**

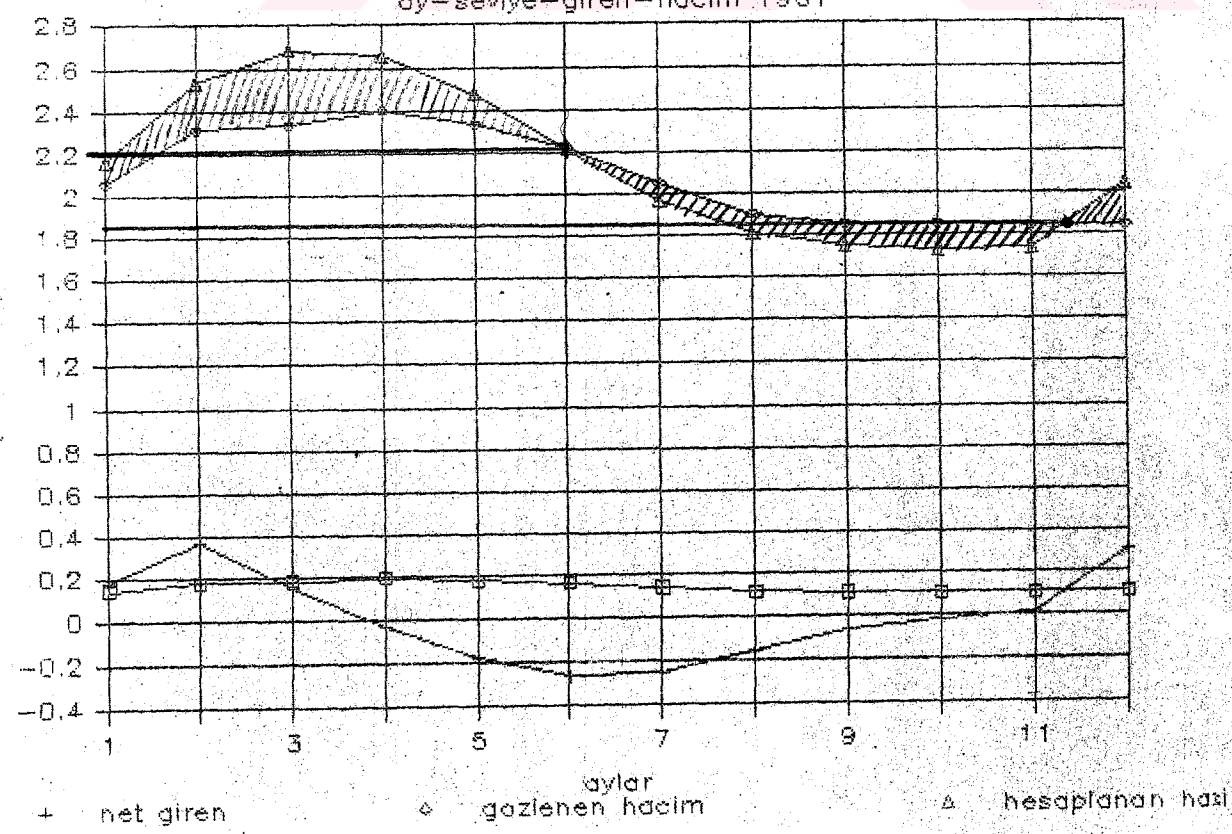
## butce

ay-seviye-giren-hacim 1960

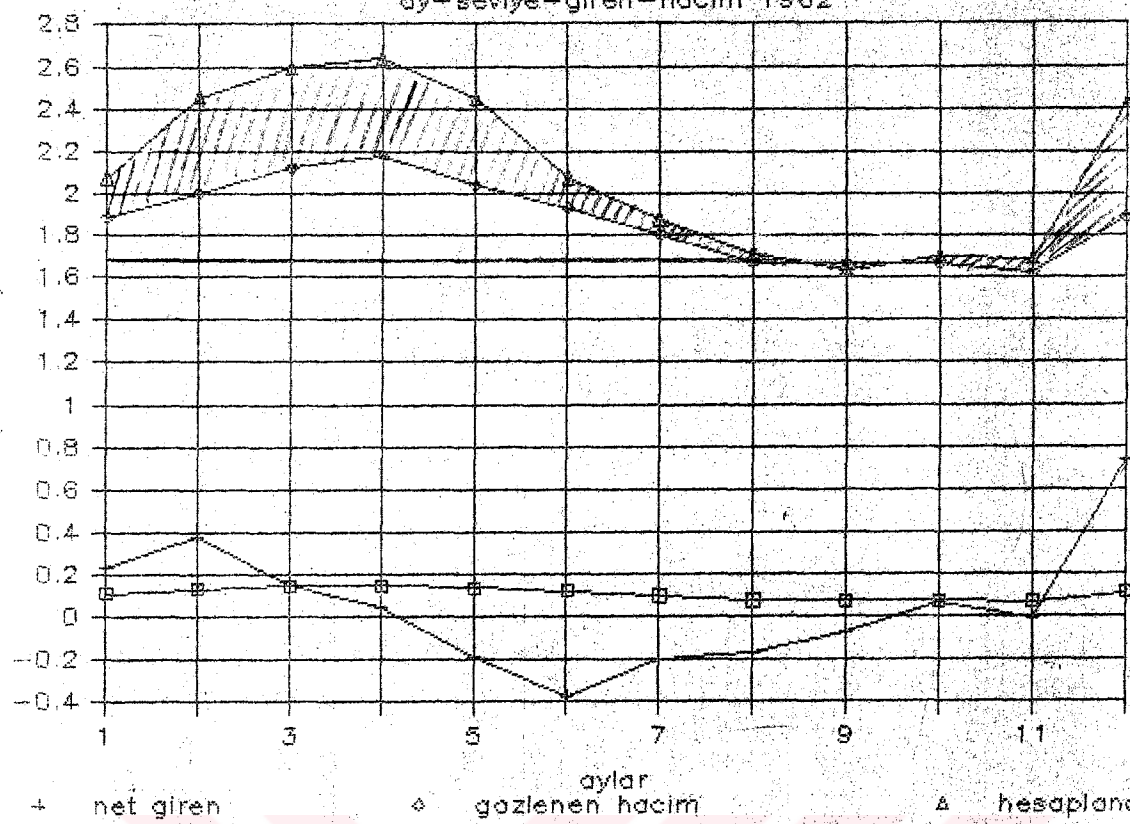


## butce

ay-seviye-giren-hacim 1961

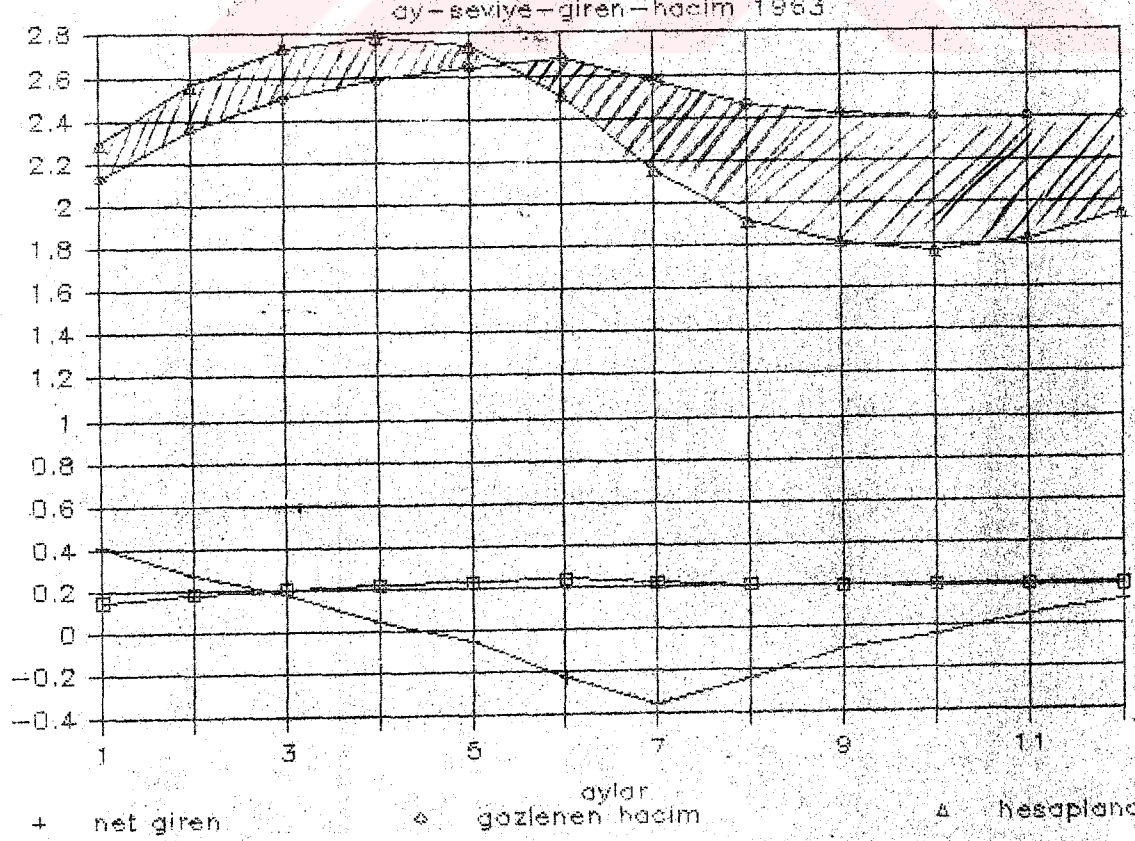


ay - seviye - giren - hacim 1962

seviye - giren - hacim 1962  
(thousands)

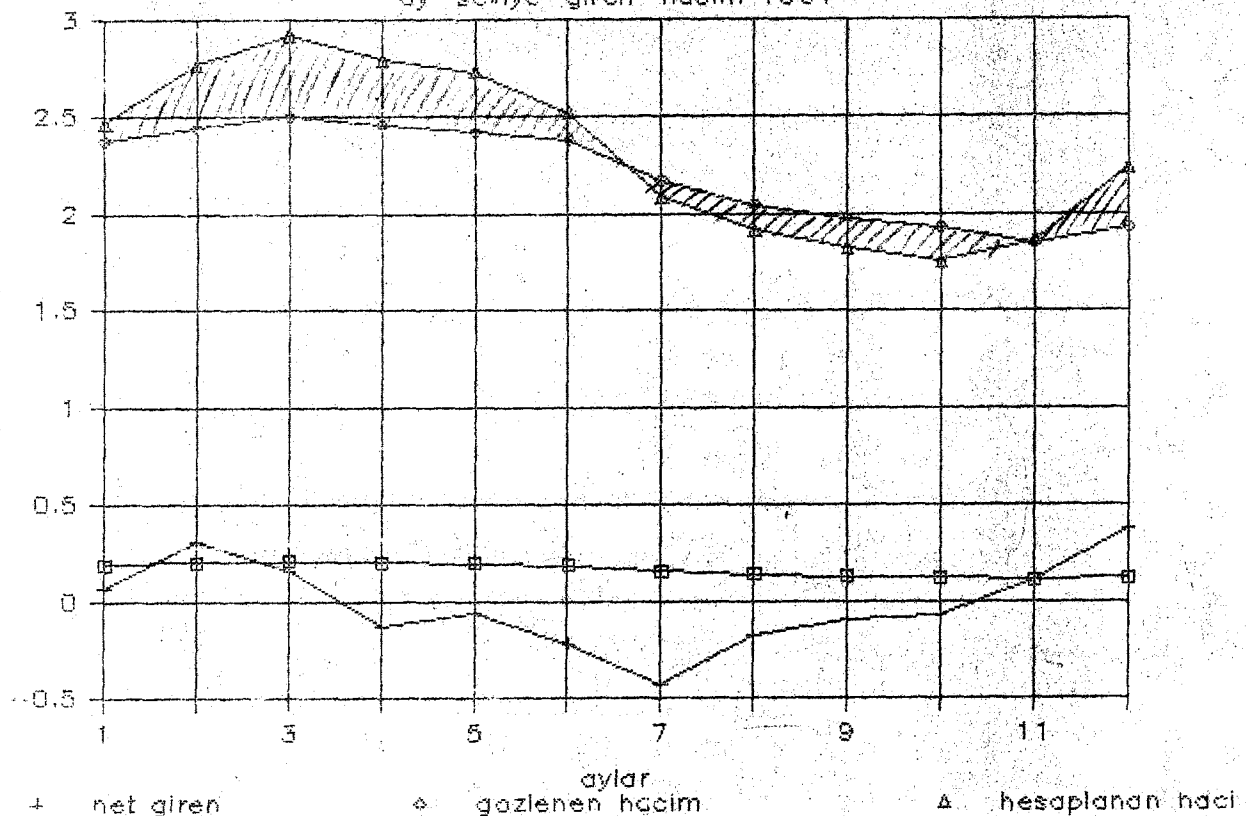
## butce

ay - seviye - giren - hacim 1963

seviye - giren - hacim 1963  
(thousands)

ay - seviye - giren - hacim 1964

seviye - giren - hacim 1964  
(in thousands)



aylar

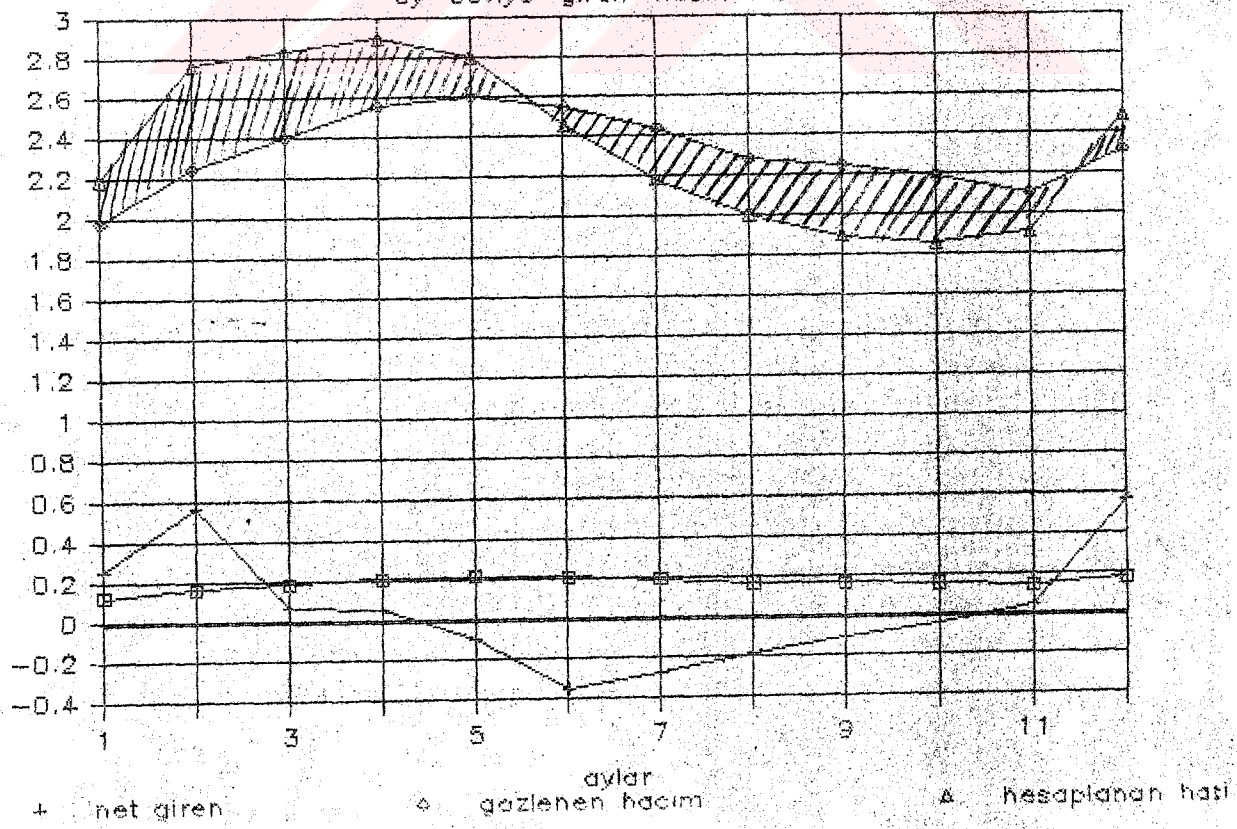
♦ gazlenen hacim

▲ hesaplanan hacim

butce

ay - seviye - giren - hacim 1965

seviye - giren - hacim 1965  
(in thousands)

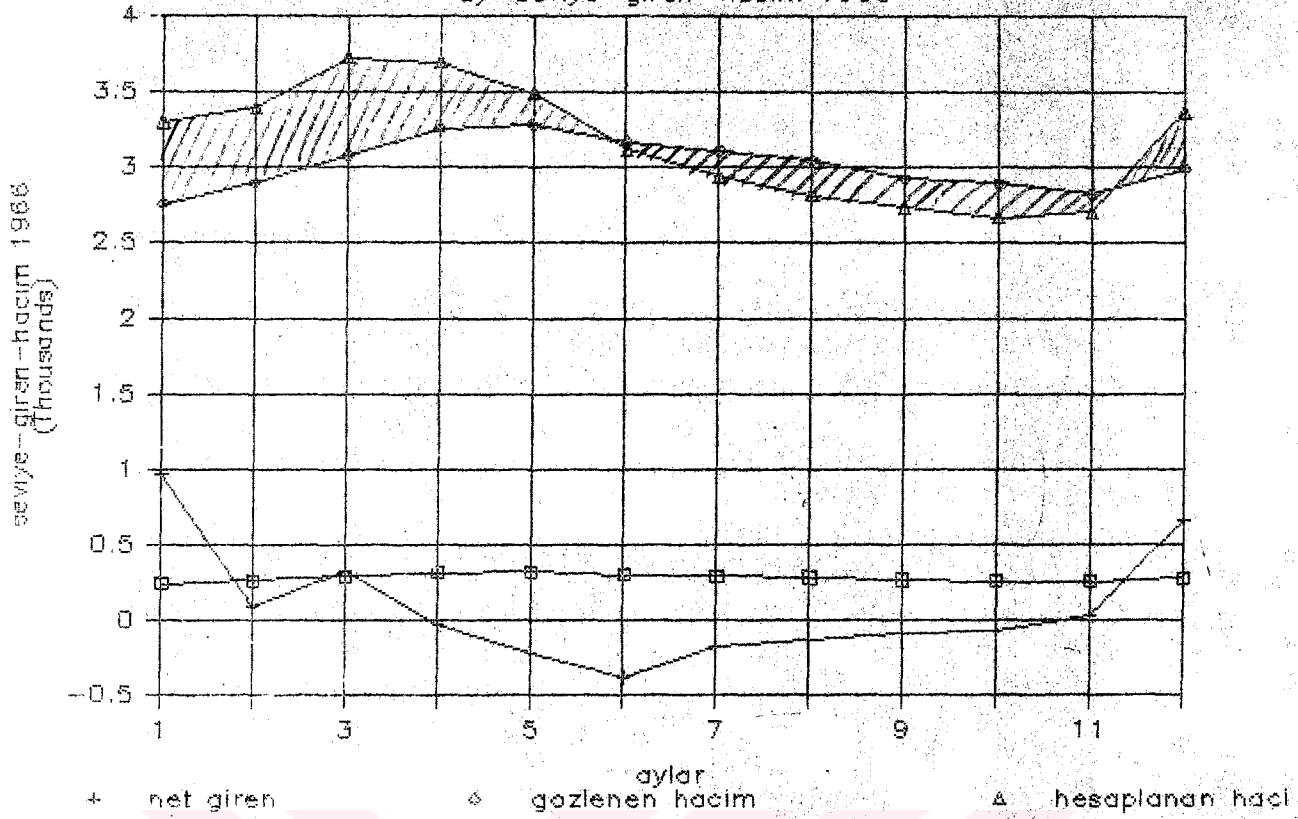


aylar

♦ gazlenen hacim

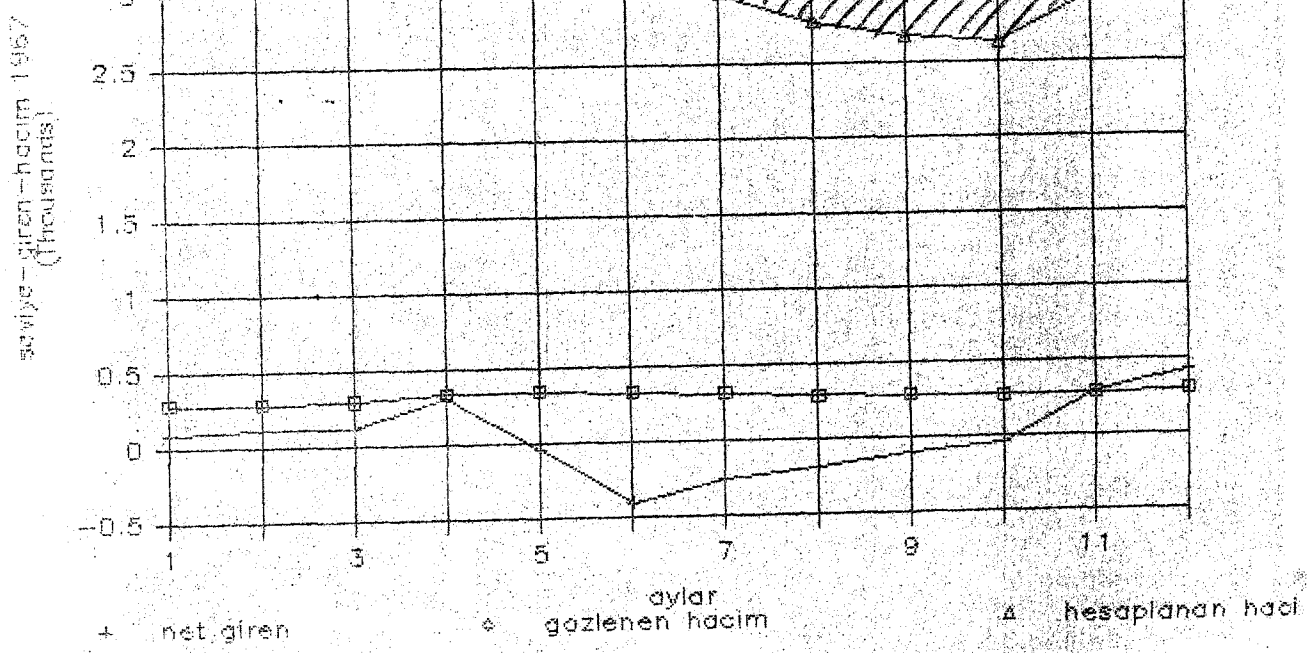
▲ hesaplanan hacim

butce  
ay - seviye - giren - hacim 1966



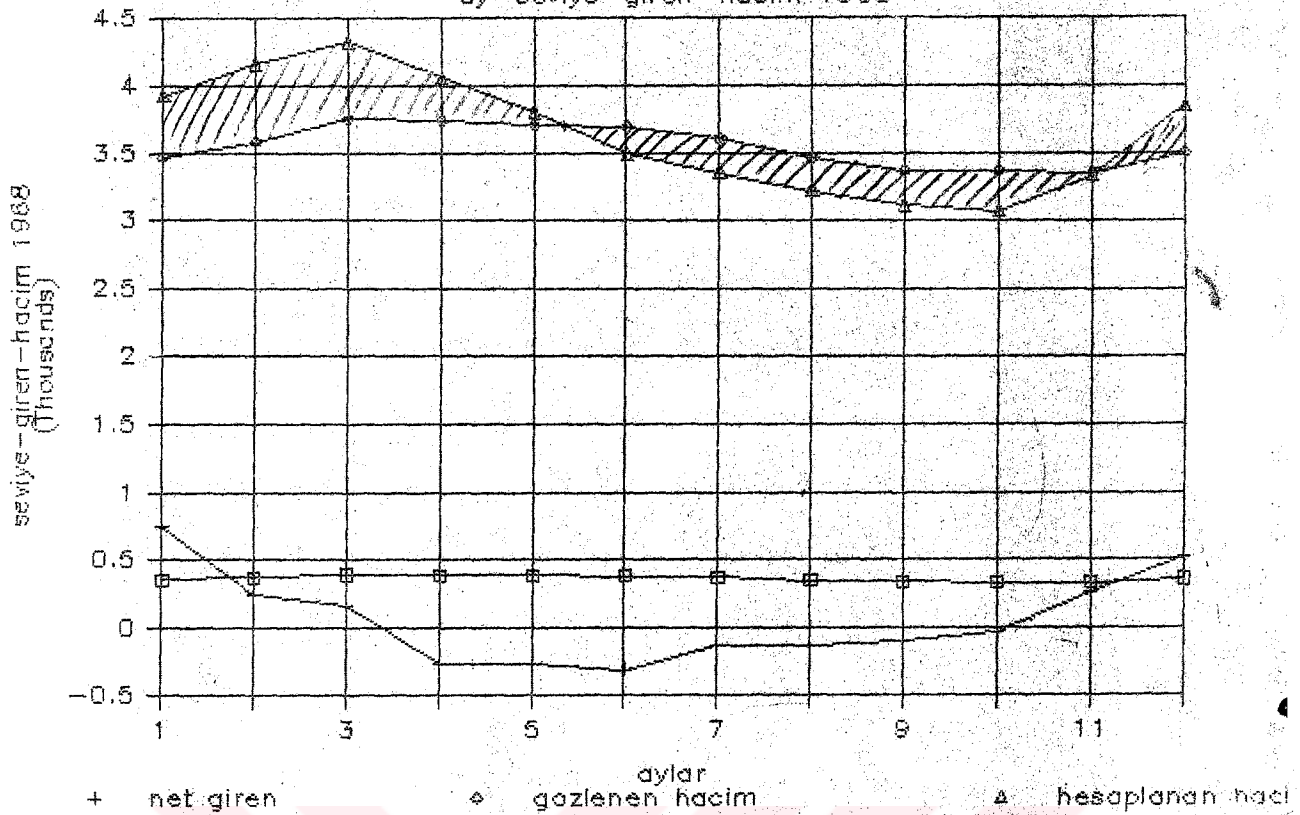
butce

ay - seviye - giren - hacim 1967



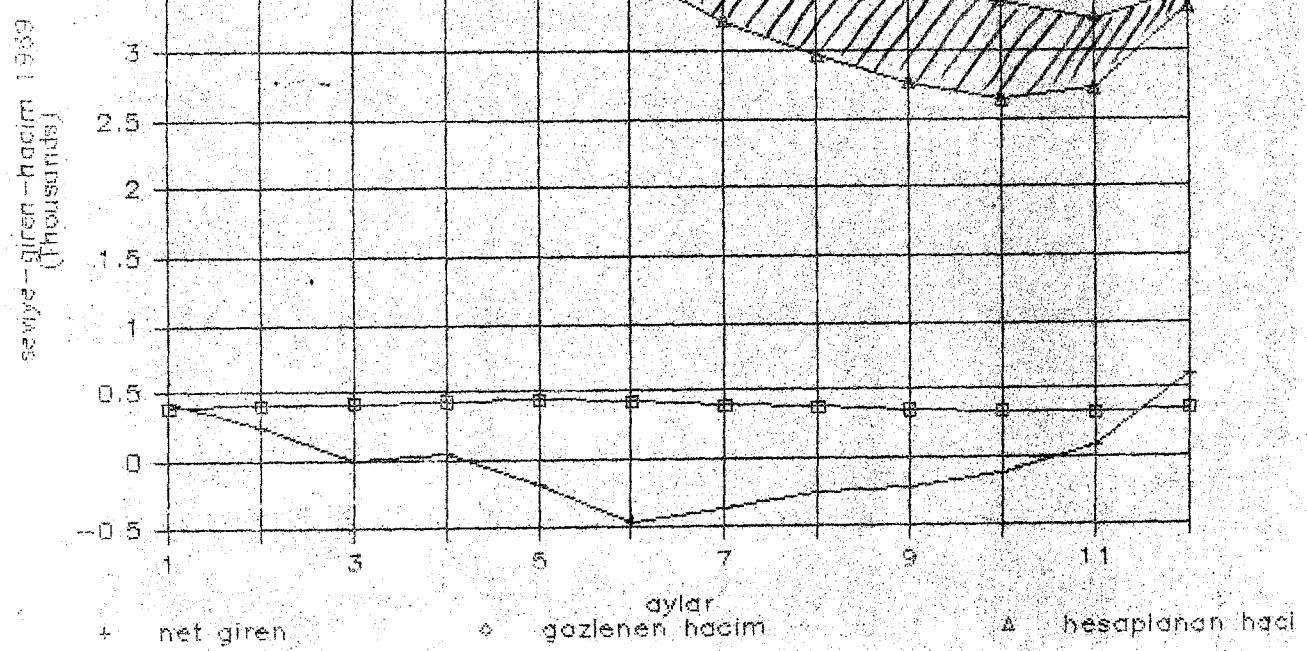
## butce

ay - seviye - giren - hacim 1968



## butce

ay - seviye - giren - hacim 1969

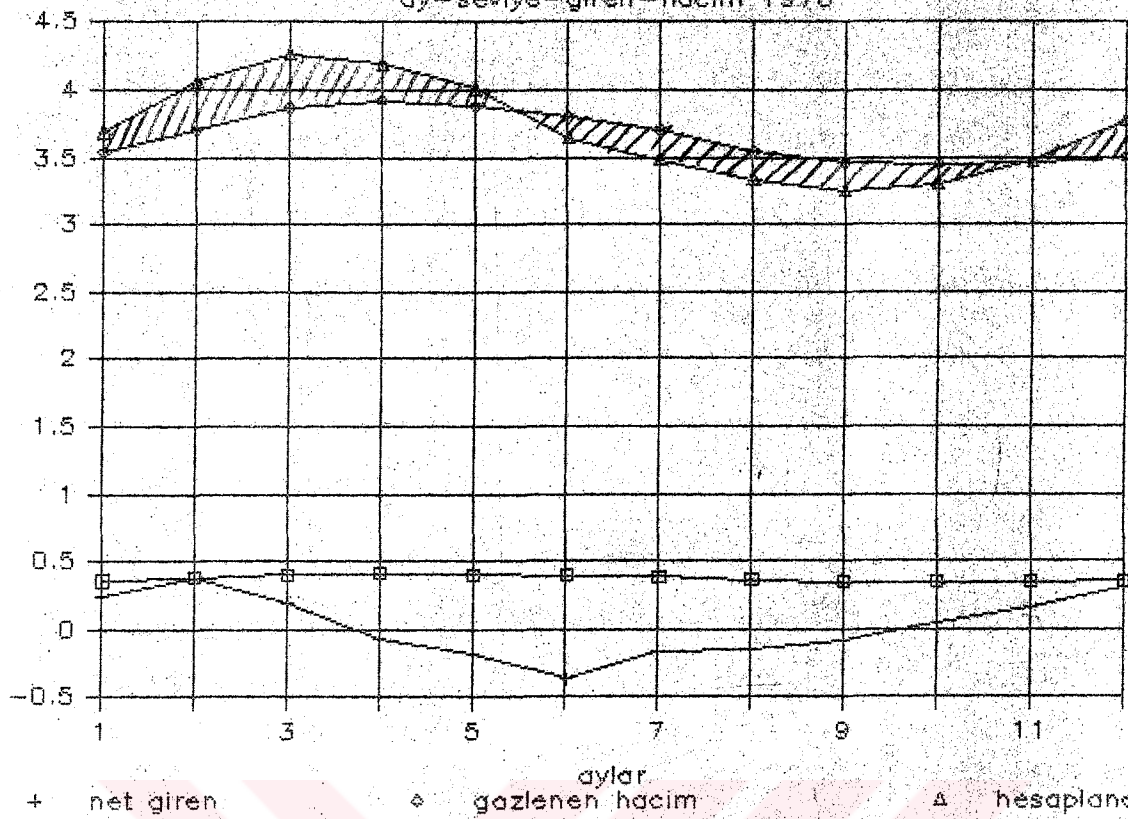


# butce

132

ay - seviye - giren - hacim 1970

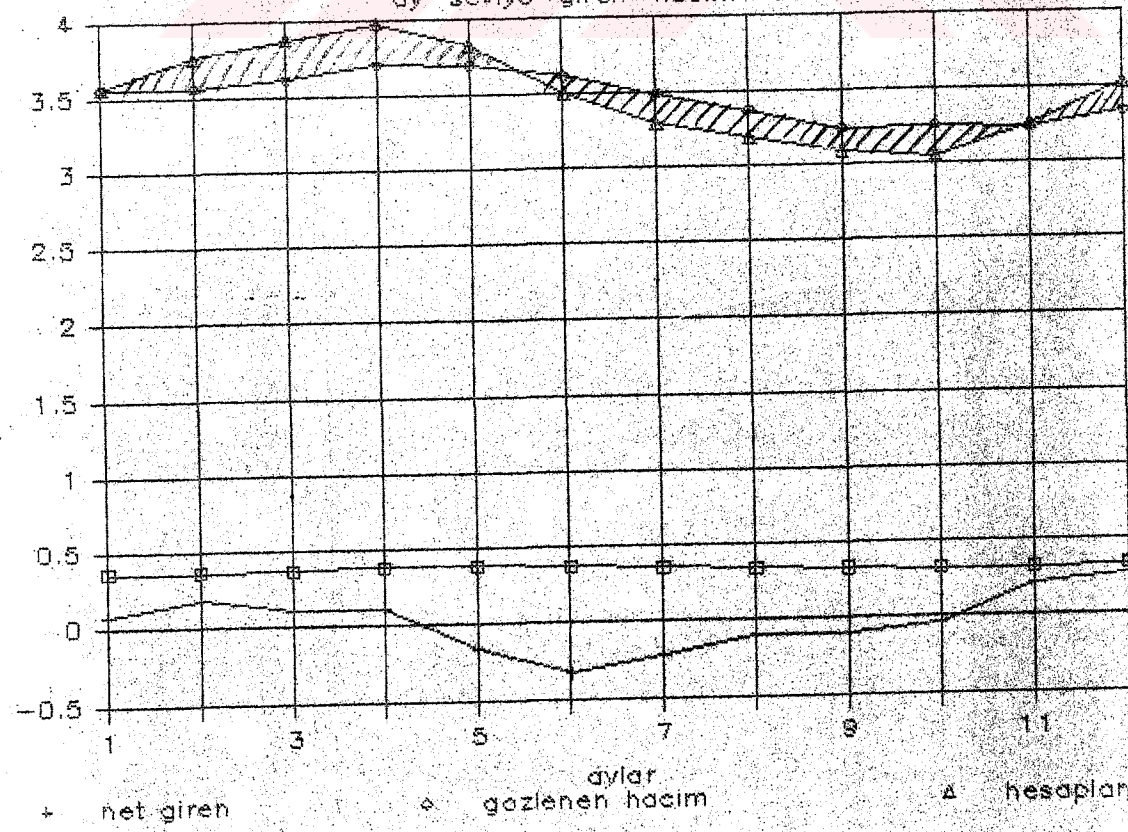
seviye - giren - hacim 1970  
(thousands)



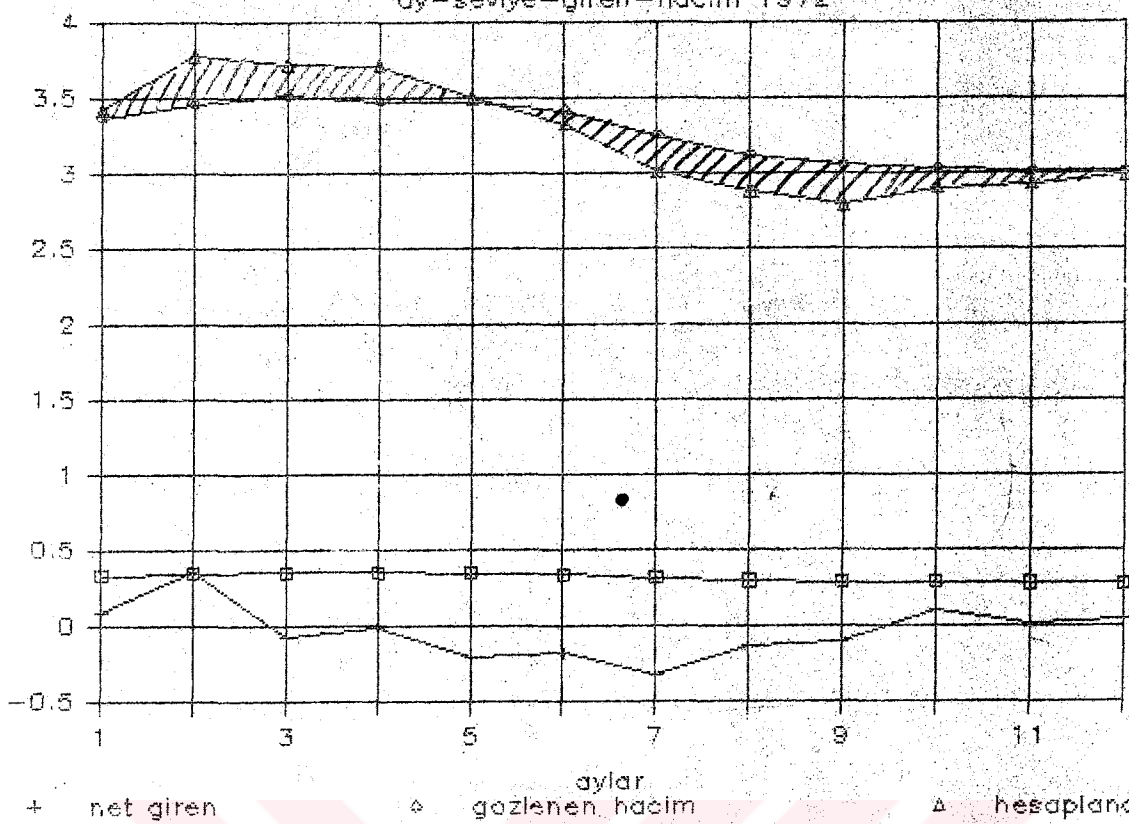
# butce

ay - seviye - giren - hacim 1971

seviye - giren - hacim 1971  
(thousands)

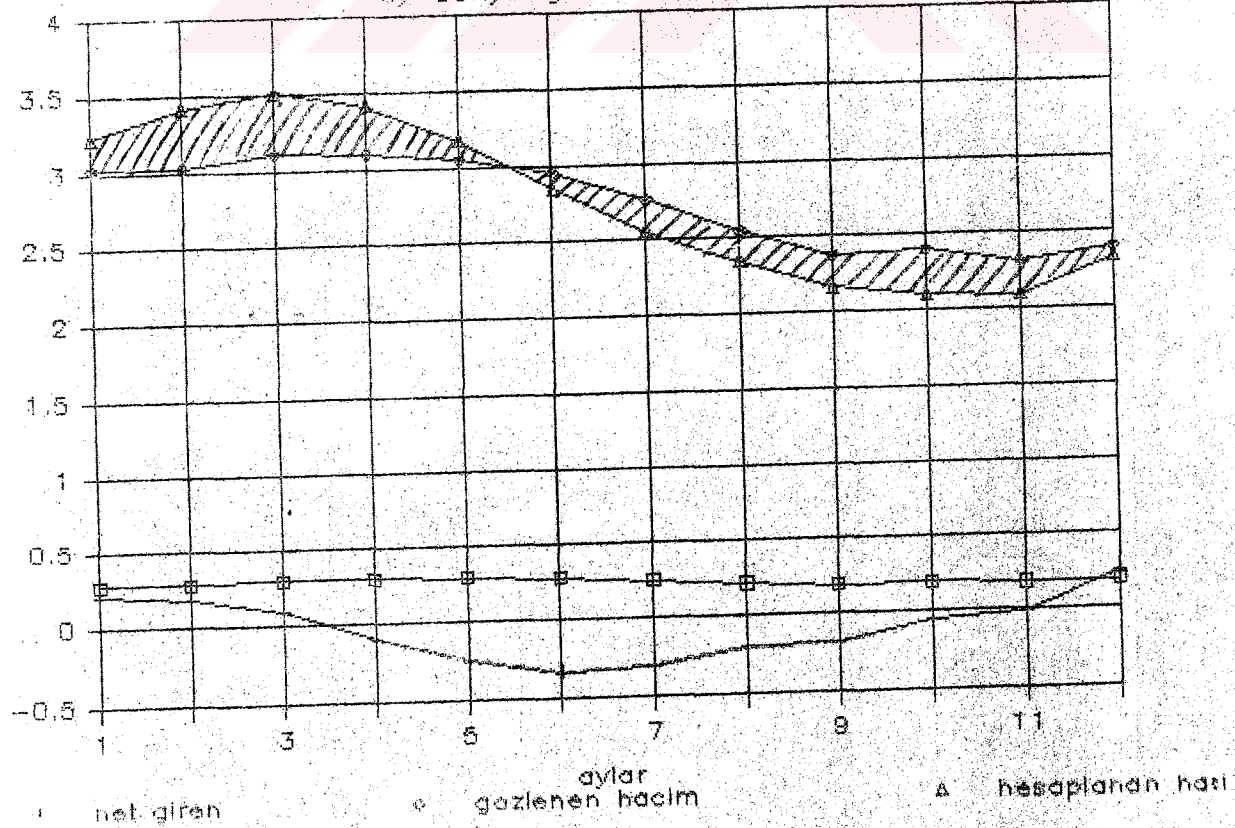


ay-seviye-giren-hacim 1972

seviye-Siran-hacim 1972  
(thousands)

## butce

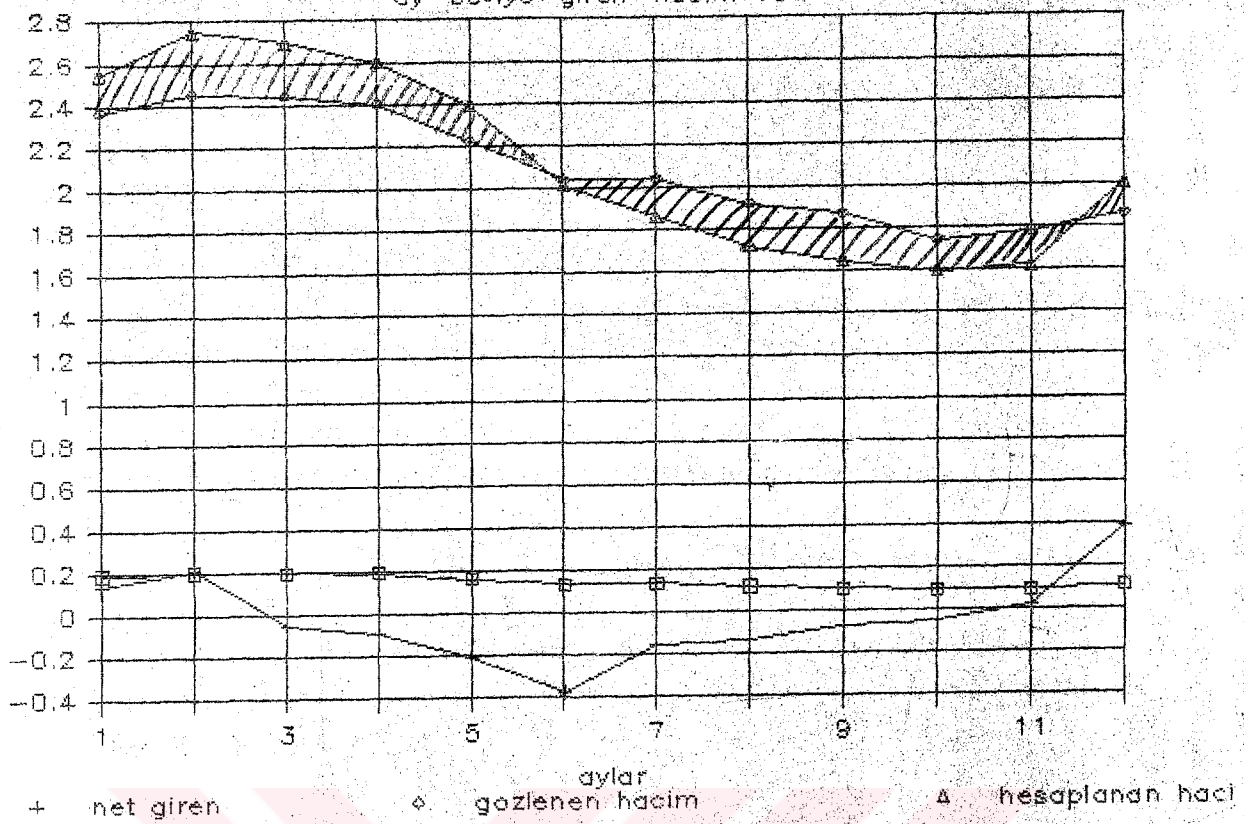
ay-seviye-giren-hacim 1973

seviye-Siran-hacim 1973  
(thousands)

## butce

ay-seviye-giren-hacim 1974

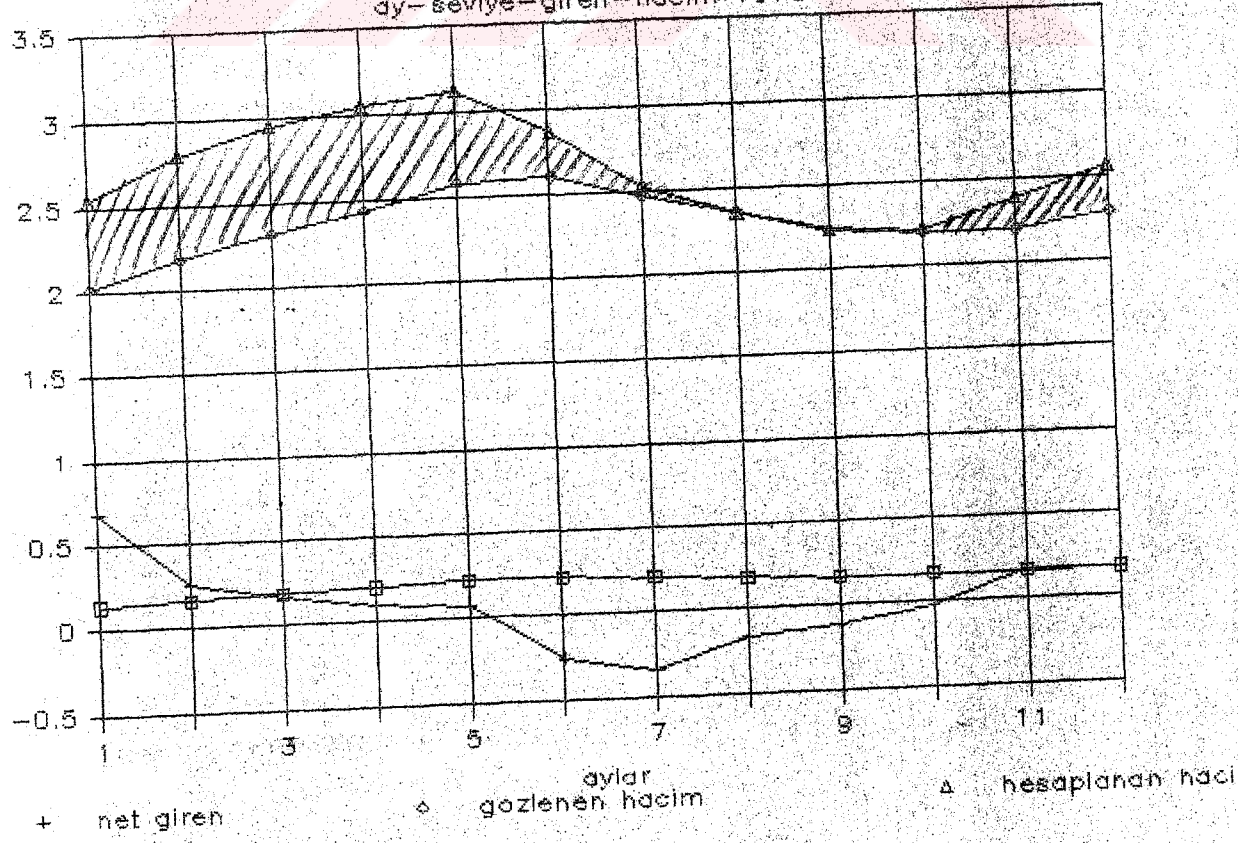
seyive-giren-hacim 1974



## butce

ay-seviye-giren-hacim 1975

seyive-giren-hacim 1975

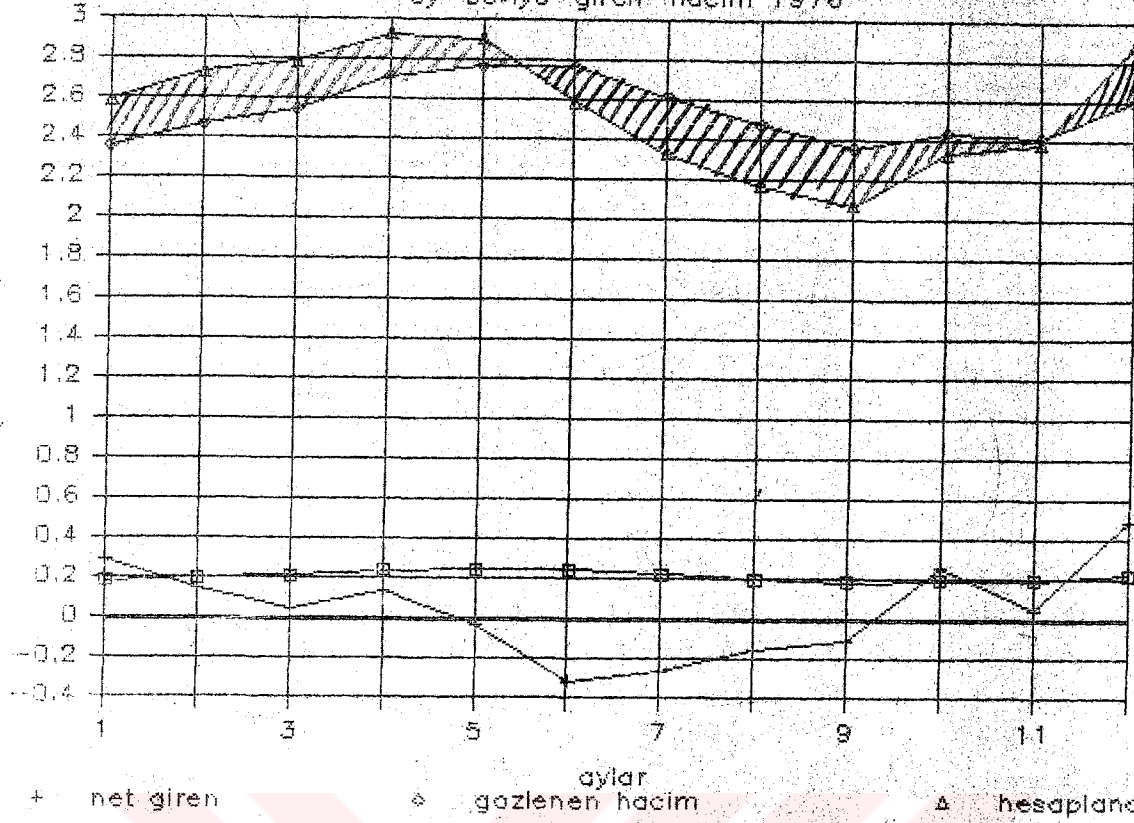


# butce

135

ay-seviye-giren-hacim 1976

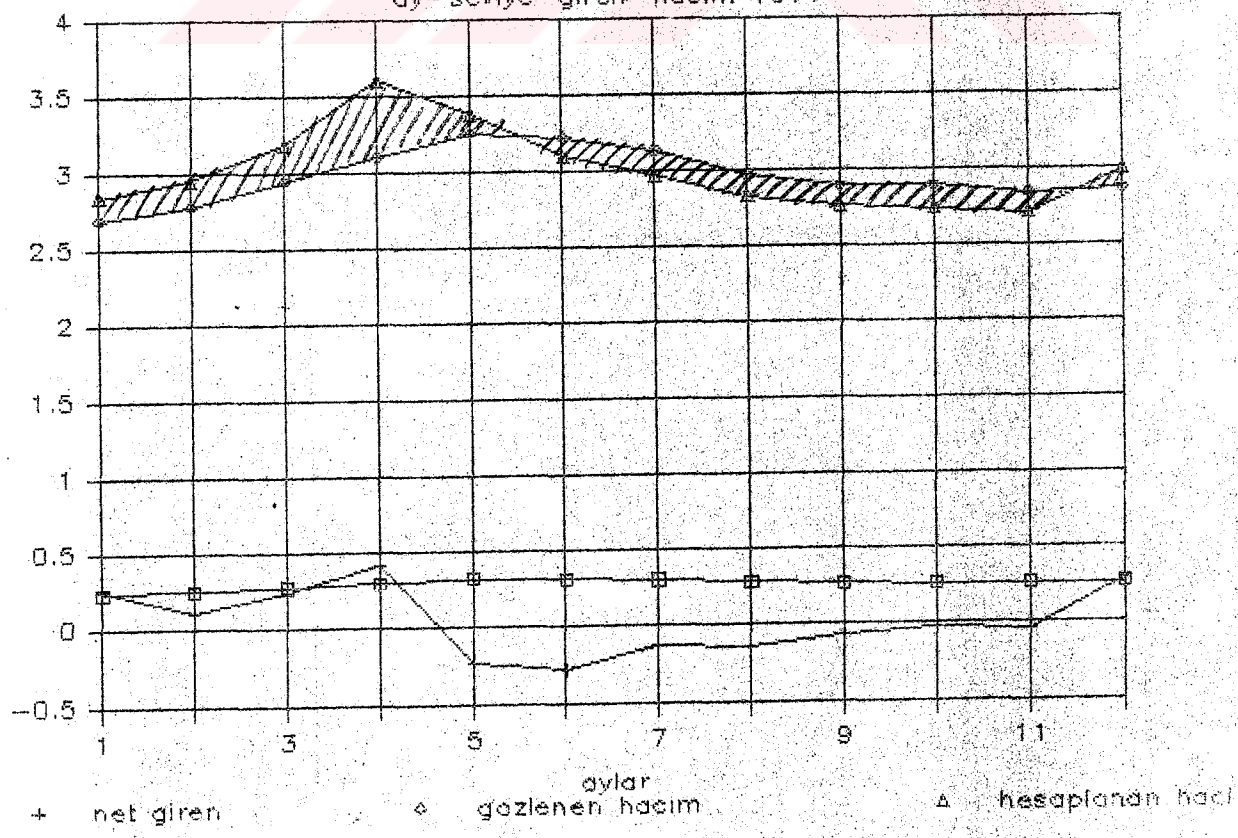
seviye-giren-hacim (thousands)



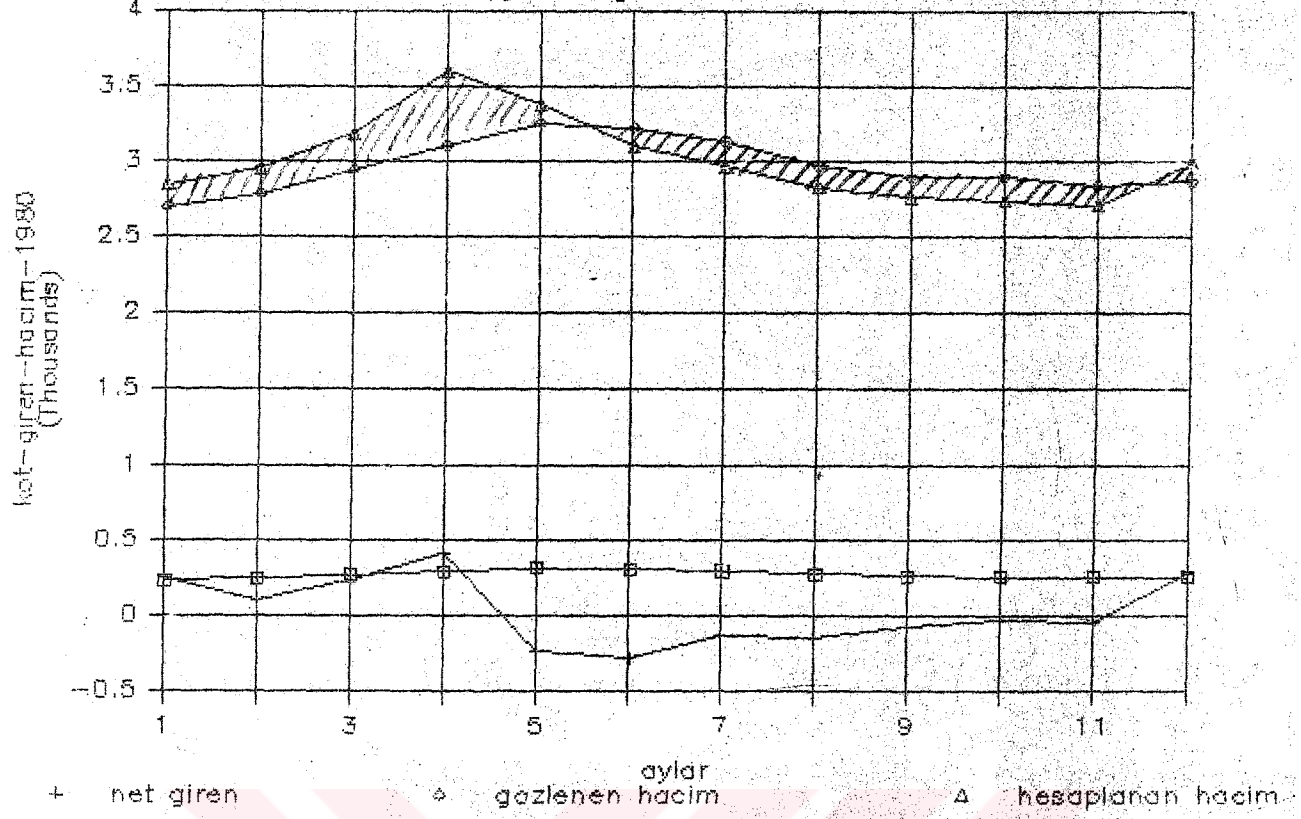
# butce

ay-seviye-giren-hacim 1977

seviye-giren-hacim (thousands)



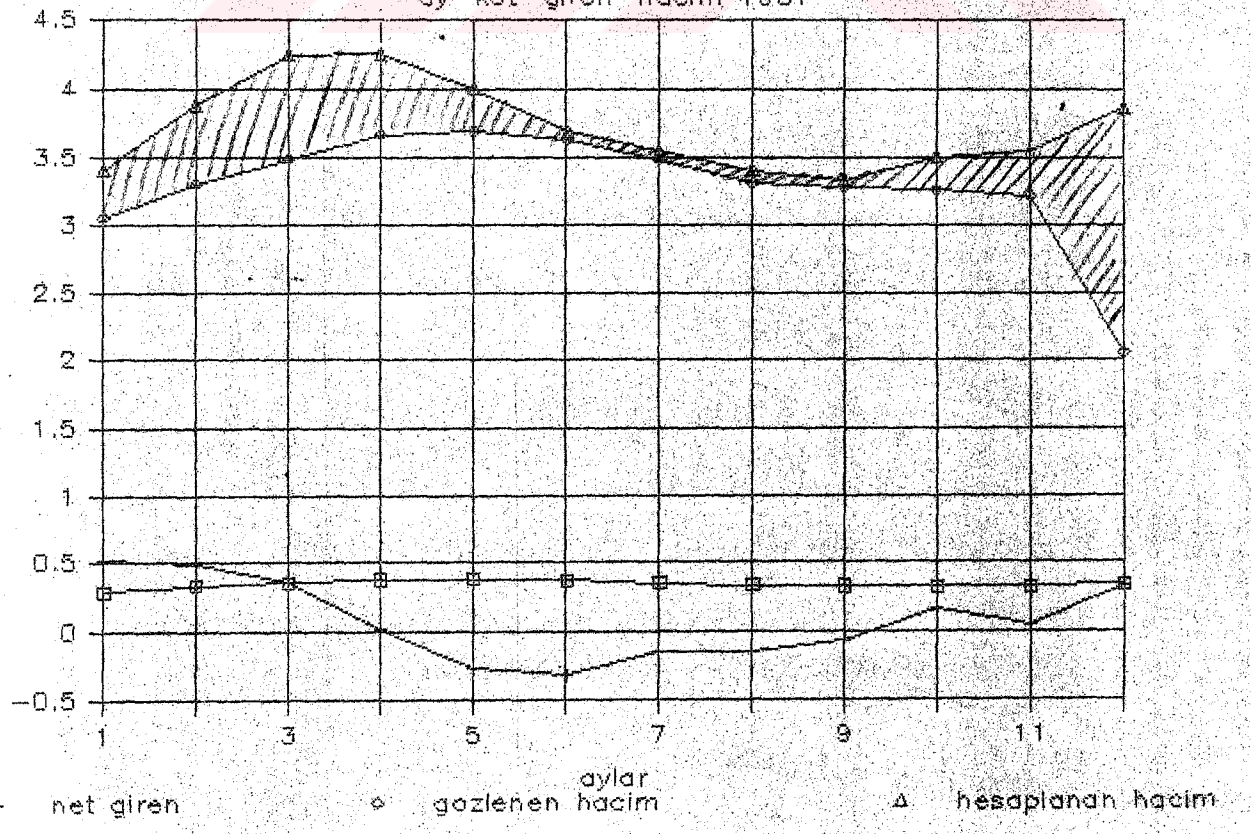
ay-kot-giren-hacim 1980

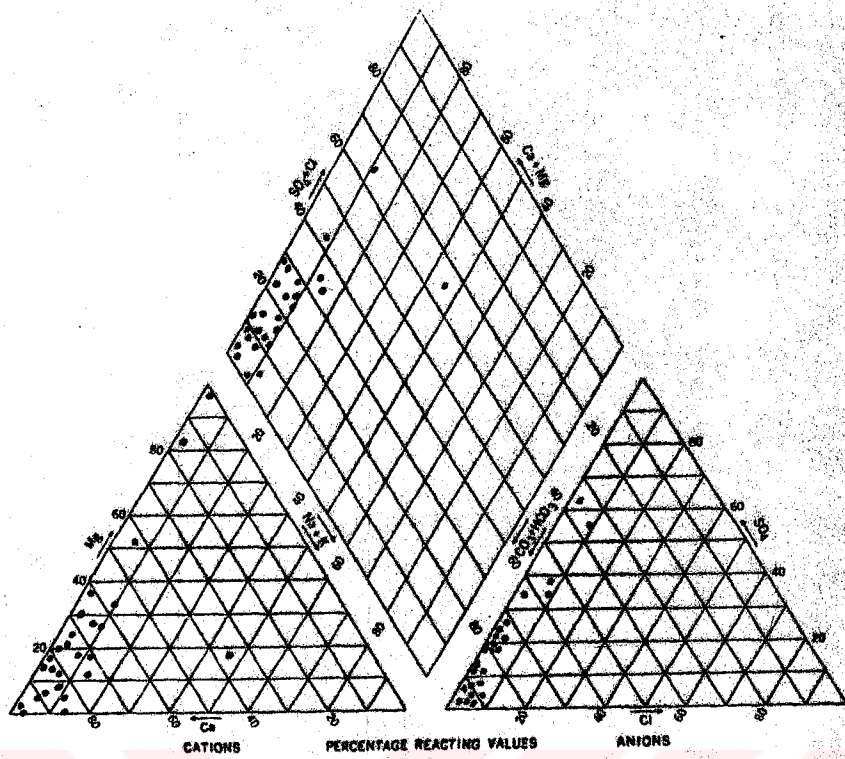


## butce

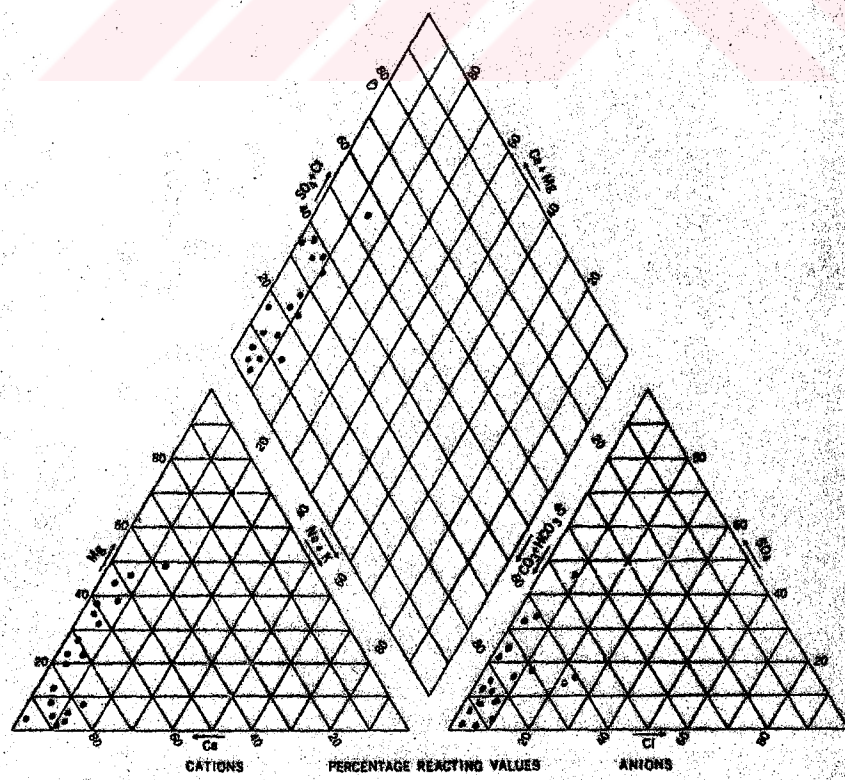
ay-kot-giren-hacim 1981

kot-giren-hacim (Thousands)

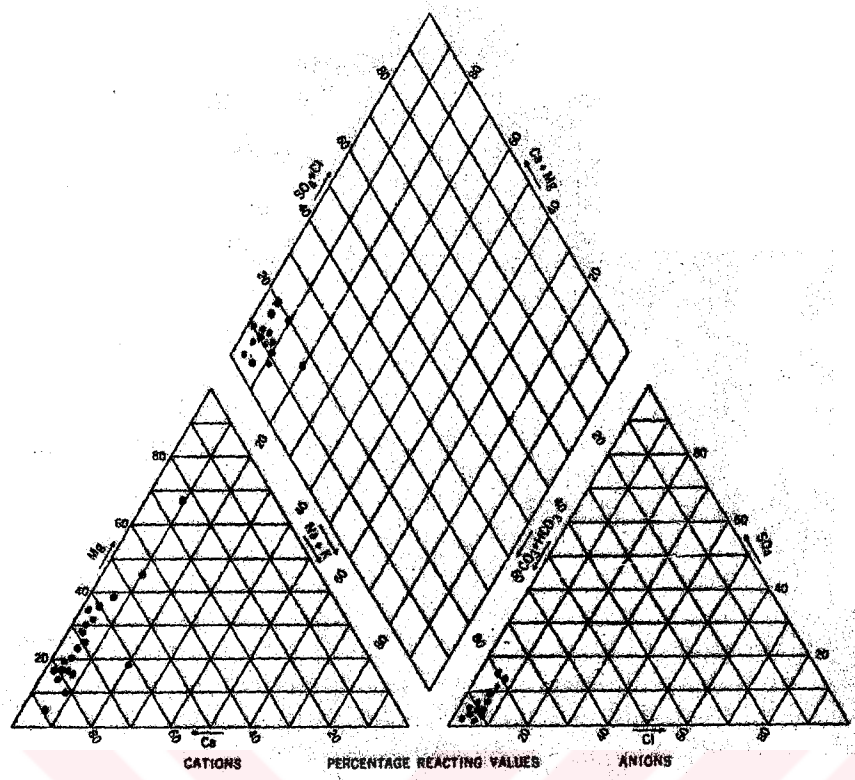




1-26



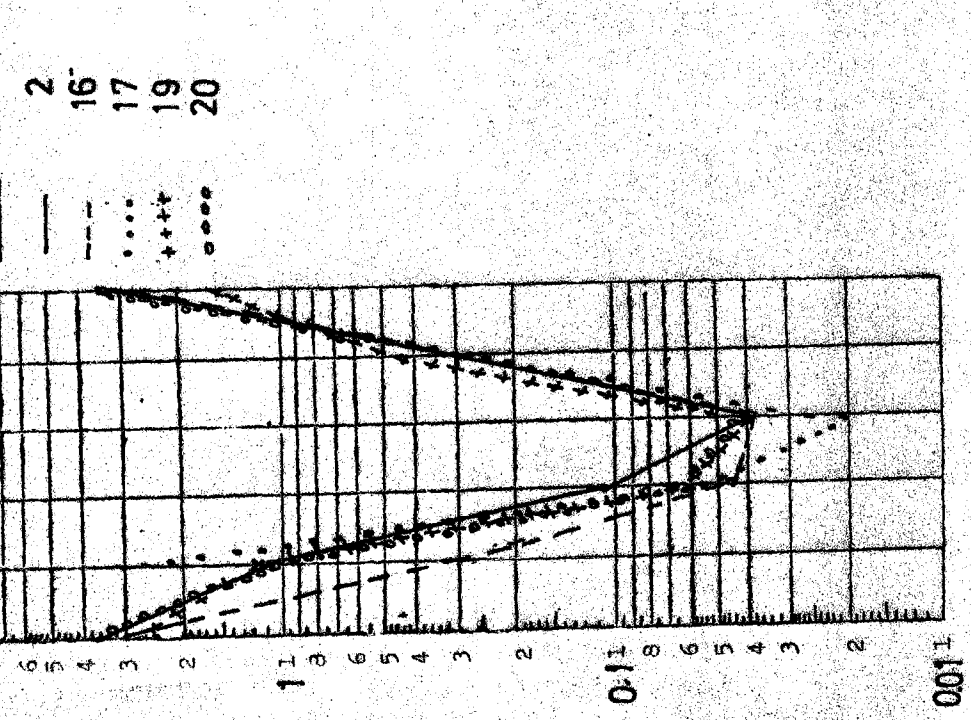
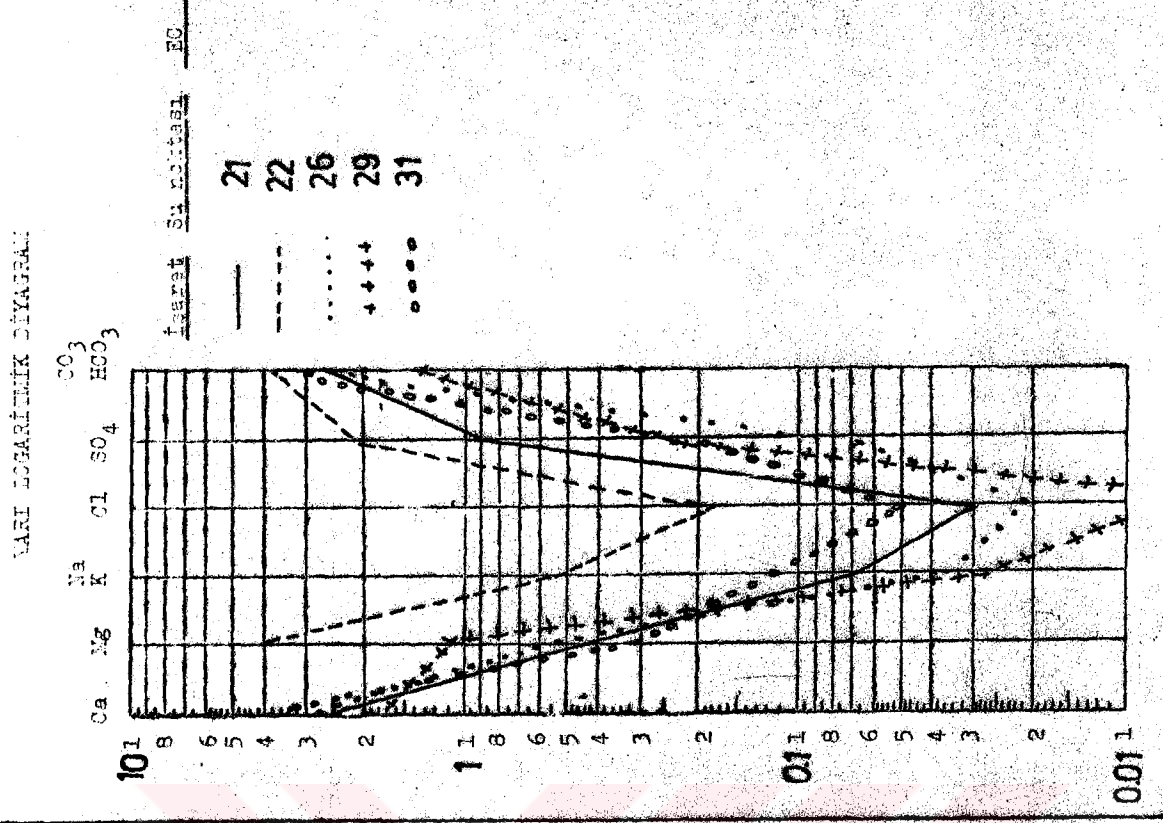
26-47



47-70

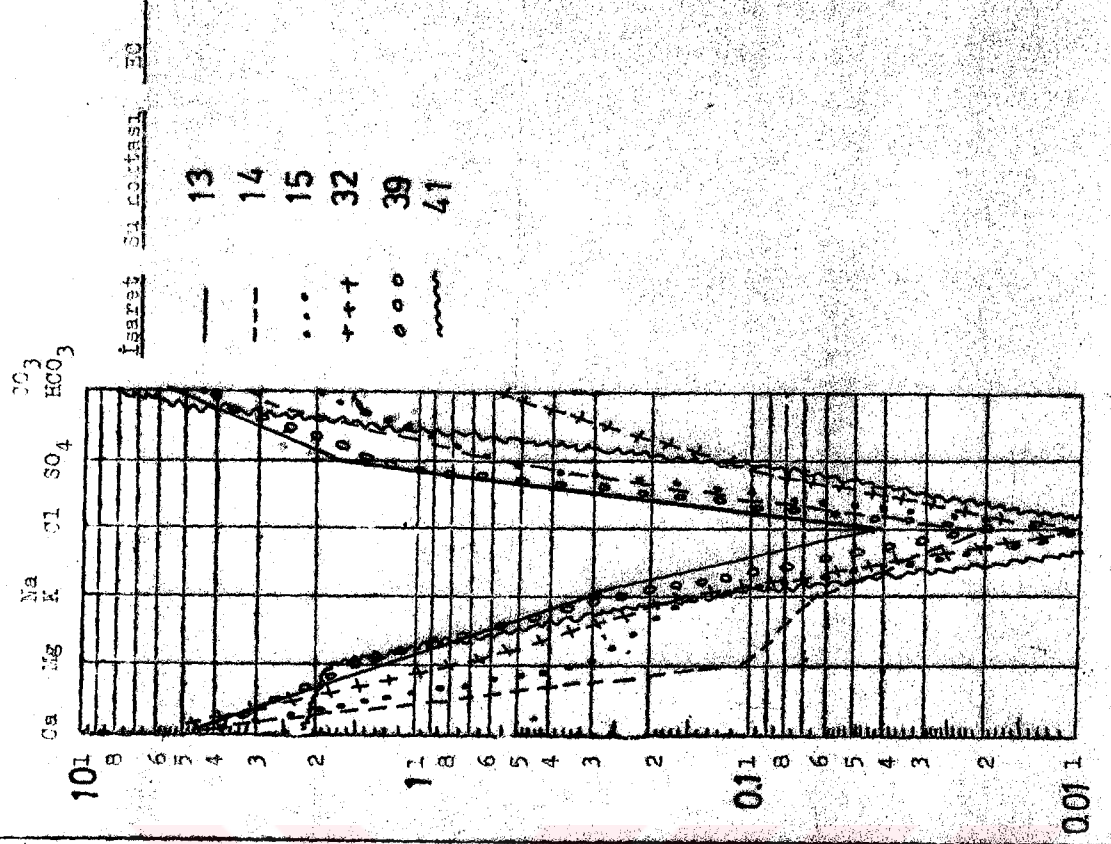
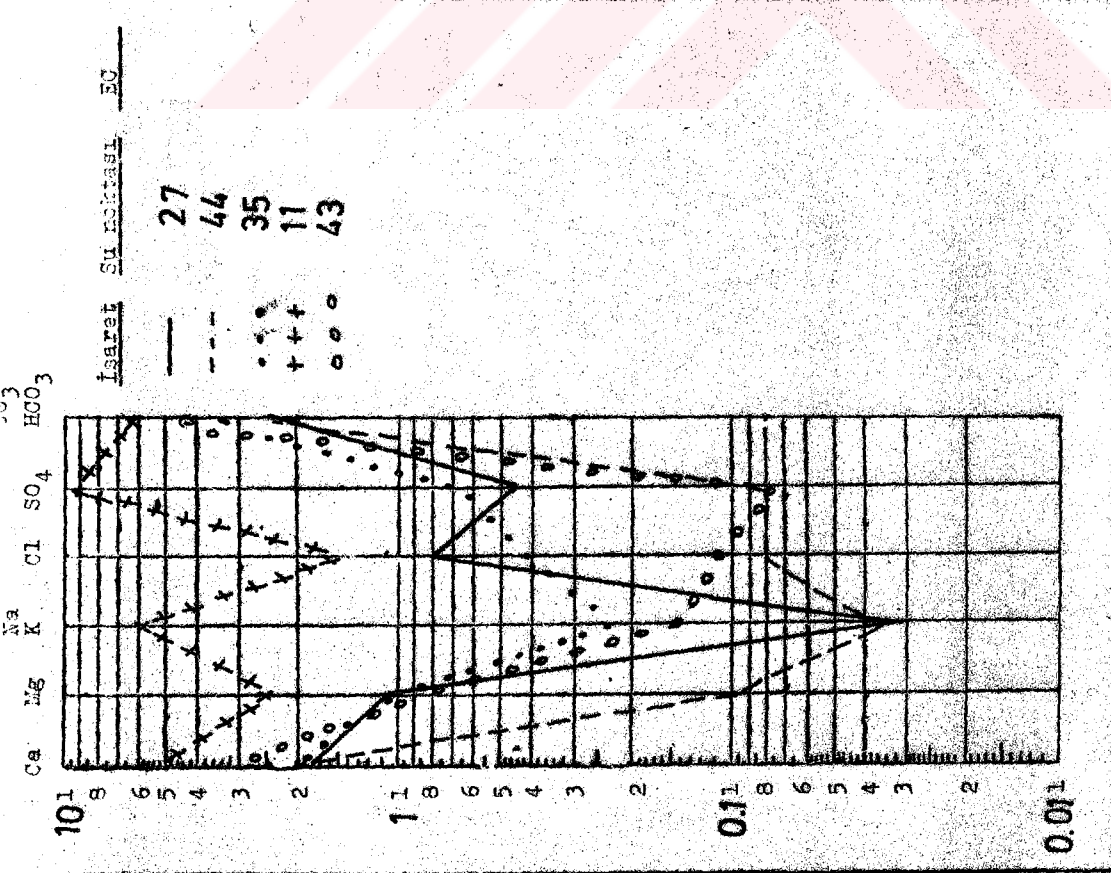
MARI LOGARİTMİK DİYAGRAM

MARI LOGARİTMİK DİYAGRAM

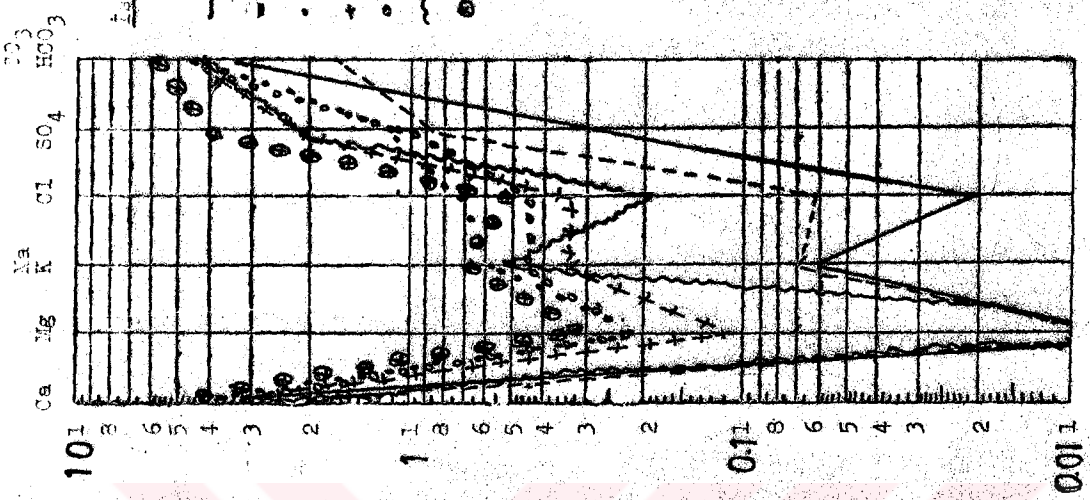


YARI LOGARİTMİK DİYAGRAM

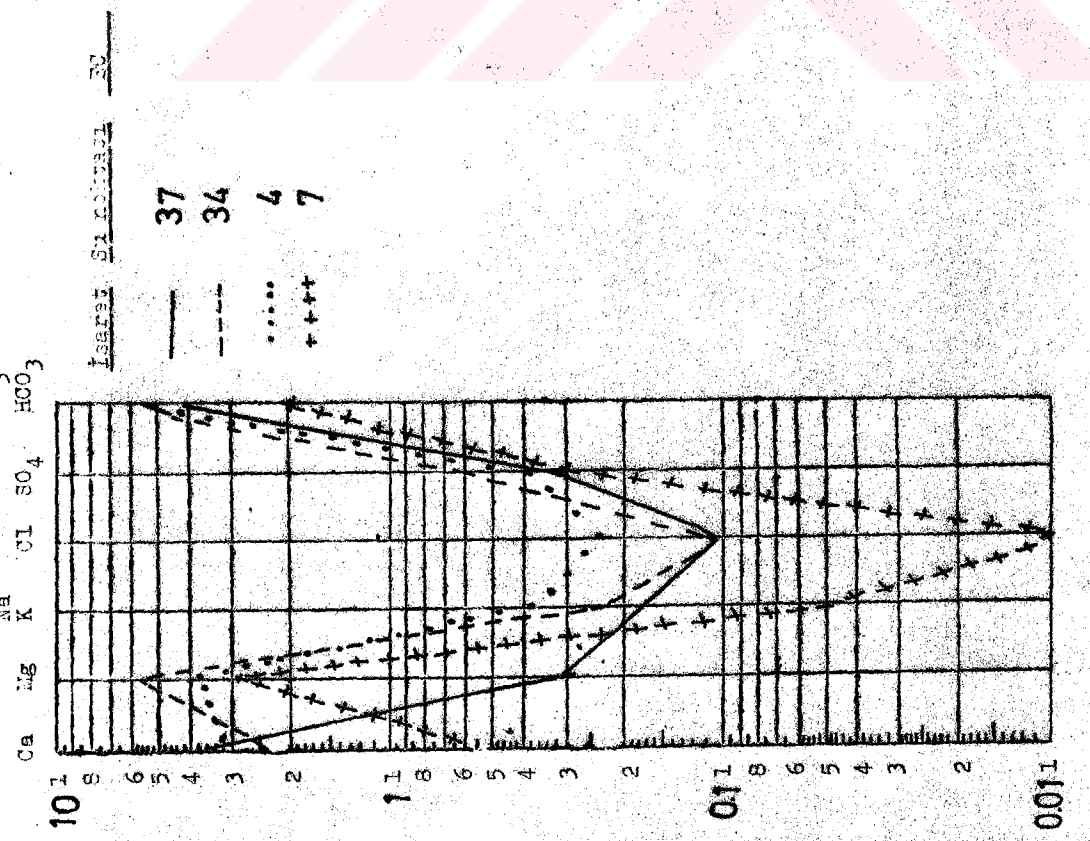
YARI LOGARİTMİK DİYAGRAM



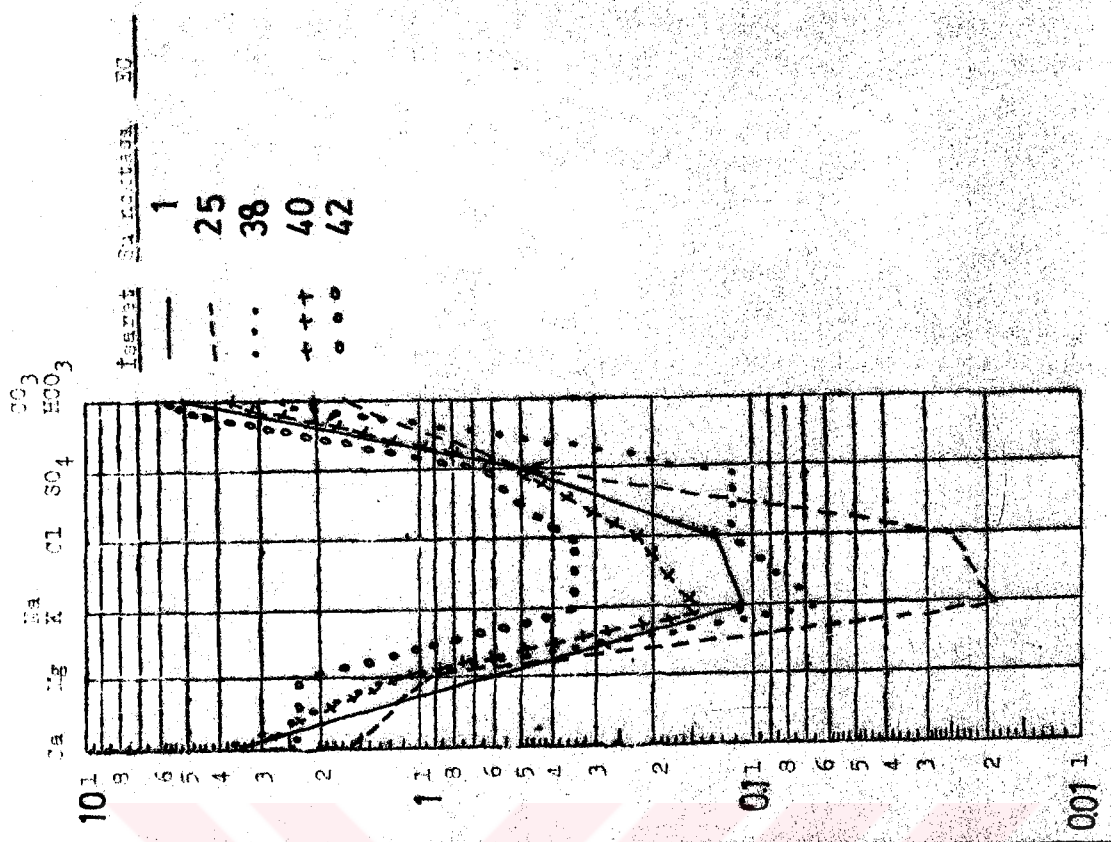
## VARI LOGARİTMİK DİYAGRAM



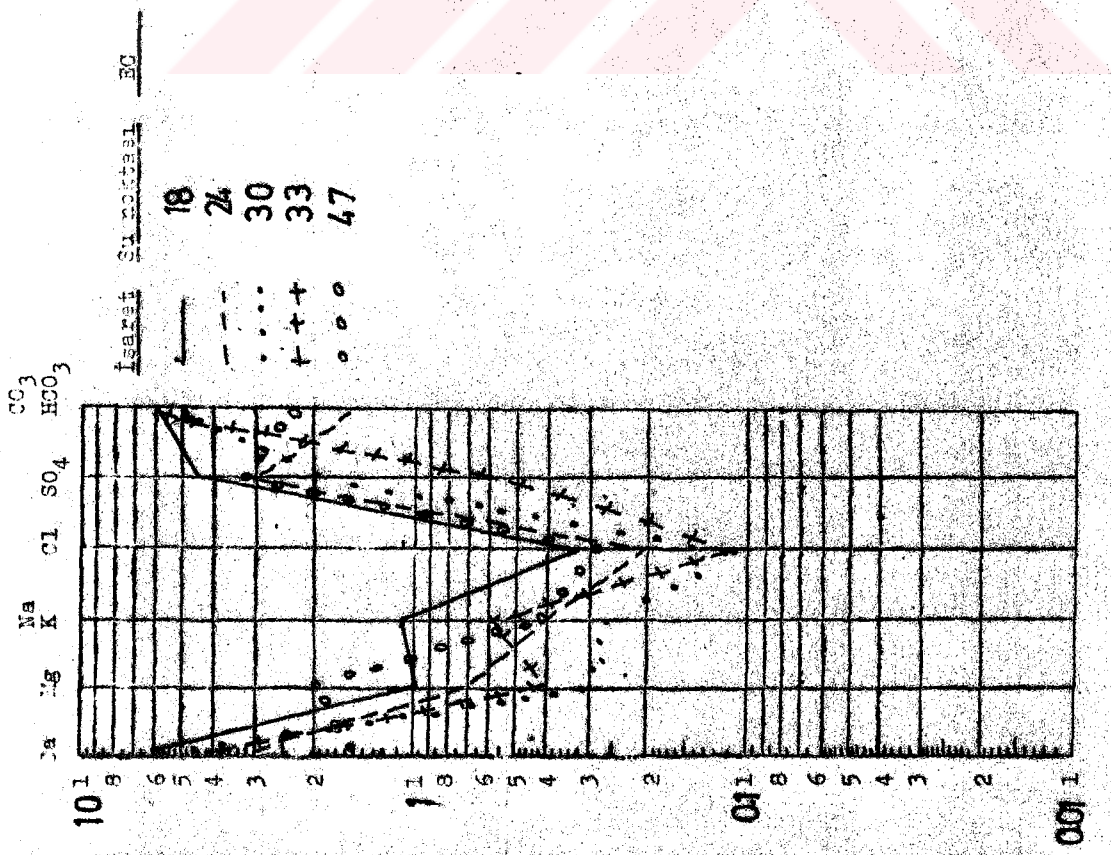
## VARI LOGARİTMİK DİYAGRAM



## VARI LOGARITMIK DIVAGASI



## VARI LOGARITMIK DIVAGASI



VARI LOGARITMIK DIVAGASI

